



ความเร็วต่ำสุดในการเกิดฟลูอิດไಡแซนด์สำหรับฟลูอิດไಡซ์เบดแบบสั้น

**Minimum Fluidization Velocity for Vibrated Fluidized Bed**

วันวิสาข์ กาญจนารณ์

**Wanwisa Kanjanaporn**

วิทยานิพนธ์นี้เป็นส่วนหนึ่งของการศึกษาตามหลักสูตรปริญญา  
วิศวกรรมศาสตรมหาบัณฑิต สาขาวิชาวิศวกรรมเครื่องกล<sup>ร</sup>  
มหาวิทยาลัยสงขลานครินทร์

**A Thesis Submitted in Partial Fulfillment of the Requirements for the Degree of**  
**Master of Engineering in Mechanical Engineering**  
**Prince of Songkla University**

2553

ลิขสิทธิ์ของมหาวิทยาลัยสงขลานครินทร์ (1)

ชื่อวิทยานิพนธ์ ความเร็วต่ำสุดของการเกิดฟลูอิดไಡเซซันสำหรับฟลูอิดไಡซ์เบดแบบสั้น  
ผู้เขียน นางสาววันวิสาข์ กาญจนากรณ์  
สาขาวิชา วิศวกรรมเครื่องกล

---

อาจารย์ที่ปรึกษาวิทยานิพนธ์หลัก

.....  
(ดร. กิตตินันท์ มงคลธรรม)

คณะกรรมการสอบ

.....  
.....  
(ดร. ฐานันดร์ศักดิ์ เทพญา)

อาจารย์ที่ปรึกษาวิทยานิพนธ์ร่วม

.....  
(ผู้ช่วยศาสตราจารย์ ดร. พฤทธิกร สมิต ไมตรี)

.....  
.....  
(ดร. กิตตินันท์ มงคลธรรม)

.....  
.....  
(ดร. นันทพันธ์ นภัทรานันท์)

.....  
.....  
(ผู้ช่วยศาสตราจารย์ ดร. พฤทธิกร สมิต ไมตรี)

.....  
.....  
(รองศาสตราจารย์ ดร. นคร ทิพยาวงศ์)

บันทึกวิทยาลัย มหาวิทยาลัยสงขลานครินทร์ อนุมัติให้นับวิทยานิพนธ์ฉบับนี้  
เป็นส่วนหนึ่งของการศึกษา ตามหลักสูตรปริญญาวิศวกรรมศาสตรบัณฑิต สาขาวิชา  
วิศวกรรมเครื่องกล

.....  
(รองศาสตราจารย์ ดร. เกริกชัย ทองหนู)

คณบดีบันทึกวิทยาลัย

ชื่อวิทยานิพนธ์	ความเร็วต่ำสุดของการเกิดฟลูอิด ไดเซชันสำหรับฟลูอิด ไดซ์เบดแบบสั้น
ผู้เขียน	นางสาววันวิสาข์ กาญจนากรรณ*
สาขาวิชา	วิศวกรรมเครื่องกล
ปีการศึกษา	2553

### บทคัดย่อ

งานวิจัยนี้มีวัตถุประสงค์เพื่อพัฒนาแบบจำลองทางคณิตศาสตร์สำหรับทำนายค่าความเร็วต่ำสุดของการเกิดฟลูอิด ไดเซชันสำหรับฟลูอิด ไดซ์เบดแบบสั้น โดยใช้แบบจำลองการไหลดแบบของไหลดสองชนิด (Two Fluid Flow Model) รวมทั้งพิสูจน์แบบจำลองทางคณิตศาสตร์ที่สร้างขึ้นด้วยวิธีการทดลอง สำหรับการทำทดลองตัวแปรที่ศึกษา คือ ความเข้มของการสั่นสะเทือน และขนาดของอนุภาค โดยกำหนดให้เบดสั้นในแนววนนานา กับแรงโน้มถ่วงของโลกที่ความถี่ 35 Hz 40 Hz และ 45 Hz อนุภาคแก้วที่ใช้มีขนาดเส้นผ่าศูนย์กลาง 2 และ 3 มม. ความหนาแน่น 2570 kg/m<sup>3</sup> และ 2600 kg/m<sup>3</sup> ตามลำดับ จากการทำทดลองพบว่า เมื่อความเข้มของการสั่นสะเทือนมีค่าเพิ่มขึ้น ค่าความเร็วต่ำสุดของการเกิดฟลูอิด ไดเซชัน ความดันลดคร่อมเบด และค่าสัดส่วนซึ่งว่างจะมีค่าลดลง นอกจากนี้ผลจากการทดลองพบว่าค่าความถี่ของการสั่นสะเทือนของความเร็วอากาศป้อน และความดันลดคร่อมเบดมีค่าความถี่เดียวกับการสั่นสะเทือน ซึ่งสอดคล้องกับสมมติฐานของแบบจำลองที่พัฒนาขึ้น รวมทั้งความเร็วต่ำสุดของการเกิดฟลูอิด ไดเซชันที่คำนวณได้จากสมการทำนายค่าความเร็วต่ำสุดของการเกิดฟลูอิด ไดเซชันที่สร้างขึ้นสอดคล้องกับผลการทำทดลอง ดังนั้นสรุปได้ว่าแบบจำลองทางคณิตศาสตร์ที่พัฒนาขึ้นสามารถใช้วิเคราะห์ผลกระทบของการสั่นสะเทือนที่มีต่อระบบฟลูอิด ไดซ์เบดได้

<b>Thesis Title</b>	Minimum fluidization velocity for vibrated fluidized bed
<b>Author</b>	Miss Wanwisa Kanjanaporn
<b>Major Program</b>	Mechanical Engineering
<b>Academic Year</b>	2010

## **ABSTRACT**

This research aims to develop the mathematical model for predicting the minimum fluidization velocity for vibrated fluidized bed. The research has employed the Two Fluid Flow Model and used results from experiments to verify this developed mathematical model. The parameters studied in the experiments were vibration intensity and particle diameter. In case of vibration intensity, the bed was being vibrated in the vertical direction parallel with the earth gravity. The vibrating frequencies tested were 35 Hz 40 Hz and 45 Hz. The particles used in the experiments were glass beads 2 mm. diameters of  $2570 \text{ kg/m}^3$  density and 3 mm. diameters of  $2600 \text{ kg/m}^3$  density, respectively. According to the experiments, it was found that firstly as the vibration intensity increased, minimum fluidization velocity, bed pressure drop and void fraction decreased. Besides, experimental results have shown that the vibrating frequency of superficial gas velocity and the vibrating frequency of bed pressure drop had the same frequency as had been assumed by the hypothesis set up for this research. Finally, the minimum fluidization velocity calculated analytically corresponded with those measured from experiments. Therefore, it can be concluded that the developed mathematical model can be used to analyze the effect of vibrating fluidized bed system.

## กิตติกรรมประกาศ

รายงานวิทยานิพนธ์ฉบับนี้สำเร็จลงได้โดยได้รับความอนุเคราะห์จากบุคคลสำคัญ  
หลายท่านด้วยกันจึงถือโอกาสขอบพระคุณเป็นอย่างยิ่งต่อ ดร.กิตตินันท์ มลิวรรณ อารย์ที่  
ปรึกษาวิทยานิพนธ์หลัก ที่กรุณาให้ความรู้ คำปรึกษา คำแนะนำ และแนวทางการแก้ปัญหาอันเป็น  
ประโยชน์ต่องานวิจัยอย่างมาก ตลอดจนทุนในการทำวิจัยทั้งหมด

ขอขอบพระคุณอาจารย์ที่ปรึกษาวิทยานิพนธ์ร่วมผู้ช่วยศาสตราจารย์ ดร. พฤทธิกร  
สมิต ไไมตรี และ ดร. สุนันดร์ศักดิ์ เทพญา ดร. นันทพันธ์ นภัทรานันทน์ และรองศาสตราจารย์ ดร.  
นคร ทิพยารวงศ์ กรรมการผู้ทรงคุณวุฒิ ที่กรุณาให้คำแนะนำ ตรวจแก้ไขวิทยานิพนธ์ และเป็น  
คณะกรรมการสอบวิทยานิพนธ์

ขอขอบคุณภาควิชาศัลปกรรมเครื่องกล คณะศิลปกรรมศาสตร์  
มหาวิทยาลัยสงขลานครินทร์ และบุคลากรภาควิชาศัลปกรรมเครื่องกลทุกท่านที่ให้ความอนุเคราะห์  
ให้ใช้เครื่องมือและสถานที่ และขอบคุณ ครุนิยม พรมรัตน์ ที่ให้คำปรึกษาช่วยเหลือและสร้าง  
ชุดทดลองฟลูอิด ไซซ์เบดแบบสั้น สุดท้ายนี้ขอบคุณ บิดา มารดา เพื่อนๆ พี่ๆ และน้องๆ ที่  
ช่วยเหลือและเป็นกำลังใจในการทำวิจัยครั้งนี้ จึงครบรอบพระคุณเป็นอย่างสูง ไว้ ณ โอกาสนี้

วันวิสาข์ กาญจนากรณ์

## สารบัญ

สารบัญ	หน้า
รายการรูปภาพ	(8)
สัญลักษณ์คำย่อและตัวย่อ	(10)
บทที่	
1. บทนำ	
1.1 ที่มาของปัญหา	1
1.2 วัตถุประสงค์	3
1.3 ขอบเขตงานวิจัย	3
1.4 ประโยชน์คาดว่าจะได้รับ	4
2. ทฤษฎีและการทบทวนเอกสาร	
2.1 นิยาม	5
2.2 ความสัมพันธ์ทางคณิตศาสตร์	7
2.3 การจำแนกประเภทของอนุภาคด้วยวิธีของ Geldart	13
2.4 การทบทวนเอกสารงานวิจัยของฟลูอิด ไดซ์เบดแบบสั้น	15
2.5 สรุป	21
3. แบบจำลองทางคณิตศาสตร์	
3.1 Averages and Averaging Theorem	23
3.2 การพัฒนาแบบจำลองทางคณิตศาสตร์สำหรับอิด ไดซ์เบดแบบสั้นสะเทือน	24
3.3 สรุป	32
4. การดำเนินการวิจัย	
4.1 การทดลองเบื้องต้น	33
4.2 เครื่องมือและอุปกรณ์สำหรับการทดลอง	34
4.3 วัสดุสำหรับการทดลอง	43
4.4 วิธีการทดลอง	44

## สารบัญ (ต่อ)

5. ผลการทดลองและวิจารณ์	
5.1 การทดลองฟลูอิดไಡเชชันแบบสั้นสะเทือน	46
5.2 การวิเคราะห์ผลของการสั้นสะเทือนที่มีต่อกระบวนการฟลูอิดไಡเชชัน	52
5.3 การเปรียบเทียบผลการคำนวณด้วยสมการทางคณิตศาสตร์และผลการทดลอง	57
6. การสรุปผลการวิจัยและข้อเสนอแนะ	
6.1 สรุปผลการวิจัย	61
6.2 ข้อเสนอแนะ	62
เอกสารอ้างอิง	64
ภาคผนวก	
ก ข้อมูลการทดลอง	68
ข ข้อมูลเซนเซอร์ความดัน MPVX 5004 DP	91
ค ข้อมูลเซนเซอร์ความเร่ง ADXL 210	97
ง แบบของฟลูอิดไಡเชชันแบบสั้นสะเทือน	101
จ ผลงานตีพิมพ์เผยแพร่วิทยานิพนธ์	106
ประวัติผู้เขียน	112

## รายการรูปภาพ

รูปที่	หน้า
1.1 การจับกับเป็นก้อนของอนุภาค	1
1.2 ระบบที่มีอนุภาคขนาดใหญ่ขนาดเล็กผสมกัน	2
2.1 ปรากฏการณ์ฟลูอิดไดเซชันแบบต่างๆ	7
2.2 ความสัมพันธ์ของความดันลดกับความเร็วในการเกิดฟลูอิดไดเซชัน	8
2.3 ความเข้มการสั่นสะเทือนต่อความเร็วต่ำสุดของการเกิดฟลูอิดไดเซชันของอนุภาค กลุ่ม A	17
3.1 Representative Elementary Volumes, REV	23
3.2 แกนอ้างอิงสัมพัทธ์ของฟลูอิดไดซ์เบดแบบสั่น	27
3.3 ระบบฟลูอิดไดซ์เบดแบบสั่นสะเทือน	27
4.1 อุปกรณ์และชุดทดลองระบบฟลูอิดไดซ์เบดแบบสั่นสะเทือน	34
4.2 เครื่องเป่าอากาศ (Blower)	35
4.3 วาล์วควบคุมการไหลอากาศ (Valve)	35
4.4 ออริฟิซ (Orifice)	36
4.5 เครื่องวัดความเร็วอากาศ (Anemometer)	36
4.6 เชนเซอร์ความดัน (Pressure sensor)	37
4.7 สเตกเกอร์ไม้บรรทัด	38
4.8 การติดตั้งกล้องดิจิตอล	38
4.9 ชุดสำหรับสั่นสะเทือน	39
4.10 Rotating Unbalance	39
4.11 การติดตั้งชนวนเซอร์วัสดุความเร่งบริเวณ vibration base	40
4.12 ผลการทดสอบชุดสั่นสะเทือน	41
4.13 ฟลูอิดไดซ์เบดคอลัมน์ (Fluidized bed column)	42
4.14 USB DAQ 6008: National Instrument	43

## รายการรูปภาพ (ต่อ)

รูปที่	หน้า
4.15 โปรแกรม Lab View: Signal Express 3.0	43
4.16 เม็ดอนุภาคแก้ว (Glass beads)	44
5.1 ลักษณะการเกิดฟลูอิດไไดซ์เบดแบบสั่นสะเทือน	48
5.2 ปรากฏการณ์ของฟลูอิດไไดซ์เบดแบบสั่นสะเทือน	49
5.3 ความเร็วอากาศป้อนและความดันลดคร่อมเบด กรณีอนุภาคขนาดเส้นผ่านศูนย์กลาง 2 มม. ที่ความถี่ 35 Hz	50
5.4 ความเร็วอากาศป้อนกับความดันลดคร่อมเบด กรณีของอนุภาคขนาดเส้นผ่านศูนย์กลาง 3 มม.	51
5.5 ผลความเข้มของการสั่นสะเทือน ( $\Gamma$ ) ต่อค่าสัดส่วนซึ่งว่างภายในเบด ( $\varepsilon_{mf}$ ) ขณะเกิดฟลูอิດไไดเซชัน	53
5.6 ความสัมพันธ์ระหว่างความเร็วอากาศและความดันลดคร่อมเบด กรณีการสั่นสะเทือนของเบดที่ (ก) 35 Hz (ข) 40 Hz (ค) 45Hz สำหรับอนุภาคขนาดเส้นผ่านศูนย์กลาง 2 มม.	54
5.7 ความสัมพันธ์ระหว่างความเร็วอากาศและความดันลดคร่อมเบด กรณีการสั่นสะเทือนของเบดที่ (ก) 35 Hz (ข) 40 Hz (ค) 45 Hz สำหรับอนุภาคขนาดเส้นผ่านศูนย์กลาง 3 มม.	55
5.8 ผลความเข้มของการสั่นสะเทือนต่อค่าความเร็วต่ำสุดของการเกิดฟลูอิດไไดเซชัน	56
5.9 การวิเคราะห์ Fast Fourier Transforms ของอนุภาคแก้วขนาดเส้นผ่านศูนย์กลาง 2 มม. ณ ความถี่การสั่นสะเทือน 35 Hz	58
5.10 เปรียบเทียบค่าความเร็วต่ำสุดของการเกิดฟลูอิດไไดเซชันระหว่างการทดลองกับสมการทางคณิตศาสตร์ที่พัฒนาขึ้นของงานวิจัยนี้สำหรับอนุภาคขนาดเส้นผ่านศูนย์กลาง 2 มม.	59
5.11 เปรียบเทียบค่าความเร็วต่ำสุดของการเกิดฟลูอิດไไดเซชันระหว่างการทดลองกับสมการทางคณิตศาสตร์ที่พัฒนาขึ้นของงานวิจัยนี้สำหรับอนุภาคขนาดเส้นผ่านศูนย์กลาง 3 มม.	59

## ສ້າງລັກນະຄໍາຍ່ອແລະຕ້ວຍ່ອ

$A_b$	ກືອ ພື້ນທີ່ທຳມະດຸຂອງເບດຄອລັນນີ້ ( $m^2$ )
$b$	ກືອ ແອມພລິຈຸດກາຮັ້ນສະເໜືອນ ( $m$ )
$d_p$	ກືອ ເສັ້ນຜ່ານສູນຢັກລາງຂອງອນຸກາກ ( $m$ )
$f$	ກືອ ກວາມຄືກາຮັ້ນສະເໜືອນ ( $Hz$ )
$g$	ກືອ ກວາມເຮັ່ງເນື່ອງຈາກແຮງໂນິ້ມຄ່ວງໂລກ ( $m/s^2$ )
$L$	ກືອ ກວາມສູງຂອງເບດ ( $m$ )
$L_{mf}$	ກືອ ກວາມສູງເບດຂະໜາດຝູອົດໄດ້ເຫັນ ( $m$ )
$m_p$	ກືອ ມວລຸຂອງອນຸກາກເບດທີ່ໜຶ່ງໜົດ ( $kg$ )
$\Delta p_{mf}$	ກືອ ກວາມດັນດັບຮ່ອມເບດຕໍ່ສຸດຂະໜາດຝູອົດໄດ້ເຫັນ ( $Pa$ )
$Re_p$	ກືອ ດຳເນີນນັ້ນເບອົງຂອງອນຸກາກ
$u$	ກືອ ກວາມເຮົວຂອງກ້າວປຶ້ອນ ( $m/s$ )
$u_f$	ກືອ ກວາມເຮົວຂອງກ້າວ ( $m/s$ )
$u_t$	ກືອ ກວາມເຮົວສຸດທ້າຍ ( $m/s$ )
$u_{mf}$	ກືອ ກວາມເຮົວອາກາສຕໍ່ສຸດຂະໜາດຝູອົດໄດ້ເຫັນ ( $m/s$ )
$\varepsilon$	ກືອ ສັດສ່ວນຂ່ອງວ່າງຂອງເບດ
$\varepsilon_{mf}$	ກືອ ສັດສ່ວນຂ່ອງວ່າງກາຍໃນເບດຂະໜາດຝູອົດໄດ້ເຫັນ
$\phi$	ກືອ ສັນປະລິກີ້ວ່າມກລມຂອງອນຸກາກ
$\Gamma$	ກືອ ກວາມເຂັ້ມຂອງກາຮັ້ນສະເໜືອນ
$\mu_f$	ກືອ ກວາມໜຶ່ງຂອງອາກາສ ( $N \cdot s/m^2$ )
$\rho_f$	ກືອ ກວາມໜານແນ່ນຂອງອາກາສ ( $kg/m^3$ )
$\rho_p$	ກືອ ກວາມໜານແນ່ນຂອງອນຸກາກຫຼືເມື່ອເກົ້ວ ( $kg/m^3$ )

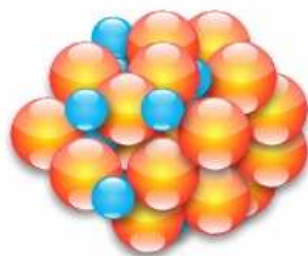
(10)

## บทที่ 1

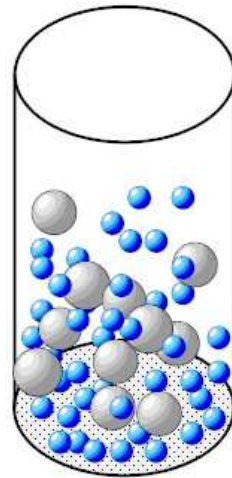
### บทนำ

#### 1.1 ที่มาของปัญหา

ฟลูอิด ไดเซชันถูกนำมาประยุกต์ใช้ในอุตสาหกรรมต่างๆ ใช้ในกระบวนการเปลี่ยนแปลงทางกายภาพ และการเปลี่ยนแปลงทางเคมี เช่น อุตสาหกรรมอาหาร การแปรรูป ปิโตรเคมี การอบแห้งและการคัดขนาดของอนุภาคที่เป็นผง ฟลูอิด ไดเซชันสามารถช่วยให้อนุภาคมีการผสมกันอย่างรวดเร็วและสม่ำเสมอ สามารถทำงานได้ต่อเนื่อง และสูญเสียพลังงานน้อย อย่างไรก็ตามปรากฏการณ์ของฟลูอิด ไดเซชันที่เกิดขึ้นในฟลูอิด ไดเซชันนั้นเป็นสิ่งที่ซับซ้อน และยากต่อการทำทายพุติกรรมการเคลื่อนที่ของอนุภาคภายในเบดได้ เนื่องจากการเคลื่อนที่ของอนุภาคจะขึ้นกับขนาด ความหนาแน่นของอนุภาค และสภาพการไหลของก๊าซ ซึ่งพบว่าระบบที่มีอนุภาคที่มีขนาดเส้นผ่าศูนย์กลาง 30 ไมโครเมตร หรือมีขนาดที่เล็กมาก ความชื้นสูง เหนียวเหนอะเป็นก้อน จะเกิดฟลูอิด ไดเซชัน ได้ยาก เนื่องจากอนุภาคมีการเกาะกลุ่ม และจับตัวเป็นก้อนใหญ่ ซึ่งทำให้ผิวสัมผัสระหว่างอนุภาคกับของไหลมีประสิทธิภาพลดลง ทำให้ระบบเสียการควบคุม นอกจานนี้ในระบบที่มีอนุภาคขนาดใหญ่และเล็กผสมกัน จำเป็นต้องใช้ความเร็วก๊าซสูงๆเพื่อทำให้อนุภาคที่มีขนาดใหญ่เคลื่อนที่ แต่ในขณะเดียวกันอนุภาคขนาดเล็กจะลอยหลุดออกจากเบดได้



รูปที่ 1.1 การจับเป็นก้อนของอนุภาค



รูปที่ 1.2 ระบบที่มีอนุภาคขนาดใหญ่และเล็กผสมกัน

ดังนั้นจึงมีการเสนอเทคนิคเพื่อแก้ปัญหาที่เกิดขึ้น และเพิ่มประสิทธิภาพของการเกิดฟลูอิดไคลเซ็น ด้วยการนำวิธีการสั่นสะเทือนเชิงกลมาใช้ร่วมกับระบบฟลูอิดไคลเซ็นเบด หรือเรียกว่า ฟลูอิดไคลเซ็นเบดแบบสั่นสะเทือน (Vibrated Fluidized Bed, VFB) โดยการสั่นจะเป็นการเพิ่มแรงกระแทกทำให้อนุภาคที่จับตัวกันเป็นก้อนแยกออกจากกัน และช่วยให้อนุภาคขนาดใหญ่เคลื่อนที่ได้ง่ายขึ้น ซึ่งพฤติกรรมที่เกิดขึ้นภายใต้ฟลูอิดไคลเซ็นจะมีความซับซ้อน และทำได้ยากเนื่องจากมีทั้งการเคลื่อนที่ของอนุภาคและของไหลพร้อมกัน ดังนั้นจึงไม่มีการพัฒนาแบบจำลองทางคณิตศาสตร์เพื่อทำนายการเคลื่อนที่ของอนุภาคและของไหลที่สภาวะต่างๆ โดยสามารถพิจารณาการเคลื่อนที่ของอนุภาคว่ามีพฤติกรรมเสม่อนของไหลชนิดหนึ่งซึ่งมีความต่อเนื่อง (Eulerian viewpoint) หรืออาจจะพิจารณาการเคลื่อนที่ของอนุภาคเป็นแบบรายเม็ด (Lagrangian viewpoint) ซึ่งแบบแรกจะมีข้อดีคือสามารถวิเคราะห์ทางทฤษฎีของปรากฏการณ์ต่างๆ ในฟลูอิดไคลเซ็นได้ รวมทั้งสามารถใช้ทำนายค่าความดันลด และค่าความเร็วต่ำสุดที่เกิดฟลูอิดไคลเซ็นได้ แต่จะมีข้อจำกัดในกรณีที่อนุภาคขนาดเล็กมากเมื่อเทียบกับเบด และต้องทราบคุณสมบัติทางไฮโดรไดนามิกส์ของอนุภาค ซึ่งปัญหานี้สามารถแก้ได้โดยการจำลองการเคลื่อนที่เป็นแบบรายเม็ดสามารถใช้ศึกษาผลของการกระจายขนาดและความหนาแน่นของอนุภาคได้โดยตรง แบบที่สองนี้ เป็นที่นิยมใช้ในการจำลองแบบเชิงตัวเลข ผลของการสั่นต่อการเคลื่อนที่ของอนุภาคในฟลูอิดไคลเซ็นเบดแบบสั่นยังมีผู้ศึกษาอยู่น้อย ส่วนสมการทำนายความดันลดคร่อมเบดและความเร็วต่ำสุดที่เกิดฟลูอิดไคลเซ็นเบดแบบสั่นนั้นยังการศึกษาและนำเสนอเป็นความสัมพันธ์ของสมการทางคณิตศาสตร์ยังไม่ชัดเจน

สำหรับงานวิจัยนี้จะเป็นการพัฒนาแบบจำลองทางคณิตศาสตร์สำหรับการเคลื่อนที่ของอนุภาคและของไอล่วยในฟลูอิด ไดซ์เบดแบบสั้น และพิสูจน์แบบจำลองคณิตศาสตร์ที่ได้พัฒนาขึ้น โดยการเปรียบเทียบค่าความดันลดคร่อมเบด และความเร็วต่ำสุดของการเกิดฟลูอิด ไดเซชันสำหรับฟลูอิด ไดซ์เบดแบบสั้นที่ได้จากแบบจำลองกับการทดลอง รวมทั้งทดลองศึกษาอิทธิพลของการสั่นเบดที่มีผลต่อพฤติกรรมการเคลื่อนที่ของอนุภาค

## 1.2 วัตถุประสงค์

1. เพื่อพัฒนาแบบจำลองทางคณิตศาสตร์เพื่อหาค่าความเร็วต่ำสุดของการเกิดฟลูอิด ไดเซชันของอนุภาคสำหรับฟลูอิด ไดซ์เบดแบบสั้น
2. เพื่อศึกษาอิทธิพลการสั่นสะเทือนต่อความเร็วต่ำสุดของการเกิดฟลูอิด ไดเซชันของอนุภาคในฟลูอิด ไดซ์เบดแบบสั้น

## 1.3 ขอบเขตของงานวิจัย

1. สร้างแบบจำลองทางคณิตศาสตร์เพื่อหาค่าความเร็วต่ำสุดของการเกิดฟลูอิด ไดเซชันของอนุภาค สำหรับฟลูอิด ไดซ์เบดแบบสั้นในแนวตั้งนานกับแกนโลก
2. ออกแบบและสร้างชุดทดลองพิสูจน์แบบจำลองทางคณิตศาสตร์
3. เปรียบเทียบพฤติกรรมการเคลื่อนที่ของอนุภาคภายในฟลูอิด ไดซ์เบดแบบสั้น เคิมและฟลูอิด ไดซ์เบดแบบสั้น
4. ศึกษาอิทธิพลของพารามิเตอร์การสั่น คือ แอมปลิจูด และความถี่ของการสั่นสะเทือนที่มีต่อสภาวะการทำงานของอนุภาคขนาดเส้นผ่านศูนย์กลาง 2 มม. และ 3 มม. และใช้ความถี่ของการสั่นสะเทือนที่ 35 Hz 40 Hz และ 45 Hz ตามลำดับ

#### 1.4 ประโยชน์คาดว่าจะได้รับ

1. สามารถทราบถึงพฤติกรรมการเคลื่อนที่ของอนุภาคภายในฟลูอิด ได้เช่นเดียวกับแบบสั่นสะเทือน
2. ได้แบบจำลองทางคณิตศาสตร์สำหรับคำนวณค่าความเร็วต่ำสุดของการเกิดฟลูอิด ได้เช่นเดียวกับแบบสั่นสะเทือน
3. สามารถนำแบบจำลองทางคณิตศาสตร์มาอธิบายปรากฏการณ์ของฟลูอิด ได้เช่นเดียวกับแบบสั่นสะเทือน และสามารถมาคำนวณขึ้นต้นสำหรับการออกแบบเครื่องฟลูอิด ได้เช่นเดียวกับแบบสั่นสะเทือนเพื่อให้เกิดความเหมาะสมกับงานได้

## บทที่ 2

### ทฤษฎีและการทบทวนงานวิจัย

ในบทที่ 2 นี้จะเป็นการกล่าวถึงทฤษฎีของกระบวนการฟลูอิดไดเซชัน และปรากฏการณ์ต่างๆที่เกิดในกระบวนการ สมการทางคณิตศาสตร์ที่สำคัญต่อระบบฟลูอิดไดเซชัน การจัดกลุ่มอนุภาคของฟลูอิดไดเซชัน และเป็นการทบทวนเอกสารงานวิจัยที่เกี่ยวข้องกับระบบฟลูอิดไดเซชันแบบสั้นสะเทือน เพื่อเป็นประโยชน์และหาแนวทางในการศึกษาและการทำวิจัย

#### 2.1 นิยาม

1. ฟลูอิดไดเซชัน (Fluidization) คือ กระบวนการที่ของแข็งซึ่งมีรูปร่างลักษณะเป็นเม็ดหรือเป็นชิ้น สัมผัสกับของไหหลาดแล้วอนุภาคของแข็งมีคุณสมบัติคล้ายของไหหลาดโดยที่ของไหหลาดจะถูกปล่อยให้ผ่านมาทางด้านล่างของตะแกรงที่รองรับเม็ดของแข็ง ของไหหลาดจะไหหลาดผ่านออกทางส่วนบนของหอดคลองซึ่งลักษณะเป็นทรงกระบอก (Column) เมื่อเพิ่มความเร็วของของไหหลาดให้มากขึ้นเรื่อยๆจนในที่สุดจะเห็นเม็ดของแข็งเริ่มเคลื่อนที่ และลอยตัวขึ้นเป็นอิสระไม่เกาะติดกัน พฤติกรรมของของแข็งที่อยู่ในลักษณะนี้จะมีคุณสมบัติคล้ายของไหหลาด และเรียกของแข็งในสภาวะนี้ว่า “ฟลูอิดไดเซชัน”

2. ดีฟลูอิดไดเซชัน (Defluidization) คือกระบวนการที่เกิดฟลูอิดไดเซชันได้ไม่สมบูรณ์ ซึ่งเกิดจากการที่อนุภาคของแข็งมีการจับตัว และเกาะกันแน่นขึ้น ทำให้น้ำหนักของอนุภาคที่เกิดจากการเกาะตัวกันมีมากขึ้น ซึ่งทำให้อนุภาคของแข็งที่อยู่ในระบบไม่มีลักษณะคล้ายกันของไหหลาด โดยส่วนใหญ่มักจะเกิดกับระบบฟลูอิดไดเซชันสามวัสดุภาค

### 2.1.1 ชนิดของฟลูอิดไดเซชัน

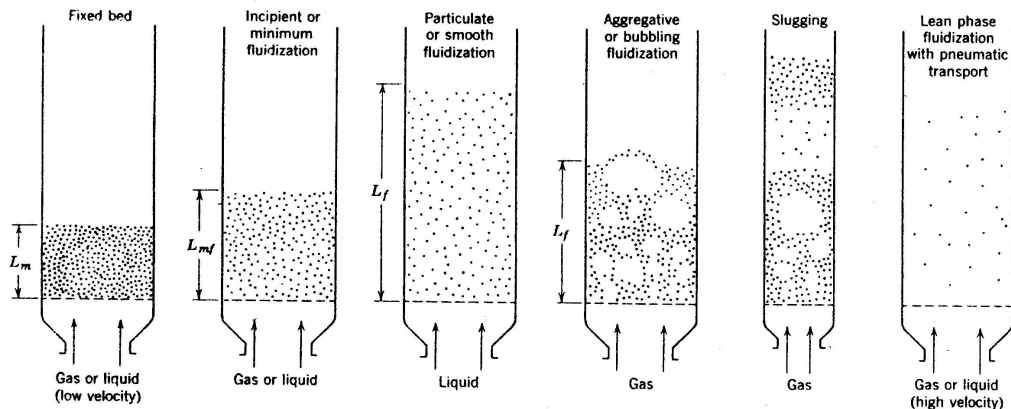
ระบบฟลูอิดไดเซชันสามารถแบ่งได้เป็น 2 ชนิด คือ

1. ฟลูอิดไดเซชันสองวัฏภาพ (Two-phase fluidization) ในหอทดลองจะประกอบด้วย วัฏภาพของของแข็งและของไอล ซึ่งของไอลอาจจะเป็นก้าชหรือของเหลวอย่างใดอย่างหนึ่งก็ได้

2. ฟลูอิดไดเซชันสามวัฏภาพ (Three-phase fluidization) ในหอทดลองประกอบด้วยวัฏภาพของของแข็ง ของเหลว และก้าช ซึ่งเป็นกระบวนการที่พัฒนามาจากฟลูอิดไดเซชันสองวัฏภาพ

### 2.1.2 ลักษณะฟลูอิดไดเซชัน

เบด (Bed) หมายถึง อาณาเขตในหอทดลองที่มีปริมาณอนุภาคของเม็ดของแข็งบรรจุอยู่ไม่ว่าเม็ดของแข็งนั้นจะอยู่นิ่งหรือเคลื่อนที่ด้วยของไอลในหอทดลอง ซึ่งมีระดับตื้นแต่แผ่นโลหะทำเป็นตะแกรงรองรับหรือเป็นตัวกระจายของไอล (Distributor) จนถึงระดับสูงสุดคือ ผิวน้ำของเม็ดของแข็งที่อยู่ในหอทดลอง เมื่อผิวน้ำของเม็ดของแข็งที่อยู่ในหอทดลองเริ่บร้อนตามต้องการแล้ว เริ่มปล่อยของไอลเข้าทางด้านล่างของหอทดลองอย่างช้าๆ ขณะที่ของไอลความเร็วขึ้น น้อยอยู่ เม็ดของแข็งจะไม่ขยับตัวเลย ลักษณะของเบดเช่นนี้เรียกว่า เบดนิ่ง (Fixed bed) เมื่อค่อยๆ เพิ่มความเร็วของของไอลให้มากขึ้นทีละน้อยจนถึงความเร็วระดับหนึ่ง เม็ดของแข็งจะเริ่มขยับตัว และขัดเรียงตัวอย่างมีระเบียบ เมื่อความเร็วของของไอลเพิ่มขึ้นอีกเล็กน้อยของแข็งจะหลุดออกจากกันโดยตัวอย่างอิสระ ลักษณะนี้เรียกว่า จุดเริ่มฟลูอิดไดเซชัน หลังจากนี้ไปแล้วความเร็วของของไอลที่เพิ่มขึ้นจะไปทำให้เบดขยายตัวตามความเร็วของของไอล ซึ่งที่เม็ดของแข็งอยู่ชิดกันมาก เบดลักษณะนี้เรียกว่า ฟลูอิดไดเซบดแบบหนาแน่น (Dense-phase fluidized bed) ถ้าความเร็วของของไอลเพิ่มขึ้นอีก ของไอลเกือบจะพาลมเม็ดของแข็งลอดออกจากหอทดลอง เบดลักษณะนี้เรียกว่า ฟลูอิดไดเซบดแบบเจือจาง (Dilute-phase fluidized bed) หลังจากนี้เมื่อเพิ่มความเร็วอีกเล็กน้อยเม็ดของแข็งก็จะหลุดลอดออกจากหอทดลอง ซึ่งในลักษณะนี้ใช้เป็นการขนส่งของแข็งจากที่หนึ่งไปยังอีกที่หนึ่ง (Pneumatics transport) ดังรูปที่ 2.1



รูปที่ 2.1 ปรากฏการณ์ฟลูอิดไดเชชันแบบต่างๆ [1]

## 2.2 ความสัมพันธ์ทางคณิตศาสตร์

พฤติกรรมของการเกิดฟลูอิดไดเชชันมีปัจจัยหรือตัวแปรที่มีอิทธิพลต่อการเกิดฟลูอิดไดเชชัน เช่น ความเร็วของของไหหล เม็ดของแข็ง ความหนาแน่นของของไหหลและเม็ดของแข็ง ความดัน เป็นต้น ซึ่งมีรายละเอียดดังต่อไปนี้

### 2.2.1 ช่องว่างภายในเบด (Void fraction)

เม็ดของแข็งที่บรรจุอยู่ในเบด ไม่ว่าจะบรรจุอย่างเป็นระเบียบหรือแบบไม่เป็นระเบียบ ย่อมเกิดช่องว่างระหว่างเม็ดของของแข็งขึ้นเสมอ จะมีขนาดมากหรือน้อยขึ้นอยู่กับคุณลักษณะและขนาดของเม็ดของแข็งที่ใช้ การคำนวณหาช่องว่างภายในเบด กรณีที่เม็ดของแข็งมีรูปร่างเป็นทรงกลมและขนาดสม่ำเสมอตลอด สามารถคำนวณหาได้จากความสัมพันธ์ของปริมาตรช่องว่างภายในเบดต่อปริมาตรทั้งหมดของเบด ดังนั้นสัดส่วนช่องว่างภายในเบดจะเกิดฟลูอิดไดเชชันหากไดดังนี้

$$\varepsilon_{mf} = 1 - \frac{m_p}{\rho_p A_b L_{mf}} \quad (2.1)$$

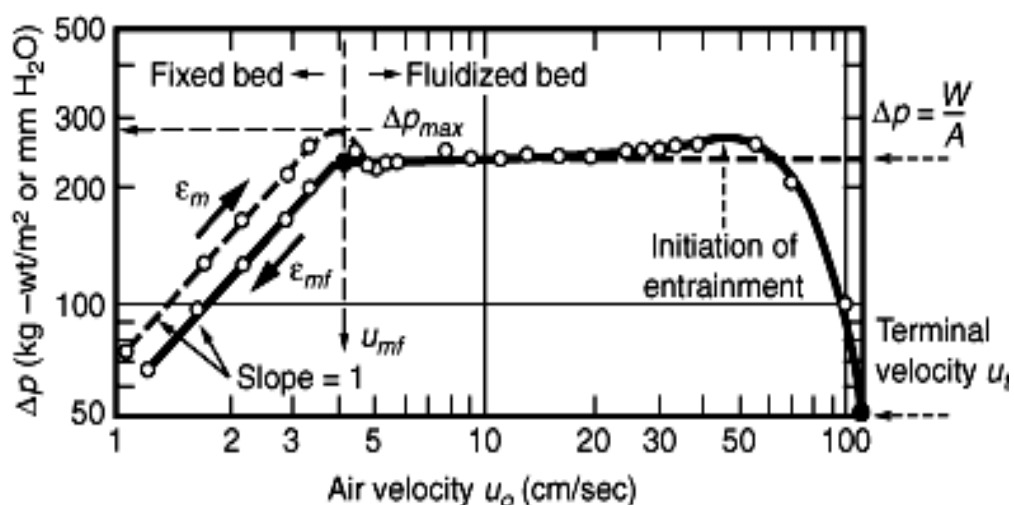
เมื่อ	$\varepsilon_{mf}$	คือสัดส่วนช่องว่างภายในเบดขณะเกิดฟลูอิดไดเชชัน
	$m_p$	คือค่ามวลของอนุภาคเบดทั้งหมด
	$A_b$	คือพื้นที่หน้าตัดของเบดคลอลัมน์
	$L_{mf}$	คือความสูงของเบดขณะเกิดฟลูอิดไดเชชัน

สำหรับวัสดุที่ไม่ใช่เป็นรูปทรงกลม อาจเป็นวัสดุที่มีรูปร่างไม่แน่นอน การหาสัดส่วนช่องว่างที่เกิดขึ้นในเบดก็จะเปลี่ยนไปตามรูปร่างและขนาดของวัสดุที่ใช้บรรจุในหอทดลอง หรือแม้แต่การบรรจุที่เป็นระเบียบกับแบบไม่เป็นระเบียบก็จะมีช่องว่างไม่เท่ากัน

### 2.2.2 ความเร็ว กําชป้อน (Superficial velocity) และความเร็ว กําชระหว่างอนุภาคภายในเบด (Interstitial velocity)

ความเร็ว กําชป้อน (Superficial velocity,  $u$ ) คือ ความเร็ว กําชเฉลี่ยในท่อเปล่ากรณีที่ไม่มีเม็ดอนุภาคของแข็งอยู่ ซึ่งคำนวณได้จากอัตราการไหลเขิงปริมาตรของกําชต่อพื้นที่หน้าตัดของท่อ หรือหาได้จากค่าความเร็ว กําชระหว่างอนุภาคภายในเบด (Interstitial velocity,  $u_i$ ) คูณด้วยสัดส่วนช่องว่างภายในเบด (Void fraction,  $\varepsilon$ )

### 2.2.3 ความสัมพันธ์ของความดันลดกับความเร็วในการเกิดฟลูอิดไดเชชัน



รูปที่ 2.2 ความสัมพันธ์ของความดันลดกับความเร็ว กําชในการเกิดฟลูอิดไดเชชัน [1]

จากรูปที่ 2.2 กราฟแสดงความสัมพันธ์ระหว่างความเร็วกําชป้อนกับความดันลดคร่อมเบด ที่ความเร็วกําชต่ำๆเบดจะมีลักษณะนิ่งอยู่กับที่ อนุภาคภายในเบดไม่มีการเคลื่อนที่ เรียกว่า เบคนิ่ง (Fixed bed) ซึ่งช่วงนี้ความดันลดคร่อมเบดจะเป็นสัดส่วนโดยตรงกับความเร็วกําชป้อน และเมื่อเพิ่มความเร็วกําชป้อนจนถึงระดับหนึ่งแล้วเบดจะเริ่มเปลี่ยนสภาพจากอนุภาคอยู่นิ่งเป็นอนุภาคที่มีการเคลื่อนที่ ขยับแยกห่างออกจากกัน ณ จุดนี้เบดจะเริ่มขยายตัว และเริ่มเกิดฟลูอิดไดเซชัน ความกําชที่จุดนี้คือความเร็วต่ำสุดของการเกิดฟลูอิดไดเซชัน (Minimum fluidization velocity,  $u_{mf}$ ) ความดันลดคร่อมเบดคงที่ และเริ่มลดลงหลังจากถึงจุดความเร็วต่ำสุดของการเกิดฟลูอิดไดเซชัน เมื่อเพิ่มความเร็วกําชให้สูงขึ้นถึงจุดหนึ่งที่ความเร็วกําชป้อนมากกว่าความเร็วสุดท้าย (Terminal velocity,  $u_t$ ) อนุภาคจะถูกพัดพาติดไปกับกําชหรือของไหล จุดนี้จะเป็นจุดที่ความเร็วกําชนีค่าเท่ากับความเร็วสุดท้ายของอนุภาค

#### 2.2.4 ความเร็วต่ำสุดของการเกิดฟลูอิดไดเซชัน (Minimum fluidization velocity)

ณ จุดที่เริ่มเกิดฟลูอิดไดเซชันนั้non อนุภาคจะลอยตัวเป็นอิสระ อนุภาคของของแข็งจะอยู่ในสภาวะสมดุลโดยที่มีแรงสองแรงกระทำกับอนุภาคของแข็ง คือ แรงที่เกิดจากน้ำหนักของอนุภาคกับแรงพยุงจากของไหล (แรงเสียดทานรวมกับแรงต้านของของไหล) ซึ่งสามารถเขียนความสัมพันธ์ในรูปของสมการได้ดังนี้

$$\text{แรงพยุง} (\text{แรงเสียดทาน} + \text{แรงต้านของของไหล}) = \text{น้ำหนักของอนุภาคของแข็ง} \quad (2.2)$$

หรือ

$$\begin{pmatrix} \text{ความดันลด} \\ \text{คร่อมเบด} \end{pmatrix} (\text{พื้นที่ภาคตัดขวางของเบด}) = (\text{ปริมาตรของเบด}) (\text{สัดส่วนอนุภาค}) \begin{pmatrix} \text{ความหนาแน่น} \\ \text{ของอนุภาค} \end{pmatrix}$$

$$\begin{aligned} (\Delta P)(A_b) &= W \\ &= (A_b L_{mf})(1 - \varepsilon_{mf})(\rho_p - \rho_f)g \end{aligned} \quad (2.3)$$

ซึ่งเขียนและจัดรูปใหม่ได้

$$\frac{\Delta P}{L} = (1 - \varepsilon_{mf})(\rho_p - \rho_f)g \quad (2.4)$$

จากสมการ (2.4) Ergun ได้สร้างความสัมพันธ์ทางคณิตศาสตร์ สำหรับการหาความดันลดคร่อมเบดจากความสัมพันธ์ของ Ergun [2] ดังนี้

$$\frac{\Delta p}{L} = 150 \frac{(1-\varepsilon)^2}{\varepsilon^3} \frac{\mu_f u}{\phi^2 d_p^2} + 1.75 \frac{(1-\varepsilon)}{\varepsilon^3} \frac{\rho_f u^2}{\phi d_p} \quad (2.5)$$

เมื่อ $\Delta p$	คือ ความดันลดคร่อมเบด
$\varepsilon$	คือ สัดส่วนช่องว่างของเบด
$L$	คือ ความสูงของเบด
$g$	คือ ความเร่งเนื่องจากแรงโน้มถ่วงโลก
$\rho_p, \rho_f$	คือ ความหนาแน่นของอนุภาคและก๊าซตามลำดับ
$u$	คือ ความเร็วของก๊าซป้อน
$d_p$	คือ ขนาดเส้นผ่าศูนย์กลางของอนุภาค
$\mu_f$	ค่าความหนืดของของไอล
$\phi$	คือ สัมประสิทธิ์ความกลมของอนุภาค

ดังนั้นสมการสำหรับหาค่าความเร็วต่ำสุดของการเกิดฟลูอิด ได้จากการนำสมการ (2.4) รวมกับสมการ (2.5) จะได้ดังนี้

$$150 \frac{(1-\varepsilon_{mf})}{\varepsilon_{mf}^3 \phi^2} \left( \frac{d_p u_{mf} \rho_f}{\mu_f} \right) + 1.75 \frac{(1-\varepsilon_{mf})}{\varepsilon_{mf}^3 \phi} \left( \frac{d_p u_{mf} \rho_f}{\mu_f} \right) = \frac{d_p^3 \rho_f (\rho_p - \rho_f) g}{\mu_f^2} \quad (2.6)$$

เมื่อ $u_{mf}$	คือ ความเร็วต่ำสุดของการเกิดฟลูอิด ได้เช่นนี้
$\varepsilon_{mf}$	คือ สัดส่วนช่องว่างของเบดที่เกิดฟลูอิด ได้เช่นนี้

และ  $u_{mf}$  หาได้ดังนี้

$$u_{mf} = \frac{d_p^2 (\rho_p - \rho_f) g}{150 \mu_f} \frac{\varepsilon_{mf}^3 \phi^2}{1 - \varepsilon_{mf}}, \text{Re}_p < 20 \quad (2.7)$$

$$u_{mf} = \frac{d_p (\rho_p - \rho_f) g}{1.75 \rho_f} \cdot \varepsilon_{mf}^3 \phi, \text{Re}_p > 1000 \quad (2.8)$$

เมื่อ  $Re_p$  คือค่าเรโนล์นัมเบอร์ของอนุภาคซึ่งมีค่าเท่ากับ

$$Re_p = \frac{|\vec{u}_p - \vec{u}_f| \rho_f \varepsilon d_p}{\mu_f} \quad (2.9)$$

### 2.2.5 ความเร็วสุดท้าย (Terminal velocity)

ความเร็วสุดท้าย (Terminal velocity,  $u_t$ ) คือความเร็วตกลิ่นของเม็ดของแข็งในของไอลที่นิ่งอยู่ ซึ่งความเร็วนี้จะมีค่าเท่ากับความเร็วของไอลที่ทำให้เม็ดของแข็งเคลื่อนตัวหลุดออกจากหอทดลองไป ความเร็วสุดท้ายนี้คำนวณได้จาก

$$u_t = \left[ \frac{4gd_p(\rho_p - \rho_f)}{3\rho_f C_D} \right]^{1/2} \quad (2.10)$$

สำหรับระบบของอนุภาคที่มีทรงกลมสามารถหาค่าความเร็วสุดท้ายได้โดยอาศัยการหาสมการสัมประสิทธิ์แรงเสียดทาน ดังนี้

$$C_{D,spherical} = \frac{24}{Re_p} \quad \text{เมื่อ } Re_p < 0.4 \quad (2.11)$$

$$C_{D,spherical} = \frac{10}{Re_p} \quad \text{เมื่อ } 0.4 < Re_p < 500 \quad (2.12)$$

$$C_{D,spherical} = 0.43 \quad \text{เมื่อ } 500 < Re_p < 200,000 \quad (2.13)$$

ดังนั้น เมื่อทราบค่า  $C_D$  สามารถหาค่า  $u_t$  คือ

$$u_{t,spherical} = \frac{g(\rho_p - \rho_f)d_p^2}{18\mu} \quad \text{เมื่อ } Re_p < 0.4 \quad (2.14)$$

$$u_{t,spherical} = \left[ \frac{4}{225} \frac{g^2(\rho_p - \rho_f)^2}{\rho_f g} \right]^{1/3} \cdot d_p \quad \text{เมื่อ } 0.4 < Re_p < 500 \quad (2.15)$$

$$u_{t,spherical} = \left[ \frac{3.1g(\rho_p - \rho_f)d_p}{\rho_f} \right]^{1/2} \quad \text{เมื่อ } 500 < Re_p < 200,000 \quad (2.16)$$

### 2.2.6 การเคลื่อนที่ของอนุภาคและของไหลในระบบฟลูอิดไดซ์เบด

การเคลื่อนที่ของอนุภาคและของไหลเป็นกลไกสำคัญต่อระบบฟลูอิดไดซ์เบด โดยเฉพาะการถ่ายเทความร้อน การถ่ายเทนวัต การติดตามพฤติกรรมการเคลื่อนที่ของอนุภาคและของไหลภายในฟลูอิดไดซ์เบดนั้นเป็นสิ่งที่กระทำได้ยาก เนื่องจากมีความยุ่งยากและซับซ้อนมาก ดังนั้นจึงมีการศึกษาทั้งทางด้านทฤษฎี การทดลอง รวมทั้งการใช้แบบจำลองทางคณิตศาสตร์ เพื่อใช้ติดตามการเคลื่อนที่ของอนุภาคและของไหล

Anderson และ Jackson [3] Ishii [4] Pritchett และคณะ [5] ได้เสนอและพัฒนาแบบจำลองการไหลแบบของไหลสองชนิด (Two Fluid Flow Model) ซึ่งแบบจำลองนี้ประกอบด้วยวัฏภาคนอกของอนุภาคและของไหล หลักการคือวัฏภาคนอกของอนุภาคในของไหลมีขนาดและเบามากจนมีลักษณะคล้ายกับของไหลซึ่งมีความต่อเนื่อง แบบจำลองการไหลของของไหลสองชนิดนี้มีสมการอธิบายการไหลของวัฏภาคนอกของอนุภาคและของไหลดังนี้

สมการอนุรักษ์มวลสำหรับของไหล

$$\frac{\partial}{\partial t} (\varepsilon \rho_f) + (\nabla \cdot \varepsilon \rho_f \vec{u}_f) = 0 \quad (2.17)$$

สมการอนุรักษ์มวลสำหรับของแข็ง

$$\frac{\partial}{\partial t} [(1-\varepsilon) \rho_p] + [\nabla \cdot (1-\varepsilon) \rho_p \vec{u}_p] = 0 \quad (2.18)$$

สมการอนุรักษ์โมเมนตัมสำหรับของไหล

$$\frac{\partial}{\partial t} (\varepsilon \rho_f \vec{u}_f) + (\nabla \cdot \varepsilon \rho_f \vec{u}_f \vec{u}_f) = -\varepsilon \nabla p - \beta (\vec{u}_f - \vec{u}_p) - (\nabla \cdot \varepsilon \vec{\tau}_f) + \varepsilon \rho_f \vec{g} \quad (2.19)$$

สมการอนุรักษ์โมเมนตัมสำหรับของแข็ง

$$\begin{aligned} \frac{\partial}{\partial t} [(1-\varepsilon) \rho_p \vec{u}_p] + [\nabla \cdot (1-\varepsilon) \rho_p \vec{u}_p \vec{u}_p] &= -(1-\varepsilon) \nabla p + \beta (\vec{u}_f - \vec{u}_p) \\ &\quad - [\nabla \cdot (1-\varepsilon) \vec{\tau}_p] - \nabla p_p + (1-\varepsilon) \rho_p \vec{g} \end{aligned} \quad (2.20)$$

เมื่อ $u_f$	คือ ความเร็วของของไอล
$u_p$	คือ ความเร็วของอนุภาค
$\beta$	ค่าสัมประสิทธิ์ที่เกิดจากการไอลของของไอลผ่านอนุภาค
$\tau_f$	ค่าความเดินเนื่องของของไอล
$\tau_p$	ค่าความเดินเนื่องของอนุภาค
$p$	ความดันของของไอล
$p_p$	ความดันของอนุภาค
$g$	ค่าความเร่งเนื่องจากแรงโน้มถ่วงของโลก

ค่าสัมประสิทธิ์  $\beta$  หาได้จาก

$$\beta = \frac{\mu_f(1-\varepsilon)}{d_p^2 \varepsilon} [150(1-\varepsilon) + 1.75 \text{Re}_p] \quad \text{เมื่อ } (\varepsilon \leq 0.8) \quad (2.21)$$

$$\beta = \frac{3}{4} C_D \frac{\mu_f(1-\varepsilon)}{d_p^2} \quad \text{เมื่อ } (\varepsilon > 0.8) \quad (2.22)$$

เมื่อ  $C_D$  คือค่าสัมประสิทธิ์แรงเสียดทาน ซึ่งหาได้ดังนี้ [6]

$$C_D = 24(1 + 0.15 \text{Re}_p^{0.687}) / \text{Re}_p \quad \text{เมื่อ } (\text{Re}_p \leq 1000) \quad (2.23)$$

$$C_D = 0.43 \quad \text{เมื่อ } (\text{Re}_p > 1000) \quad (2.24)$$

### 2.3 การจำแนกประเภทของอนุภาคด้วยวิธีของ Geldart

Geldart [7] ได้ทำการแบ่งอนุภาคของแข็งในฟลูอิด ได้เป็น 4 กลุ่ม คือ A, B, C และ D ตามความแตกต่างของพฤติกรรมการเกิดฟลูอิด ไดเซ็น ในระบบของแข็ง-ก๊าซ ซึ่งเป็น ความสัมพันธ์ระหว่างขนาดของอนุภาค และผลต่างระหว่างความหนาแน่นของอนุภาคและก๊าซ มีรายละเอียดดังนี้

### กลุ่ม A (Aeratable)

เป็นอนุภาคของแข็งขนาดเล็ก และมีความหนาแน่นต่ำ อนุภาคของแข็งกลุ่มนี้สามารถเกิดฟลูอิดได้ เช่น ได้จ่ายและมีความสม่ำเสมอทั่วทั้งเบด เบดของอนุภาคของแข็งจะเกิดการขยายตัวเมื่อความเร็วของก้าชมีค่าต่ำกว่าค่าความเร็วต่ำสุดของการเกิดฟลูอิดได้ เช่น ( $n_{mf}$ ) และที่ความเร็ว ก้าชมีค่าสูงกว่าความเร็วต่ำสุดของการเกิดฟลูอิดได้ เช่น จะเกิดการรวมตัวเป็นฟองก้าชภายในเบดของอนุภาคของแข็ง และเกิดการไหลเวียนของอนุภาคของแข็งภายในเบด เมื่อความเร็ว ก้าชมีค่าสูงมากๆ จะเกิดฟองก้าชที่มีขนาดใหญ่เกือบท่ากับขนาดของคลอัมันซึ่งเรียกว่า Slug เคลื่อนที่ขึ้นไปตามแนวแกนของคลอัมัน

### กลุ่ม B (Sand-like)

อนุภาคของแข็งในกลุ่มนี้ ส่วนมากจะมีขนาดเส้นผ่าศูนย์กลางประมาณ 40 ถึง 500 ไมโครเมตร และมีความหนาแน่นประมาณ 1.4 ถึง 4 กรัมต่อลูกบาศก์เซนติเมตร อนุภาคของแข็งกลุ่มนี้จะเกิดฟลูอิดได้ดี เมื่อความเร็วของก้าชมีค่าสูงกว่าความเร็วต่ำสุดของการเกิดฟลูอิดได้ เช่น จะเกิดฟองก้าชซึ่งเคลื่อนที่อย่างรวดเร็ว และเกิดการรวมตัวเป็นฟองก้าชขนาดใหญ่ตามความสูงของเบด

### กลุ่ม C (Cohesive)

อนุภาคของแข็งในกลุ่มนี้ เป็นอนุภาคของแข็งที่ละเอียด และมีแรงยึดเหนี่ยวระหว่างอนุภาคของแข็งสูง เป็นผลให้อนุภาคของแข็งชนิดนี้เกิดฟลูอิดได้ เช่น ได้เคลื่อนข้างหาก ในคลอัมันขนาดเล็กอนุภาคของแข็งกลุ่มนี้มักมีแนวโน้มที่เกิดการอุดตันของอนุภาคของแข็ง แต่ในคลอัมันขนาดใหญ่มากจะไม่เกิดฟลูอิดได้ เช่น แต่จะเกิดเป็นช่องว่างที่เกิดจากการไหลของก้าชจากตัวกระจายก้าชสู่ผิวนบด ตัวอย่างของอนุภาคของแข็งกลุ่มนี้ ได้แก่ ผงแป้งมันฝรั่ง

### กลุ่ม D (Spoutable)

อนุภาคของแข็งในกลุ่มนี้ เป็นอนุภาคของแข็งที่มีขนาดใหญ่ และมีความหนาแน่นสูง ทำให้เกิดฟลูอิดได้ยาก เมื่อความเร็วของก้าชต่ำเคลื่อนที่ผ่านระหว่างช่องของอนุภาคของแข็ง เมื่อความเร็ว ก้าชเพิ่มขึ้น จะเกิดการรวมตัวของฟองก้าช ทำให้เบดขยายตัว แต่ยังมีการไหลเวียนของอนุภาคภายในเบดค่อนข้างน้อย การเพิ่มการไหลเวียนของอนุภาคทำได้โดยการป้อน ก้าชที่กึ่งกลางคลอัมัน เรียกเบดลักษณะนี้ว่า Spouted beds

## 2.4 การทบทวนเอกสารงานวิจัยของฟลูอิดไดซ์เบดแบบสั้น

ปัจจุบันพบว่าได้มีการนำเทคนิคฟลูอิดไดเซชันมาประยุกต์ใช้ในอุตสาหกรรม แขนงต่างๆ อย่างกว้างขวาง ทั้งนี้เนื่องจากข้อดีต่าง ๆ ของฟลูอิดไดซ์เบด เช่น มีประสิทธิภาพการถ่ายเทมวลด้วยความร้อนที่ดี และเกิดการผสมอย่างทั่วถึง อย่างไรก็ตามเทคนิคฟลูอิดไดซ์เบดยังมีข้อจำกัด คือ ระบบไม่สามารถใช้กับอนุภาคขนาดเล็กที่มีความเร็วสูง หรือเป็นยาง ໄด เพราะอนุภาคจะเกิดการจับตัวเกาะกันเป็นก้อน และเบดที่มีการกระจายของอนุภาคที่แตกต่างกัน ทำให้ต้องใช้อาจาทที่มีความเร็วสูง สำหรับอนุภาคที่มีขนาดใหญ่ ส่วนอนุภาคขนาดเล็กโดยหลุดออกจากเบดได้ดังนั้นเพื่อแก้ปัญหาได้มีการนำเทคนิคการสั่นเบด หรือฟลูอิดไดซ์เบดแบบสั้น (Vibrated Fluidized Bed, VFB) มาใช้ เนื่องจากการสั่นสะเทือนสามารถแรงดึงดูดระหว่างอนุภาค ทำให้การเกิดฟลูอิดไดเซชันได้สมบูรณ์ขึ้นและใช้ความเร็วَاกำลังลดลง

ฟลูอิดไดซ์เบดแบบสั้นจึงได้รับความสนใจจากนักวิจัยและมีการศึกษาในด้านต่างๆ เช่น การถ่ายเทความร้อน การถ่ายเทมวลด การแยกหรือการผสมกันของอนุภาค เป็นต้น ซึ่งงานวิจัยเกี่ยวกับฟลูอิดไดซ์เบดแบบสั้นจึงมีทั้งการทดลองและการจำลองแบบทางคณิตศาสตร์

เทคนิคการสั่นเบดหรือฟลูอิดไดซ์เบดแบบสั้น ได้ถูกนำมาใช้ในกระบวนการอบแห้งเพื่อเพิ่มประสิทธิภาพการอบแห้ง Gupta และ Mujumdar [8] ได้ตรวจสอบเอกสารงานวิจัยเกี่ยวกับฟลูอิดไดซ์เบดแบบสั้น และสรุปว่าการสั่นสะเทือนทำให้ออนุภาคเกิดฟลูอิดไดเซชันได้สมบูรณ์ขึ้น ความดันลดคร่อมเบดและความเร็วต่ำสุดที่เกิดฟลูอิดไดเซชันลดลง เมื่อความเร่งในการสั่นสะเทือน (ผลคูณของแเอมพลิจูดการสั่นสะเทือนกับความถี่เชิงมุมการสั่นสะเทือนยกกำลังสอง) มีค่ามากกว่าความเร่งเนื่องจากแรงโน้มถ่วงของโลก และการสั่นสะเทือนทำให้อัตราการอบแห้งเพิ่มขึ้น และในปีเดียวกัน Gupta และคณะ [9] ได้ศึกษาอิทธิพลของการสั่นสะเทือนในแนวตั้งที่มีผลต่ออัตราการอบแห้ง โดยทดลองอบแห้งวัสดุพูนและเม็ดซิลิกาเจล พบร่วมนอกจาก การสั่นสะเทือน จะมีผลต่ออัตราการอบแห้งแล้ว การสั่นสะเทือนยังมีผลต่อความสูงของเบด อัตราการไหลดของอากาศขนาดของอนุภาค ต่อมาก Ringer และ Mujumdar [10] ได้สร้างแผนภูมิสำหรับเลือกตัวแปรการทำงานของระบบอบแห้งโดยใช้เทคนิคฟลูอิดไดซ์เบดแบบสั้น จากนั้น Erdész และ Mujumdar [11] เสนอความสัมพันธ์ระหว่างสัดส่วนความเร็วต่ำสุดที่เกิดฟลูอิดไดเซชันในฟลูอิดไดซ์เบดแบบสั้น ( $y$ ) และสัดส่วนความดันลดคร่อมเบดในฟลูอิดไดซ์เบดแบบดึงเดินและแบบสั้น ( $x$ ) ในรูปของ  $y = ax^b$  แต่ค่าคงที่  $a$  และ  $b$  ยังคงต้องได้มาจากการทดลอง

ต่อมาได้มีการศึกษาและนำเทคนิคฟลูอิด ไดซ์เบดแบบสั่นมาแก้ปัญหาการเกากรกลุ่มก้อนของอนุภาคขนาดเล็ก Kuipers และคณะ [12] ได้ทำการทดลองระบบฟลูอิด ไดซ์เบดแบบสั่นเพื่อเปลี่ยนแปลงพฤติกรรมของแป้งมันฝรั่งซึ่งเป็นอนุภาคในกลุ่ม C ตามการแบ่งกลุ่มของ Geldart ไปเป็นอนุภาคกลุ่ม A โดยใช้ใบพัดกวานที่ก้นเบดและการสั่นเบด พบว่าการกวานที่ก้นเบดเพียงอย่างเดียวไม่สามารถทำให้เกิดฟลูอิด ไดเซชันสำหรับแป้งมันฝรั่งที่มีความชื้นสูง แต่การสั่นเบดจะช่วยให้อนุภาคของแป้งมันฝรั่งแตกตัว และเกิดฟลูอิด ไดเซชันได้ ต่อมาได้มีการศึกษาผลของการสั่นที่มีต่อการเกิดฟลูอิด ไดเซชันของอนุภาคกลุ่ม C โดย Noda และคณะ [13] จากการทดลองพบว่าอนุภาคกลุ่ม C ไม่สามารถเกิดฟลูอิด ไดเซชันได้หากไม่มีการสั่นของเบด และความเร็วต่ำสุดในการเกิดฟลูอิด ไดเซชันจะลดลงเมื่อความเข้มของการสั่นสะเทือนเพิ่มขึ้น (Vibration Intensity) หรืออัตราส่วนระหว่างความเร่งในการสั่นกับความเร่งเนื่องจากแรงโน้มถ่วงของโลก ดังแสดงในสมการ

$$\Gamma = \frac{b(2\pi f)^2}{g} \quad (2.25)$$

เมื่อ  $\Gamma$  = เทอมไร้หน่วยหรือความเข้มของการสั่นสะเทือน  
 $f$  = ความถี่การสั่นสะเทือน  
 $b$  = แอมพลิจูดการสั่นสะเทือน  
 $g$  = ความเร่งเนื่องจากแรงโน้มถ่วงของโลก

โดยรูปแบบการเกิดฟลูอิด ไดเซชันแบบสั่น สามารถแบ่งตามขนาดความเข้มของการสั่นสะเทือนในแนวคิ่งได้ 3 ประเภท ดังนี้

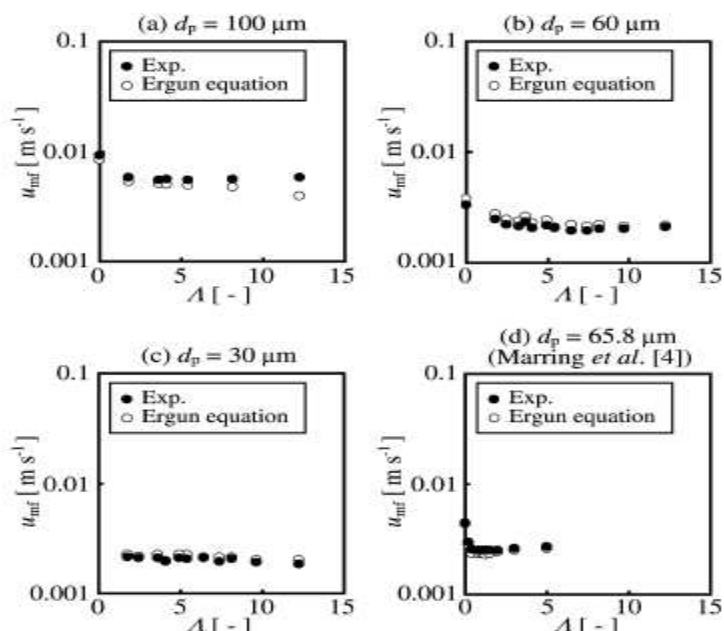
1. Vibrated state เกิดขึ้นเมื่อความเข้มของการสั่นสะเทือน  $\Gamma < 1$  เบดจะมีลักษณะเหมือนฟลูอิด ไดซ์เบดแบบไม่มีการสั่นสะเทือน และการสั่นสะเทือนจะช่วยให้เกิดฟลูอิด ไดเซชัน สมบูรณ์และมีเสถียรภาพมากขึ้นเท่านั้น

2. Vibrofluidized layer เกิดขึ้นเมื่อความเข้มของการสั่นสะเทือน  $\Gamma \approx 1$  โดยที่ความเร็วอากาศและการสั่นสะเทือนมีอิทธิพลต่อการเกิดฟลูอิด ไดเซชันเท่าๆ กัน

3. Vibrated fluidized layer เกิดขึ้นเมื่อความเข้มของการสั่นสะเทือน  $\Gamma > 1$  เบดจะได้รับอิทธิพลจากการสั่นสะเทือนเท่านั้น โดยที่อากาศจะทำหน้าที่ถ่ายเทความร้อนและมวลเท่านั้น

เมื่อเบดมีความสูงเพิ่มขึ้นผลของการสั่นสะเทือนที่มีต่อการเกิดฟลูอิด ไดเซชันจะลดลง โดยทั่วไปความสูงเบดจะมีค่าไม่เกิน 0.5 เมตร

Mawatari และคณะ [14] ได้นำฟลูอิดไดซ์เบดแบบสั่นมาปรับปรุงการไหลของอนุภาคละเอียด โดยทดลองและเปรียบเทียบรูปแบบของการสั่นสะเทือนสามแบบ คือ การสั่นสะเทือนในแนวตั้ง การสั่นสะเทือนในแนวนอน และการสั่นสะเทือนแบบการบิดเป็นเกลียว (Twist) พบว่ารูปแบบการสั่นสะเทือนมีผลต่อค่าความเร็วต่ำสุดของการเกิดฟลูอิดไดซ์ชัน สัดส่วนซึ่งว่างภายในเบด และผลการทดลองพบว่า อนุภาคขนาดใหญ่ (60 และ 100 $\mu\text{m}$ ) จะเกิดฟองก๊าซ (Bubble) เมื่อความเร็วมีค่ามากกว่าความเร็วต่ำสุดของการเกิดฟลูอิดไดซ์ชัน ต่อมา Zhou และคณะ [15] ได้ศึกษาพฤติกรรมของการเกิดฟลูอิดไดซ์ชันของอนุภาคแก้วภายในทิศทางของการสั่นสะเทือน และที่ความถี่และแอนพลิจูดของการสั่นสะเทือนมีค่าสูง พบว่าค่าความดันลดคร่อมเบด และความเร็วต่ำสุดของการเกิดฟลูอิดไดซ์ชันมีค่าน้อยกว่ากรณีที่ไม่มีการสั่นสะเทือน จากนั้น Tatemoto และคณะ [16] ทำการศึกษาค่าความเร็วต่ำสุดของการเกิดฟลูอิดไดซ์ชันของอนุภาคกลุ่ม A และ C ในฟลูอิดไดซ์เบดแบบสั่น โดยใช้สมการ Ergun [2] ในการคำนวณค่าความเร็วต่ำสุดของการฟลูอิดไดซ์ชันในฟลูอิดไดซ์เบดแบบสั่น เปรียบเทียบผลการคำนวณกับการทดลอง พบว่าสมการ Ergun สามารถใช้คำนวณความเร็วต่ำสุดของการเกิดฟลูอิดไดซ์ชันได้ดีสำหรับอนุภาคกลุ่ม A แต่ค่าสัดส่วนซึ่งว่างของของไหลขณะเกิดฟลูอิดไดซ์ชันยังคงได้มาจากการทดลอง และผลของการสั่นสะเทือนทำให้สัดส่วนซึ่งว่างและค่าความเร็วต่ำสุดคล่องเมื่อค่าความเข้มการสั่นสะเทือนเพิ่มขึ้น ดังแสดงในรูปที่ 2.3



รูปที่ 2.3 ความเข้มการสั่นสะเทือนต่อกำไรเร็วต่ำสุดของการเกิดฟลูอิดไดซ์ชันของอนุภาคกลุ่ม A [16]

นอกจากนี้การศึกษาเกี่ยวกับทฤษฎีการเกาะกลุ่มของอนุภาคและทำการทดลองสำหรับการเกิดฟลูอิດไดเซชันในฟลูอิດไดซ์เบดแบบสั่น ถูกเสนอโดย Xu และ Zhu [17] จากการทดลองพบว่าขนาดของการรวมตัวกันเป็นกลุ่มก้อนของอนุภาคลดลงเมื่อความเข้มของการสั่นสะเทือนเพิ่มขึ้น ต่อมา Xu และ Zhu [18] ยังได้ศึกษาตัวแปรที่มีผลต่อการเกิดฟลูอิດไดเซชันของอนุภาคขนาดเล็กภายในการสั่นสะเทือนเชิงกล พบว่าผลของการสั่นจะขึ้นอยู่กับคุณสมบัติของอนุภาค (กลุ่มอนุภาค การกระจายของขนาดและรูปร่าง) และทิศทางของการสั่น คือการสั่นในแนวนานกับแรงโน้มถ่วงของโลกจะมีผลต่อการเกิดฟลูอิດไดเซชันมากที่สุด และจะน้อยที่สุดเมื่อทิศทางของการสั่นตั้งฉากกับแรงโน้มถ่วงของโลก และ Mawatari และคณะ [19] ได้ศึกษาคุณสมบัติการจับตัวเป็นก้อนของอนุภาค โดยการสังเกตการกระจายตัวของการจับกลุ่มก้อนของอนุภาคภายใต้เงื่อนไขของการสั่นสะเทือนจากการทดลอง พบว่า การสั่นสะเทือนมีผลให้ขนาดของการจับกลุ่มก้อนของอนุภาคลดลงและเมื่อความเข้มของการสั่นสะเทือนเพิ่มขึ้นค่าความเร็วต่าสุดของการเกิดฟลูอิดไดเซชันมีค่าลดลง

Jin และคณะ [20] ได้ศึกษาผลของการสั่นสะเทือนที่มีต่อคุณสมบัติการขยายตัวของฟลูอิดไดซ์เบดของอนุภาคขนาดใหญ่ โดยการทดลองและใช้ PC-4 Optical fiber probe ใน การสังเกตการณ์การเกิดช่องว่างภายในเบด พบว่าการสั่นสะเทือนในแนวตั้งสามารถช่วยให้ออนุภาคเกิดฟลูอิດไดเซชัน ได้ดี และลักษณะการกระจายตัวของสัดส่วนช่องว่างในแนวแกนและแนวรัศมีมีลักษณะเหมือนกัน และการกระจายตัวของสัดส่วนช่องว่างภายในเบดถือว่าฟลูอิดไดซ์เบดแบบไม่มีการสั่นสะเทือน นอกจากนี้ Barletta และคณะ [21] ได้ศึกษาและทดลองผลของตัวแปรการสั่นสะเทือนเชิงกล คือผลของความถี่ของการสั่นสะเทือนและค่าความเร่งของการสั่นสะเทือนที่มีต่อก๊าซฟลูอิດไดเซชันของอนุภาคกลุ่ม A รวมทั้งศึกษานิodicของการเกิดฟลูอิดไดเซชันภายใต้การสั่นสะเทือนเชิงกล พบว่าอิทธิพลของก๊าซฟลูอิດไดเซชันแบบสั่นสะเทือนมีผลต่อค่าความดันลดคร่อมเบดที่ความแตกต่างของความสูงภายในเบด

สำหรับการศึกษาฟลูอิดไดซ์เบดแบบสั่นสะเทือนนั้น ยังมีการศึกษากับอนุภาคที่มีขนาดเล็กมากๆ Valverde และคณะ [22] ศึกษาอิทธิพลของการสั่นสะเทือนและสนามไฟฟ้าสถิตของนาโนฟลูอิດไดเซชัน (Nanofluidization) และเสนอผลการทดลองของฟลูอิดไดซ์เบดแบบสั่นของอนุภาคซิลิกาขนาดนาโน และ Zhou และคณะ [23] ได้ศึกษาพฤติกรรมการเกาะกลุ่มของอนุภาคนาโน (Nano-particles) โดยทำการทดลองศึกษาผลของการสั่นสะเทือนที่มีต่อการเกาะกลุ่มของอนุภาค พบว่าการสั่นสะเทือนสามารถปรับปรุงคุณลักษณะการเกิดฟลูอิດไดเซชันของอนุภาคนาโน ได้ดีขึ้น ความเร็วของการเกิดฟลูอิดไดเซชันมีค่าลดลง ซึ่งปัจจุบันพบว่างานวิจัยที่เกี่ยวกับฟลูอิดไดซ์

เบดแบบสั่นสะเทือน ได้พัฒนาและมีการวิจัยเพิ่มขึ้นอย่างรวดเร็ว และยังเป็นการศึกษาและนำมาใช้ในระบบ กระบวนการต่างๆ ในอุตสาหกรรมมากขึ้น

สำหรับระบบฟลูอิดไดซ์เบดนั้นยังมีปัจจัยที่สำคัญในการเกิดฟลูอิดไดเซชัน คือการเคลื่อนที่ของอนุภาค ซึ่งมีผลงานการติดตามการเคลื่อนที่ของอนุภาคภายในฟลูอิดไดซ์เบด [24] และมีนักวิจัยได้เสนอผลงานการติดตามการเคลื่อนที่ของอนุภาค แต่ทำได้ยากเนื่องจากในการทำวิจัยต้องใช้เครื่องมือวัดที่มีราคาสูง ดังนั้นจึงมีการนำแบบจำลองทางคณิตศาสตร์มาใช้ติดตามการเคลื่อนที่ของอนุภาค โดย Anderson และ Jackson [3] ได้เสนอแบบจำลองการไหลสองชนิด (Two-Fluid Flow Model) มีหลักการคือวัฏจักรของอนุภาคในของไหลมีขนาดเล็ก และมีความเบา บางมากจนคล้ายของไหลชนิดหนึ่งซึ่งมีความต่อเนื่อง แต่สามารถใช้ได้เฉพาะกรณีที่อนุภาคและช่องว่างมีขนาดเล็กพอเมื่อเทียบกับขนาดของเบด และเพื่อแก้ปัญหาดังกล่าว Cundall และ Strack [25] ได้เสนอแบบจำลองทางคณิตศาสตร์แบบรายเม็ด (Distinct Element Method, DEM) สำหรับคำนวณการเคลื่อนที่ของอนุภาคทรงกลมในแต่ละเม็ด แรงที่กระทำกับอนุภาคจะเป็นแรงเนื่องมาจาก การกระแทกกันของอนุภาค แรงเนื่องจากการกระแทกกับผนัง และแรงกระทำเนื่องจากของไหล (Drag Force) สำหรับแรงเนื่องจากการกระแทกกันของอนุภาคจะจำลองอยู่ในรูปออย่างง่ายของสปริง ตัวหน่วง และแรงตีดทาน

งานวิจัยเกี่ยวกับฟลูอิดไดซ์เบดแบบสั่น นิยมใช้แบบจำลองทางคณิตศาสตร์แบบรายเม็ดในการติดตามการเคลื่อนที่ของอนุภาค Tatemoto และคณะ [26] ศึกษาการเคลื่อนที่ของอนุภาคกลุ่ม B ในฟลูอิดไดซ์เบดแบบสั่นทั้งในแนวตั้งและแนวขานานกับแรงโน้มถ่วงของโลก โดยใช้แบบจำลองทางคณิตศาสตร์แบบรายเม็ด (DEM) พบว่าการสั่นในแนวตั้งจากกับแรงโน้มถ่วงของโลกจะทำให้เกิดฟลูอิดไดเซชันได้ยากเมื่อมีค่าความเข้มการสั่นสูง ความถี่ต่ำ และที่ความเข้มการสั่นคงที่ผลของการสั่นสะเทือนลดลงเมื่อความถี่มีค่าเพิ่มขึ้น หลังจากนั้น Tatemoto และคณะ [27] ยังได้ศึกษาผลกระแทบที่การสั่นที่มีต่อการเคลื่อนที่ของอนุภาคขนาดเล็ก และมีแรงดึงดูดระหว่างอนุภาคมากโดยการใช้แบบจำลองทางคณิตศาสตร์แบบรายเม็ด (DEM) พบว่าการสั่นสามารถทำให้ออนุภาคเกิดการเคลื่อนที่ และมีการถ่ายเทพลังงานระหว่างอนุภาคเนื่องจากมีการกระแทกกันจากด้านล่างไปยังด้านบนของเบด Limtrakul และคณะ [28] ได้ศึกษาผลของการสั่นที่มีต่อการเคลื่อนที่ของอนุภาคที่มีการเกาะกันเป็นกลุ่มก้อนภายในฟลูอิดไดซ์เบดแบบสั่น โดยการสร้างแบบจำลองการเคลื่อนที่ของอนุภาคแบบรายเม็ด (DEM) จากการจำลองพบว่าการสั่นสามารถช่วยให้ออนุภาคเกิดการแตกตัวได้ และพฤติกรรมการเกิดฟลูอิดไดเซชันได้ร่วมทั้งการผสมกันดีขึ้น เมื่อระบบมีความถี่และแอมพลิจูดสูงขึ้น Huilin และคณะ [29] ได้สร้างแบบจำลองแบบรายเม็ด (DEM) เพื่อศึกษาการเคลื่อนที่

ของอนุภาคในฟลูอิด ไดซ์เบดแบบสั่นสะเทือน พบว่าการสั่นสะเทือนในแนวตั้งช่วยให้เกิดฟองกําชา (Bubble) ขนาดใหญ่ขึ้นและการสั่นสะเทือนทำให้ความดันกําชา มีค่าลดลง

สำหรับในประเทศไทยงานวิจัยเกี่ยวกับฟลูอิด ไดซ์เบดแบบสั่นส่วนมากจะมีการทำวิจัยโดยการใช้แบบจำลองทางคณิตศาสตร์เพื่อทำนายพฤติกรรมและสภาวะการทำงานภายในฟลูอิด ไดซ์เบด สุวัฒน์ ตรุทัศนวินท์ [30] ได้พัฒนาแบบจำลองทางคณิตศาสตร์สำหรับการอบแห้งข้าวเปลือกโดยใช้ฟลูอิด ไดซ์เบดแบบสั่น เพื่อหาแนวทางที่เหมาะสมที่สุดสำหรับการอบแห้งข้าวเปลือก ซึ่งจากการวิจัยนี้ได้มีข้อเสนอแนะเกี่ยวกับการพัฒนาแบบจำลองทางคณิตศาสตร์ของการอบแห้งโดยการใช้ฟลูอิด ไดซ์เบดแบบสั่น สามารถคำนึงถึงผลลัพธ์ของการสั่นสะเทือนที่ทำให้เกิดฟลูอิด ไดเซชันดีขึ้น และสามารถทำให้ประสิทธิภาพการถ่ายเทความร้อนระหว่างอากาศอบแห้งและวัสดุที่ต้องการอบแห้งดีขึ้นด้วย

ษัยชาญ แสงจันทร์ [31] ได้จำลองแบบฟลูอิด ไดซ์เบดแบบสั่น ในสามมิติ โดยวิธีการวิเคราะห์อนุภาคแบบรายเม็ด (DEM) ร่วมกับ CFD เพื่อศึกษาการเคลื่อนที่ของอนุภาคซึ่งหาได้จากกฎการเคลื่อนที่ข้อที่สองของนิวตัน พบว่าที่ความเร็วอากาศต่ำกว่าความเร็วต่ำสุดของการเกิดฟลูอิด ไดเซชันจะไม่มีการเคลื่อนที่ของอนุภาค ส่วนในการศึกษาการถ่ายเทความร้อนพบว่าเมื่อความเร็วลมมีค่าเท่ากับค่าความเร็วต่ำสุดของการเกิดฟลูอิด ไดเซชันจะเกิดการถ่ายเทความร้อนได้ดีที่สุด และในปีเดียวกัน วรรณวรang โภจนวิจิตร [32] ได้ทำการสร้างแบบและจำลองการเคลื่อนที่ของอนุภาคภายในเครื่องฟลูอิด ไดซ์เบดแบบสั่น เพื่อศึกษาอิทธิพลต่างๆ ที่มีผลต่อการเคลื่อนที่ของอนุภาคเมื่อเกิดการสั่นของเบดในแนววนนานกับแรงโน้มถ่วงของโลก จากการศึกษาพบว่าการสั่นสะเทือนสามารถทำให้ระบบเกิดฟลูอิด ไดเซชัน ได้ดีมากขึ้น และการสั่นสามารถลดแรงดึงดูดระหว่างอนุภาคทำให้ออนุภาคเคลื่อนที่และกระจายตัวดีขึ้น สุวิณี สุนทรสมัย [33] ได้จำลองการถ่ายเทโมเมนตัมและความร้อนในฟลูอิด ไดซ์เบดแบบสั่น เพื่อศึกษาผลผลกระทบของการสั่นที่มีต่อสภาวะการทำงานของอนุภาค ประกอบด้วยความเร็ว กําชาป้อนและความเข้มของการสั่นสะเทือนที่มีผลต่อการถ่ายเทโมเมนตัมและการถ่ายเทความร้อน ซึ่งพบว่าการเพิ่มความเร็วของ กําชาป้อนสามารถเพิ่มอุณหภูมิของอนุภาคได้ และการสั่นสะเทือนของเบดจะมีผลต่อการเคลื่อนที่ของอนุภาค ความดันลดคร่อมเบด และการถ่ายเทความร้อนภายในฟลูอิด ไดซ์เบด ในปีต่อมา ศุภฤกษ์ วงศ์ศิริวรรณ [34] ได้จำลองแบบการอบแห้งในฟลูอิด ไดซ์เบดแบบสั่น ในสามมิติ โดยการวิเคราะห์อนุภาคแบบรายเม็ด (DEM) เพื่อศึกษาการเคลื่อนที่และการเปลี่ยนแปลงของอุณหภูมิรวมทั้งอัตราการอบแห้งของอนุภาคภายในฟลูอิด ไดซ์เบดแบบสั่น จากการศึกษาพบว่าเมื่อเพิ่มการสั่นสะเทือนจะมีผลทำให้ออนุภาคเกิดฟลูอิด ไดเซชัน ได้ดีขึ้น อนุภาคมีการผสมกันมากขึ้น และความร้อนกระจายทั่วทั้งเบด มีผลทำให้อัตราการอบแห้งเพิ่มสูงขึ้น

อย่างไรก็ตามจากการศึกษาและสำรวจผลงานวิจัยที่ผ่านมาเกี่ยวกับฟลูอิด ไดซ์เบด แบบสั่นทึบในแต่ต่างประเทศ พบว่าผลจากการทดลองและการจำลองแบบทางคณิตศาสตร์แสดงให้เห็นว่าการสั่นสะเทือนเชิงกลของเบดในแนวหน้ากับแรงโน้มถ่วงของโลกมีผลทำให้ระบบเกิดฟลูอิด ไดเซชัน ไดซ์บิน และค่าความเร็วต่ำสุดของการเกิดฟลูอิด ไดเซชันลดลงกึ่งตาม แต่ยังมีข้อผิดพลาด เกิดขึ้น ได้แก่ เนื่องจากระบบฟลูอิด ไดเซชันมีพุตติกรรมที่ซับซ้อนภายในเบด ซึ่งอาจเกิดจากปัจจัยหลายประการ เช่น การเคลื่อนที่ของอนุภาคของของแข็ง รูปแบบการไหลภายในฟลูอิด ไดซ์เบด การเปลี่ยนแปลงของความดันลดคร่อมเบด รวมทั้งการกระจายตัวของช่องว่างภายในเบด ประกอบกับ เทคนิคทางด้านการทดลองมีข้อจำกัดหลายอย่างทำให้ต้องใช้เครื่องมือวัดที่มีราคาสูง และมีความยาก ในกระบวนการวิเคราะห์และการตีความหมายของข้อมูล เนื่องจากยังขาดความเข้าใจทางด้านไฮโดร ไดนามิกส์การเคลื่อนของอนุภาค [35] และงานวิจัยเหล่านี้นั้นไม่ได้มีการเสนอสมการแสดง ความสัมพันธ์ทางคณิตศาสตร์สำหรับผลของการสั่นสะเทือนที่มีต่อตัวแปรที่เป็นปัจจัยของการเกิด ฟลูอิด ไดเซชันในระบบฟลูอิด ไดซ์เบดแบบสั่น เช่น ความดันลดคร่อมเบด และค่าความเร็วต่ำสุดของการเกิดฟลูอิด ไดเซชัน แม้จะมีการแสดงให้เห็นว่าสมการของ Anderson และ Jackson หรือ สมการของ Ergun ยังสามารถใช้คำนวณความดันลดคร่อมเบดของฟลูอิด ไดซ์เบดแบบสั่น แต่สามารถใช้ได้ ในบางกรณีเท่านั้น และสมการดังกล่าวในนั้น ไม่สามารถแสดงความสัมพันธ์ผลของการสั่นที่มีต่อความ ดันลดคร่อมเบด ได้อย่างชัดเจน เนื่องจากสมการยังขาดตัวแปรของ การสั่นสะเทือน

## 2.5 สรุป

จากการศึกษาทฤษฎีและการบททวนเอกสารเกี่ยวกับงานวิจัยที่ผ่านมา สามารถสรุป ได้ว่างานวิจัยเกี่ยวกับระบบฟลูอิด ไดซ์เบดแบบสั่นสะเทือนนั้น โดยส่วนมากจะเน้นการศึกษาและทำการวิจัยในด้านการประยุกต์ใช้ในระบบต่างๆ เพื่อเป็นการปรับปรุงและเพิ่มประสิทธิภาพให้กับ ระบบฟลูอิด ไดเซชัน ซึ่งเป็นการทดลองและทำการเปรียบเทียบประกันภารณ์ของการเกิดฟลูอิด ไดเซชันด้วยสมการ Ergun เพียงอย่างเดียว ดังนั้นในงานวิจัยนี้จึงเป็นการศึกษาพุตติกรรมของการเกิดฟลูอิด ไดเซชันสำหรับฟลูอิด ไดซ์เบดแบบสั่นสะเทือน และพัฒนาสมการทางคณิตศาสตร์สำหรับคำนวณ ค่าความเร็วต่ำสุดของการเกิดฟลูอิด ไดเซชัน รวมทั้งศึกษาอิทธิพลของการสั่นสะเทือนที่มีระบบฟลูอิด ไดเซชัน

## บทที่ 3

### แบบจำลองทางคณิตศาสตร์

การเคลื่อนที่ของอนุภาคและของไอลเป็นกลไกที่สำคัญสำหรับการถ่ายเทความร้อนและมวลในระบบฟลูอิดไดซ์เบด ซึ่งการติดตามการเคลื่อนที่ของเม็ดอนุภาคของแข็งและของไอลเป็นสิ่งที่ซับซ้อนและมีความยุ่งยากมาก เนื่องจากต้องใช้อุปกรณ์ที่มีความละเอียดและความแม่นยำสูง ดังนั้นจึงมีการศึกษาห้องทางด้านทฤษฎีและการทดลองเพื่อติดตามการเคลื่อนที่ของอนุภาคของแข็งและของไอล เช่น Anderson and Jackson [3] ได้ศึกษาและพัฒนาแบบจำลองการไอลแบบของไอลสองชนิด (Two Fluid Flow Model) โดยการใช้วิธี Volume average ซึ่งแบบจำลองนี้ประกอบด้วยเฟสของไอลและเฟสของอนุภาคของแข็ง และพิจารณาให่อนุภาคของแข็งในของไอลมีขนาดเล็ก และเบาบางมากจนมีลักษณะคล้ายของไอลชนิดหนึ่งซึ่งมีความต่อเนื่อง สำหรับวิธีการของ Volume average นั้นได้มีนักวิจัยต่างๆ นำมาใช้ในการพัฒนารูปแบบทางด้านคณิตศาสตร์สำหรับการไอลที่มีหลายๆ วัสดุภายในระบบ ซึ่งรูปแบบหรือแบบจำลองสมการทางคณิตศาสตร์นี้สามารถช่วยอธิบายพฤติกรรมและปรากฏการณ์ต่างๆ ของของไอลและอนุภาคของแข็งในฟลูอิดไดซ์เบดได้ [36][37]

ดังนั้นในบทที่ 3 นี้จึงเป็นการกล่าวถึงกระบวนการของการพัฒนาแบบจำลองทางคณิตศาสตร์สำหรับค่าความเร็วต่ำสุดของการเกิดฟลูอิดไดเซ็นสำหรับฟลูอิดไดซ์เบดแบบสั้น ด้วยวิธีการของ Volume averaging theorems ร่วมกับสมการควบคุมพื้นฐาน (Governing equation) สำหรับอนุภาคของแข็งและของไอล และเพื่อนำเสนอการที่ได้จากการพัฒนานี้ไปประยุกต์ใช้ในการออกแบบเครื่องมือต่างๆ เพื่อให้สามารถใช้งานได้จริง

### 3.1 Averages and Averaging Theorem

#### 3.1.1 Local Volume Average

สมการกำกับในระดับมหภาค (Macroscopic governing equations) สำหรับการให้ผลผ่านตัวกลางรูปรุน涵ได้จากการเฉลี่ยเชิงปริมาตร (Volume averaging) สมการกำกับในระดับจุลภาค (Microscopic equation) ในปริมาตรควบคุมขนาดเล็กหรือเรียกว่าปริมาตรอนุลักษณ์ตัวแทน (Representative Elementary Volume, REV) [38] ดังแสดงในรูปที่ 3.1 โดย Phase average และ Intrinsic Average สามารถหาได้โดยใช้สมการ (3.1) และ (3.2) ตามลำดับ

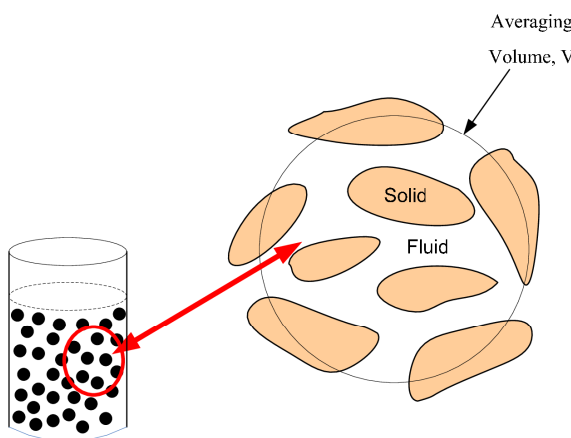
$${}^o\langle \varphi_k \rangle = \frac{1}{V} \int_V \varphi_k dV \quad (3.1)$$

$$\langle \varphi_k \rangle = \frac{1}{V_k} \int_{V_k} \varphi_k dV \quad (3.2)$$

เมื่อ  $\varphi_k$  คือ ปริมาณของวัสดุภาค  $k$

$V_k$  คือ ปริมาตรที่เกิดขึ้นโดยวัสดุภาค  $k$  ภายในปริมาตรควบคุม

$V$  คือ ปริมาตรควบคุม



รูปที่ 3.1 Representative Elementary Volumes, REV

ดังนั้นความสัมพันธ์ระหว่าง Phase average และ Intrinsic Average มีดังนี้

$$\langle \varphi_k \rangle = \frac{V_k}{V} \langle \varphi_k \rangle = \varepsilon_k \langle \varphi_k \rangle \quad (3.3)$$

### 3.1.2 Volume Averaging Theorems

คุณสมบัติของทฤษฎีการเฉลี่ยเชิงปริมาตร (Characteristic of the volume average theorems) มีดังนี้ [36] [39]

$${}^o\langle \nabla \varphi_k \rangle = \nabla {}^o\langle \varphi_k \rangle + \frac{1}{V} \int_{A_k} \varphi_k \vec{n}_k dA \quad (3.4)$$

$${}^o\langle \nabla \cdot \vec{\varphi}_k \rangle = \nabla \cdot {}^o\langle \vec{\varphi}_k \rangle + \frac{1}{V} \int_{A_k} \vec{\varphi}_k \cdot \vec{n}_k dA \quad (3.5)$$

$$\left\langle \frac{\partial}{\partial t} \varphi_k \right\rangle = \frac{\partial}{\partial t} {}^o\langle \varphi_k \rangle - \frac{1}{V} \int_{A_k} \varphi_k \vec{U}_s \cdot \vec{n}_k dA \quad (3.6)$$

เมื่อ  $\vec{n}_k$  คือ Normal vector

$A_k$  คือ พื้นผิวอินเตอร์เฟสของวัสดุ  $k$

$\vec{U}_s$  คือ ความเร็วของการเคลื่อนที่ของอินเตอร์เฟส

## 3.2 การพัฒนาแบบจำลองทางคณิตศาสตร์สำหรับฟลูอิดไดซ์เบดแบบสั่นสะเทือน

แบบจำลองทางคณิตศาสตร์ที่ใช้ศึกษาพฤติกรรมการเคลื่อนที่ของอนุภาคนายในฟลูอิดไดซ์เบดแบบสั่นเป็นแบบจำลองการไหลแบบของไอลสองชนิด (Two-Fluid Flow Model) ซึ่งประกอบด้วยอนุภาคนายแข็งและก๊าซ การสั่นสะเทือนที่กระทำต่อเบดเป็นการสั่นเชิงกลแบบอาร์โนนิก (Harmonic) ในแนวทวนวนกับแรงโน้มถ่วงของโลก โดยแกนอ้างอิงสัมพัทธ์จะถูกติดตั้งที่เบด ทำให้แรงเนื้องจากแรงสั่นสะเทือนถูกดูดซึมโดยระบบ และเป็นการคำนวณการเคลื่อนที่สัมพัทธ์ของอนุภาคและของไอลแทน

### 3.2.1 สมการควบคุม (Governing Equations)

สมการควบคุมประกอบไปด้วยสมการความต่อเนื่องและสมการโมเมนตัมแสดง  
ได้ดังนี้

- สมการความต่อเนื่อง (Continuity Equation)

$$\frac{\partial}{\partial t} \rho + \nabla \cdot (\rho \vec{u}) = 0 \quad (3.7)$$

- สมการโมเมนตัม (Momentum Equation)

$$\frac{\partial}{\partial t} \rho \vec{u} + \nabla \cdot (\rho \vec{u} \vec{u}) = \nabla \cdot \bar{\bar{E}} + \rho \vec{g} \quad (3.8)$$

เมื่อ  $\rho$  คือ ค่าความหนาแน่นของไหล

$\vec{u}$  คือ ค่าความเร็วของของไหลและอนุภาคของแข็งเที่ยบกับแกนอ้างอิงเดียว

$\bar{\bar{E}}$  คือ Stress tensor

โดยที่

$$\bar{\bar{E}} = -pI + \bar{\tau} \quad (3.9)$$

เมื่อ  $p$  คือ ความดันสถิต (Static pressure)

$I$  คือ Unit tensor

$\bar{\tau}$  คือ ค่าความเค้นเฉือน

ซึ่งแทนของ  $\bar{\tau}$  สามารถอธิบายได้ด้วยแรงเนื้องจากความหนืด (Viscous force) ดังสมการด้านล่าง

$$\bar{\tau} = \mu \left( \frac{\partial u_i}{\partial x_j} + \frac{\partial u_j}{\partial x_i} \right) \vec{e}_i \vec{e}_j + \left( \mu' - \frac{2\mu}{3} \right) (\nabla \cdot \vec{u}) \delta_{ij} \vec{e}_i \vec{e}_j \quad (3.10)$$

- เมื่อ  $\mu$  คือ ค่า Effective bulk viscosity ของไอลหรืออนุภาคของแข็ง  
 $\mu'$  คือ ค่า Effective shear viscosity ของไอลและอนุภาคของแข็ง  
 $\delta_{ij}$  คือ Kronecker delta

### 3.2.2 สมการการเฉลี่ยเชิงปริมาตร (Volume-Average balance equations)

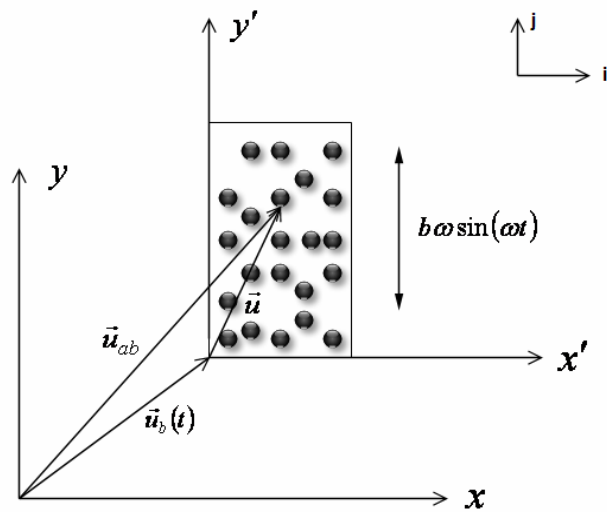
วิธีการของ Volume Averaging Theorems [36] ถูกใช้กับสมการความต่อเนื่องและสมการ โมเมนตัม เพื่อหาแบบจำลองทางคลิปศาสตร์สำหรับฟลูอิด ไดซ์เบดแบบสั่นสะเทือน โดยมีสมมติฐานดังนี้

1. พิจารณาระบบเป็นของไอลสองชนิด คือ แก๊สและอนุภาคของแข็ง
2. พิจารณาการสั่นสะเทือนของเบดเป็นการสั่นสะเทือนเชิงกลแบบชาร์โภนิก ในแนวนานกับแรงโน้มถ่วงโลก
3. แทนอ้างอิงสัมพัทธ์ถูกพิจารณาที่ทำແහ่งเบด
4. ไม่มีการเปลี่ยนแปลงคุณสมบัติทางกายภาพของแก๊สและของแข็ง
5. แรงดึงดูดและการกระแทกันระหว่างอนุภาคของแข็งมีค่าน้อยมาก
6. ผลของแรงเสียดทานและการเกิดไฟฟ้าสถิตระหว่างอนุภาคมีค่าน้อยมาก

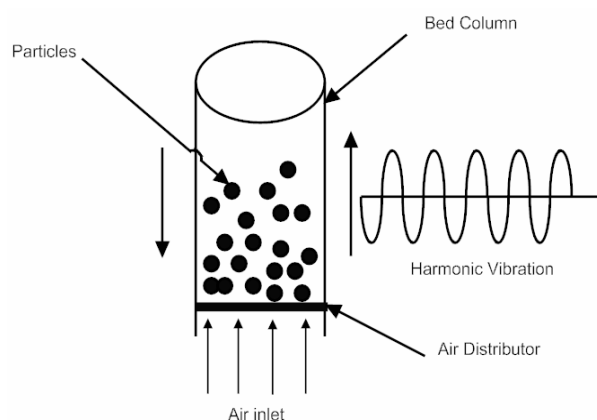
เมื่อแทนอ้างอิงสัมพัทธ์อยู่บนเบดดังรูปที่ 3.2 และระบบฟลูอิด ไดซ์เบดแบบสั่นแสดงในรูปที่ 3.3 ความเร็วสมมูลน์ของของไอลและอนุภาคของแข็งหายใจจาก

$$\vec{u}_{ab} = \vec{u} + \vec{u}_b(t) \quad (3.11)$$

- เมื่อ  $\vec{u}_{ab}$  คือ ค่าความเร็วสัมมูลน์  
 $\vec{u}$  คือ ค่าความเร็วสัมพัทธ์  
 $\vec{u}_b(t)$  คือ ค่าความเร็วของฟลูอิด ไดซ์เบดคอลัมน์อันเนื่องมาจากการสั่นสะเทือนซึ่งขึ้นกับเวลา ( $t$ ) และเป็นการสั่นสะเทือนเชิงกลแบบชาร์โภนิกส์



รูปที่ 3.2 แกนอ้างอิงสัมพัทธ์ของฟลูอิด ไดซ์เบดแบบสั่น



รูปที่ 3.3 ระบบฟลูอิด ไดซ์เบดแบบสั่นสะเทือน

แทนค่าสมการ (3.11) ลงในสมการ (3.7) และ สมการ (3.8) และใช้ทฤษฎี volume averaging จะได้สมการ (3.12) (3.13) (3.14) และ (3.15) ตามลำดับ คือ

- สมการความต่อเนื่องสำหรับวั�ภากาคของไอลสำหรับฟลูอิด ไดซ์เบดแบบสั่น

$$\underbrace{\varepsilon \frac{\partial}{\partial t} \langle \rho_f \rangle}_{1} + \nabla \cdot \varepsilon \langle \rho_f \rangle \langle \vec{u}_f(t) \rangle = 0 \quad (3.12)$$

- สมการ โโนเมนตัมสำหรับวัสดุภาคของอนุภาคของแข็งสำหรับฟลูอิด ไดซ์เบดแบบสั่น

$$\underbrace{(1-\varepsilon) \frac{\partial}{\partial t} \langle \rho_p \rangle + \nabla \cdot (1-\varepsilon) \langle \rho_p \rangle \langle \vec{u}_p(t) \rangle}_{1} = 0 \quad (3.13)$$

เทอมแรกทางด้านซ้ายมือของสมการ (3.12) และสมการ (3.13) คือความสัมพันธ์ของอัตรามวลสะสมต่อหนึ่งหน่วย และไม่ประกอบเทอมของการสั่นสะเทือน ( $\vec{u}_b$ )

- สมการอนุรักษ์โโนเมนตัมสำหรับวัสดุภาคของไหลสำหรับฟลูอิด ไดซ์เบดแบบสั่น
- $$\varepsilon \langle \rho_f \rangle \left[ \frac{\partial}{\partial t} \langle \vec{u}_f \rangle + \langle \vec{u}_f \rangle \cdot \nabla \langle \vec{u}_f \rangle \right] = \varepsilon \nabla \cdot \langle \bar{\bar{E}} \rangle + \varepsilon \langle \rho_f \rangle \vec{g} - \vec{F}_p - \varepsilon \langle \rho_f \rangle \frac{d\vec{u}_b}{dt} \quad (3.14)$$
- สมการอนุรักษ์โโนเมนตัมสำหรับวัสดุภาคของอนุภาคของแข็งสำหรับฟลูอิด ไดซ์เบดแบบสั่น

$$(1-\varepsilon) \langle \rho_p \rangle \left[ \frac{\partial}{\partial t} \langle \vec{u}_p \rangle + \langle \vec{u}_p \rangle \cdot \nabla \langle \vec{u}_p \rangle \right] = (1-\varepsilon) \nabla \cdot \langle \bar{\bar{E}} \rangle + (1-\varepsilon) \langle \rho_p \rangle \vec{g} + \nabla \cdot \langle \bar{\bar{E}}_p \rangle - (1-\varepsilon) \langle \rho_p \rangle \frac{d\vec{u}_b}{dt} + \vec{F}_p \quad (3.15)$$

เมื่อ	$\varepsilon$	คือ สัดส่วนของว่าง
$\langle \rho_f \rangle, \langle \rho_p \rangle$		คือ ความหนาแน่นของไหลและความหนาแน่นของอนุภาคของแข็ง
$\langle \vec{u}_f \rangle, \langle \vec{u}_p \rangle$		คือ เวกเตอร์ความเร็วเฉลี่ย (Volume averaged velocity vector) ของของไหลและอนุภาคของแข็งเทียบกับแกนอ้างอิงสัมพัทธ์ตามลำดับ
$\langle \bar{\bar{E}} \rangle, \langle \bar{\bar{E}}_p \rangle$		คือ Stress tensor ของของไหลและอนุภาคของแข็งตามลำดับ
$\vec{F}_p$		คือ แรงปฏิกิริยาระหว่างของไหลและอนุภาคของแข็ง (Fluid-particle interaction force)
$\vec{u}_b$		คือ ความเร็วของการสั่นสะเทือนของเบด หรือความเร็วการสั่นสะเทือนแบบชาร์โนนิกส์

เมื่อแรงปฏิกิริยาระหว่างของไอลและอนุภาคของแข็ง ( $\vec{F}_p$ ) หาได้จาก

$$\vec{F}_p = \underbrace{n\alpha_\varepsilon(\vec{u}_f - \vec{u}_p)}_1 + \underbrace{(1-\varepsilon)C_\varepsilon\rho_f \frac{d}{dt}(\vec{u}_f - \vec{u}_p)}_2 \quad (3.16)$$

เทอมแรกของทางด้านขวาของสมการ (3.16) เป็นแรงเนื่องจากแรงต้านที่เป็นความสัมพันธ์ระหว่างของความเร็วเฉลี่ยเฉพาะของวัสดุภาคค่าสัมประสิทธิ์เฉลี่ยของแรงต้านเฉพาะที่ (Local mean drag coefficient) ต่ออนุภาคของแข็งซึ่งขึ้นกับค่าสัดส่วนช่องว่างหรือความพรุนของระบบ ( $\alpha_\varepsilon$ ) และค่าเฉลี่ยของจำนวนอนุภาคต่อปริมาตร ( $n$ ) ส่วนเทอมที่สองของสมการ (3.16) คือ Virtual mass ซึ่งสัมพันธ์กับความเร่งเฉลี่ยเฉพาะที่ (Local mean acceleration) ของของไอลและอนุภาคของแข็ง และค่า Virtual mass coefficient ( $C_\varepsilon$ ) ซึ่งขึ้นกับค่าสัดส่วนช่องว่างหรือความพรุน ( $\varepsilon$ ) ภายในฟลูอิดไดซ์เบดมีค่าเท่ากับ 0.5 [40]

เมื่อนำสมการโน้ม-men ด้วยรับของไอลและอนุภาคของแข็งจากสมการ (3.15) และ (3.16) มารวมเข้าด้วยกันจะได้สมการที่ 3.17 คือ

$$(1-\varepsilon)\langle\rho_p\rangle\left[\frac{\partial}{\partial t}\langle\vec{u}_p\rangle + \langle\vec{u}_p\rangle \cdot \nabla \langle\vec{u}_p\rangle\right] = (1-\varepsilon)\langle\rho_p\rangle - \langle\rho_f\rangle \vec{g} + \frac{\vec{F}_p}{\varepsilon} + \nabla \cdot \overline{\overline{\mathbf{E}}_p} - (1-\varepsilon)\langle\rho_p\rangle - \langle\rho_f\rangle \frac{d\vec{u}_b}{dt} + (1-\varepsilon)\langle\rho_f\rangle\left[\frac{\partial}{\partial t}\langle\vec{u}_f\rangle + \langle\vec{u}_f\rangle \cdot \nabla \langle\vec{u}_f\rangle\right] \quad (3.17)$$

### 3.2.3 การหาผลเฉลยของสมการแบบจำลองทางคณิตศาสตร์สำหรับฟลูอิดไดซ์เบดแบบสั่นสะเทือน (Solutions of the equations of motion for vibrated fluidized bed)

การแก้ปัญหาทางคณิตศาสตร์เพื่อหาความเร็วต่ำสุดของการเกิดฟลูอิดไดซ์เบดมีการสั่นสะเทือนของเบด โดยใช้สมการความต่อเนื่องและสมการโน้ม-men ด้วยรับของไอลและอนุภาคของแข็งที่ได้พัฒนาขึ้น ต้องใช้เงื่อนไขของการเกิดฟลูอิดไดซ์เบดมีการเคลื่อนที่หรือความเร็วของของแข็งเท่ากับศูนย์ ความเร็วของของไอลและความเร็วของการสั่นสะเทือนของเบดมีความถี่เท่ากันและขึ้นกับเวลาเท่านั้น ดังแสดงคือ

$$\vec{u}_f = u_f(t)\vec{j}; \quad \vec{u}_p = 0; \quad \vec{u}_b = u_b(t)\vec{j}; \quad \vec{g} = -g\vec{j};$$

แทนค่าเงื่อนไขเริ่มต้นในสมการที่ (3.14) จะได้

$$\varepsilon \langle \rho_f \rangle \left[ \frac{\partial}{\partial t} \langle u_f(t) \vec{j} \rangle \right] = \varepsilon \nabla \cdot \langle \bar{\bar{E}} \rangle - \varepsilon \langle \rho_f \rangle g \vec{j} - \vec{F}_p - \varepsilon \langle \rho_f \rangle \left[ \frac{\partial}{\partial t} \langle u_b(t) \vec{j} \rangle \right] \quad (3.18)$$

จากสมการที่ (3.18) สังเกตว่าค่าความเร็วการเคลื่อนที่ของของไหลจะขึ้นกับเวลา เพียงอย่างเดียว และเมื่อแทนค่าตัวแปรของเทอม  $\bar{\bar{E}}$  ของของไหลจากสมการ (3.9) และค่าของแรงปฏิกิริยาระหว่างของไหลและอนุภาคของแข็ง (Fluid-particles interaction force,  $\vec{F}_p$ ) จากสมการ (3.16) และขัดเทอมของ  $\frac{1}{\varepsilon} \left[ n\alpha_\varepsilon(u_f(t)) + (1-\varepsilon)C_\varepsilon \langle \rho_f \rangle \frac{d}{dt}(u_f(t)) \right]$  จัดรูปสมการใหม่จะได้สมการสำหรับหาค่าความดันลดคร่อมเบดสำหรับฟลูอิด ไดซ์เบดแบบสั่นสะเทือน ดังแสดงในสมการ (3.19)

$$\therefore \nabla \langle p \rangle = -(1-\varepsilon) \langle \rho_p \rangle \left( g + \frac{d}{dt} u_b(t) \right) \vec{j} - \varepsilon \langle \rho_f \rangle \left( g + \frac{d}{dt} u_b(t) + \frac{d}{dt} u_f(t) \right) \vec{j} \quad (3.19)$$

สมการ (3.19) เป็นสมการความดันลดคร่อมเบดของฟลูอิด ไดซ์เบดแบบสั่นสะเทือน เมื่อเปรียบเทียบกับสมการความดันลดคร่อมเบดสำหรับกรณีที่ไม่มีการสั่นสะเทือน พบว่ามีความแตกต่างคือ จะประกูลเทอมอันเนื่องมาจากการสั่นสะเทือนของเบด ( $u_b(t)$ ) ในสมการซึ่งเป็นผลให้ค่าความดันลดคร่อมเบดมีค่าน้อยกว่ากรณีของฟลูอิด ไดซ์เบดที่ไม่มีการสั่นสะเทือน จากนั้นนำสมการ (3.18) ซึ่งแทนค่าของตัวแปรที่กำหนดแล้วมาลงด้วยสมการ (3.19) เพื่อขัดเทอมของความดัน และทำการจัดรูปและเขียนสมการใหม่จะได้สมการสำหรับนำไปหาผลเฉลยของความเร็วต่ำสุดของการเกิดฟลูอิด ไดซ์เบด ดังแสดงในสมการที่ (3.20)

$$\left( \frac{C_\varepsilon}{\varepsilon} + 1 \right) \left( (1-\varepsilon) \langle \rho_f \rangle \frac{d}{dt} u_f(t) \right) + \beta u_f(t) + (1-\varepsilon) \left[ \langle \rho_f \rangle - \langle \rho_p \rangle \left( g + \frac{d}{dt} u_b(t) \right) \right] = 0 \quad (3.20)$$

เมื่อ  $\beta$  คือสัมประสิทธิ์ของแรงปฏิกิริยาระหว่างของไหลและอนุภาคของแข็ง (Fluid-particles interaction coefficient) มีค่าเท่ากับ  $\frac{n\alpha_\varepsilon}{\varepsilon}$  ซึ่งคำนวณได้จากสมการ (2.21) และสมการ (2.22) [2]

จากสมการ (3.20) จัดรูปสมการอนุพันธ์ใหม่ได้ดังนี้

$$A \frac{d}{dt} (u_f(t)) + B(u_f(t)) + M + K(t) = 0 \quad (3.21)$$

เมื่อ

$$\begin{aligned} A &= \left( \frac{C_\varepsilon}{\varepsilon} + 1 \right) (1 - \varepsilon) \langle \rho_f \rangle \\ B &= \beta = \frac{n\alpha_\varepsilon}{\varepsilon} \\ M &= (1 - \varepsilon) (\langle \rho_f \rangle - \langle \rho_p \rangle) g \\ u_b(t) &= b\omega \sin(\omega t) \\ K(t) &= (1 - \varepsilon) (\langle \rho_f \rangle - \langle \rho_p \rangle) \frac{d}{dt} (u_b(t)) \end{aligned}$$

ดังนั้นค่าความเร็วของการเกิดฟลูอิด ไดเซชันสำหรับฟลูอิด ไดซ์เบดแบบสั่นสะเทือน หาได้จากการแก้สมการอนุพันธ์อันดับหนึ่ง (Ordinary differential equation) แบบ Non-homogeneous ด้วยวิธี Underdetermined coefficient [41] จะไดผลเฉลยของสมการหรือค่าความเร็วต่อสุกของฟลูอิด ไดเซชันแบบสั่นสะเทือน ดังแสดงในสมการ (3.22)

$$\therefore u_f(t) = C e^{-\frac{B}{A}t} + \left( \frac{K_a}{B^2 + A^2 \omega^2} \right) (B \cos(\omega t) + A \omega \sin(\omega t)) - \frac{M}{B} \quad (3.22)$$

เมื่อ  $C$  คือค่าคงที่ และ  $K_a = (1 - \varepsilon) (\langle \rho_f \rangle - \langle \rho_p \rangle) (b\omega)$  จากสมการ (3.22) สามารถเขียนสมการให้อยู่ในรูปการเปลี่ยนเฟสของการสั่นสะเทือน โดยใช้คุณสมบัติทางค้านตรี โภณมิติ และจัดรูปสมการใหม่ได้ดังนี้

$$\therefore u_f(t) = C e^{-\frac{B}{A}t} + \frac{K_a}{\sqrt{B^2 + A^2 \omega^2}} \left[ \cos \left( \omega t + \tan^{-1} \left( -\frac{A\omega}{B} \right) \right) \right] - \frac{M}{B} \quad (3.23)$$

เมื่อเปรียบเทียบสมการที่ได้พัฒนาขึ้นของงานวิจัยนี้กับสมการของ Ergun ของระบบฟลูอิด ไดซ์เบดแบบไม่มีการสั่นสะเทือน พบร่วมกันว่าสมการทางคณิตศาสตร์ของงานวิจัยนี้จะปรากฏเทอมของแรงกระทำซึ่งเกิดจากการสั่นสะเทือนของฟลูอิด ไดซ์เบดเพิ่มเข้ามาในสมการความเร็วต่อสุกของการเกิดฟลูอิด ไดเซชัน

### 3.3 สรุป

สมการสำหรับการทำนายค่าความเร็วต่ำสุดของการเกิดฟลูอิดได้เช่นดังสมการ (3.23) ได้ถูกพัฒนาโดยใช้ Volume Averaging Theorems (VAT) ร่วมกับสมการอนุรักษ์มวลและสมการอนุรักษ์โมเมนตัมสำหรับของไหลและอนุภาคของแข็ง สำหรับการพิสูจน์ความถูกต้องของสมการดังกล่าวเพื่อให้สามารถนำไปใช้ได้จริงจะใช้วิธีการทดลอง ซึ่งจะกล่าวถึงวิธีการทดลองและเงื่อนไขต่างๆสำหรับการทดลองระบบฟลูอิดได้เบดแบบสั้นสะเทือนในบทที่ 4 ต่อไป

## บทที่ 4

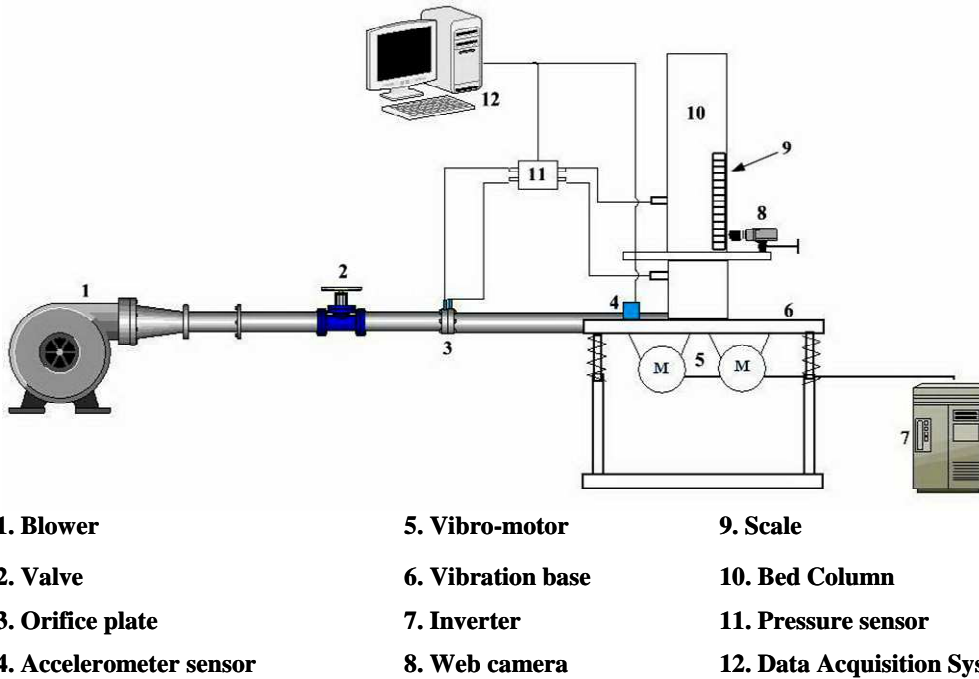
### วิธีการทดลอง

ในบทนี้เป็นส่วนของวิธีการทดลองฟลูอิดไคลเซนเบดแบบสั่นสะเทือน เพื่อศึกษา ปรากฏการณ์ของการเกิดฟลูอิดไคลเซนของฟลูอิดไคลเซนเบดแบบสั่นสะเทือน โดยศึกษาผลของการ สั่นสะเทือนที่มีต่อค่าสัดส่วนช่องว่างภายในเบด ความดันลดคร่อมเบด และความเร็วต่ำสุดของการ เกิดฟลูอิดไคลเซน นอกจากนี้จะนำผลที่ได้จากการทดลองมาเปรียบเทียบกับผลการคำนวณจาก แบบจำลองทางคอมพิวเตอร์ที่ได้พัฒนาขึ้นในบทที่ 3

#### 4.1 การทดลองเบื้องต้น

วัตถุประสงค์ของการทดลองเบื้องต้นคือเพื่อหาเครื่องมือวัดและอุปกรณ์ทดลองที่ เหมาะสม เริ่มจากการทดลองเป้าเม็ดอนุภาคแก้วเพื่อหาขนาดของ Blower และหาช่วงความดันลด คร่อมออริฟิซและความดันลดคร่อมเบด โดยใช้ U-Tube เพื่อนำมาเลือกเซนเซอร์สำหรับใช้วัดความ ดัน ซึ่งจากการทดลองขึ้นต้นนี้ ความเร็วแก๊สที่ใช้ในการเป้าเม็ดอนุภาคแก้วขนาดเดือนผ่านศูนย์กลาง 3 มม. ความหนาแน่น  $2600 \text{ kg/m}^3$  จำนวน 1 kg. จังกระทั้งเม็ดอนุภาคแก้วอยู่ตัวขึ้นอยู่ในช่วง 0-3 m/s และความดันลดคร่อมเบดอยู่ในช่วง 0- 20 kPa จากการทดลองสามารถเลือกเครื่องมือและ อุปกรณ์สำหรับการทดลองได้ดังแสดงในหัวข้อ 4.2

## 4.2 เครื่องมือและอุปกรณ์สำหรับการทดลอง



รูปที่ 4.1 อุปกรณ์และชุดทดลองระบบฟลูอิคไดเซนแบนบสั่นสะเทือน

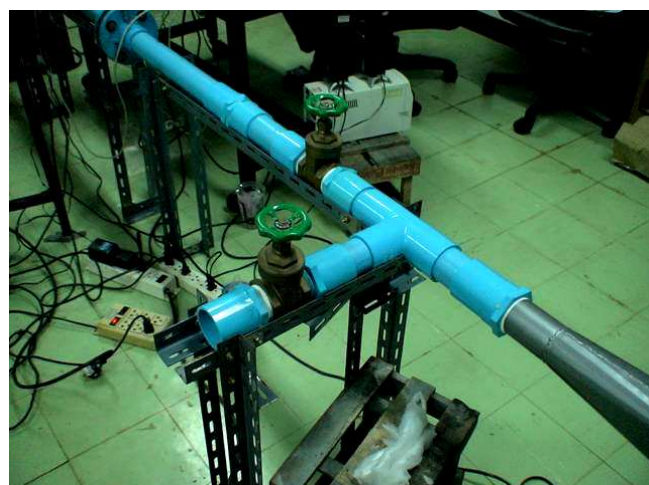
ชุดทดลองฟลูอิคไดเซนแบนบสั่นสะเทือนประกอบด้วยเครื่องมือและอุปกรณ์ต่างๆ ดังแสดงในรูปที่ 4.1 ซึ่งประกอบไปด้วย

### 4.2.1 อุปกรณ์ป้อนอากาศ (Air Blower)

อุปกรณ์ที่ใช้สำหรับป้อนอากาศให้กับการทดลองนี้คือ เครื่องเป่าอากาศขนาดกำลัง 3 แรงม้า ชนิด Centrifugal fan (Type AV-D1216) เนื่องจาก Blower ชนิดนี้เหมาะสมสำหรับใช้ในระบบแรงดันสูงและส่งวัตถุดินขนาดเล็ก นำหน้าเข้าในระบบผลิต ดังรูปที่ 4.2 และก้าวจาก Blower ถูกส่งผ่านตามท่อขนาดเส้นผ่าศูนย์กลาง 2 นิ้ว และควบคุมการไหลของอากาศโดยใช้โกลบวาล์ว (Globe valve) ดังแสดงในรูปที่ 4.3



รูปที่ 4.2 เครื่องเป่าอากาศ (Blower)



รูปที่ 4.3 วาล์วควบคุมการไหลอากาศ (Valve)

#### 4.2.2 อุปกรณ์วัดอัตราการไหลอากาศ

อุปกรณ์วัดอัตราการไหลอากาศภายในท่อขนาดเส้นผ่าศูนย์กลาง 2 นิ้วคือออริฟิชโดยใช้เซนเซอร์วัดความดันวัดความดันลด และนำค่าความดันลดที่ได้มามาคำนวณหาค่าอัตราการ

หากของอากาศด้วยสมการ ซึ่งได้จากการปรับเทียบค่าความดันลดกับความเร็วอากาศที่วัดโดยใช้อุปกรณ์วัดความเร็วอากาศ (Anemometer) ดังแสดงในรูปที่ 4.4 และ รูปที่ 4.5



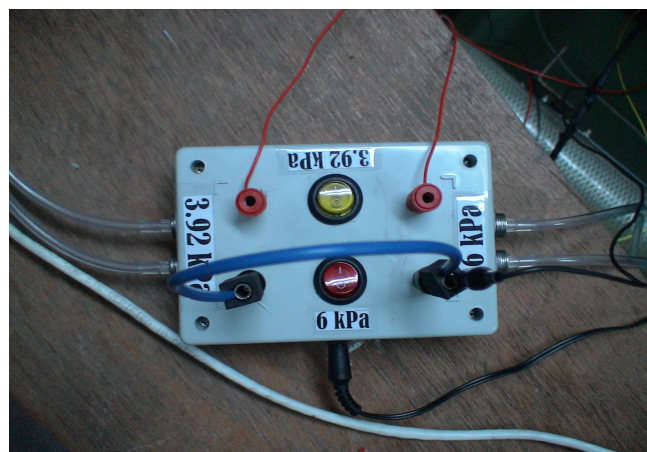
รูปที่ 4.4 ออริฟิช (Orifice)



รูปที่ 4.5 เครื่องวัดความเร็วอากาศ (Anemometer)

#### 4.2.3 อุปกรณ์วัดความดัน

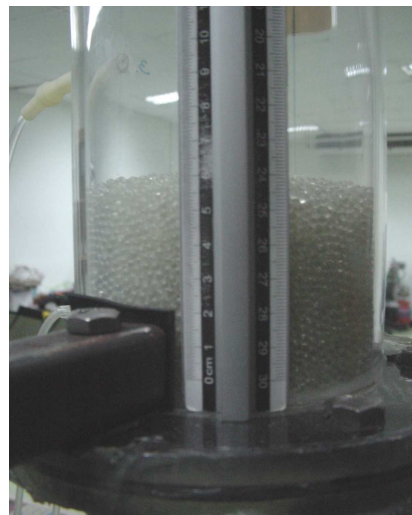
อุปกรณ์สำหรับวัดค่าความดันภายในฟลูอิດไดซ์เบดของงานวิจัยนี้ คือเซนเซอร์วัดความดัน (Pressure Sensor) โมเดล MPXV5004DP 3.92 kPa (0-400 mm H<sub>2</sub>O) 1-4.9 volt output: Free Scale ดังแสดงในรูปที่ 4.6 ซึ่งรายละเอียดของเซนเซอร์กล่าวไว้ในภาคผนวกฯ



รูปที่ 4.6 เซนเซอร์ความดัน (Pressure sensor)

#### 4.2.4 อุปกรณ์วัดความสูงของฟลูอิດไดซ์เบด (Bed Expansion)

อุปกรณ์ที่ใช้วัดค่าความสูงของฟลูอิດไดซ์เบด หรือการขยายตัวของเบดขณะทำการทดลองฟลูอิດไดซ์เบดแบบสั่นสะเทือน ประกอบด้วย สเกลไม้บรรทัดติดซึ่งติดตั้งกับฟลูอิດไดซ์เบดดังรูปที่ 4.7 และกล้องดิจิตอล (Web camera:OKER, Resolution:2.0 M pixels up to 8.0M pixels by software; 60 fps; Info noise rate 48 dB.) ที่ติดตั้งกับฟลูอิດไดซ์เบด ดังแสดงในรูปที่ 4.8



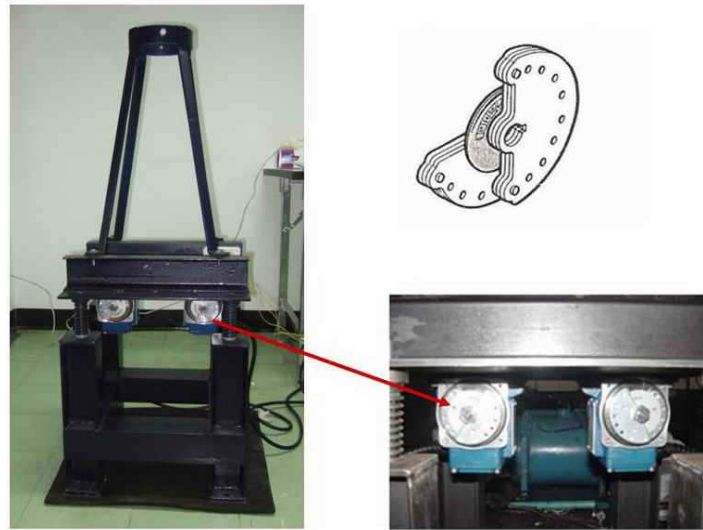
รูปที่ 4.7 สเกลไม้บรรทัด



รูปที่ 4.8 การติดตั้งกล้องดิจิตอล

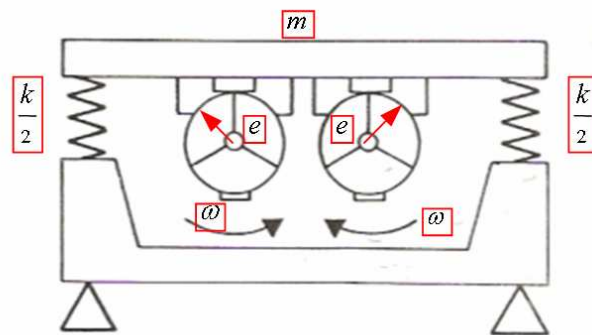
#### 4.2.5 ชุดอุปกรณ์สั่นสะเทือน (Vibration Base)

ชุดสั่นสะเทือนที่ได้ออกแบบและสร้างขึ้นมีส่วนประกอบหลักคือมอเตอร์เขียวยักษ์ OMB (Vibro-motor: TYPE BM 50/3, 2 pole: 3000 rpm, 50Hz) ดังแสดงในรูปที่ 4.9



รูปที่ 4.9 ชุดสำหรับสั่นสะเทือน

การทำงานของชุดสั่นสะเทือนสามารถอธิบายได้ด้วยสมการที่ 4.1 การสั่นสะเทือนนี้เกิดจากความไม่สมดุลของการหมุนมอเตอร์ (Rotating unbalance) แสดงในรูปที่ 4.10 เมื่อมอเตอร์เบรย่าหมุนในทิศทางตรงกันข้ามที่ความถี่ของการสั่นสะเทือนเดียวกัน แรงเนื้องจากการสั่นสะเทือนของมอเตอร์เบรย่าจะหักล่างกันในแนวโน้ม และจะเสริมกันในทิศทางบนนากับแรงโน้มถ่วงของโลก หรือแนวตั้ง จึงทำให้ชุดสั่นสะเทือนสั่นเฉพาะในแนวบนนากับแรงโน้มถ่วงโลกเพียงทิศทางเดียว และใช้อินเวอร์เตอร์ควบคุมความถี่ของมอเตอร์ สามารถปรับระดับเสียงศูนย์ของมอเตอร์ซึ่งอยู่ในช่วง 30%-90%



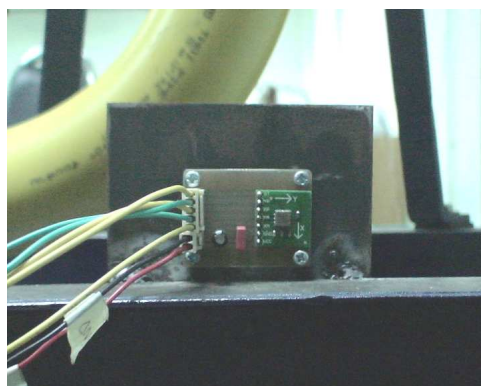
รูปที่ 4.10 Rotating Unbalance

$$m\ddot{x} + kx = (me\omega^2) \sin \omega t \quad (4.1)$$

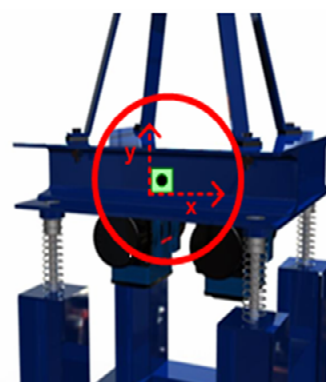
เมื่อ

$m$	คือ มวลทั้งหมด
$e$	คือ Eccentric ของมอเตอร์เบเย่า
$\omega$	คือ ความเร็วรอบของการหมุนมอเตอร์
$k$	คือ ค่า Stiffness ของสปริง

การสั่นสะเทือนของระบบถูกวัดด้วยเซนเซอร์วัดความเร่ง Analog Devices: ADXL210  $\pm 10g$  ซึ่งติดตั้งบริเวณฐานของชุดสั่นสะเทือน ดังแสดงในรูปที่ 4.11 และเซนเซอร์วัดความเร่งมีคุณสมบัติกิจกรรมค่าความเร่งการสั่นสะเทือนแบบ 2 แกน คือ แกน X และแกน Y และมีค่า Sensitivity  $X_{FILT}$ ,  $Y_{FILT}$  ที่แรงดัน 5 Volt เท่ากับ 100 mV/g



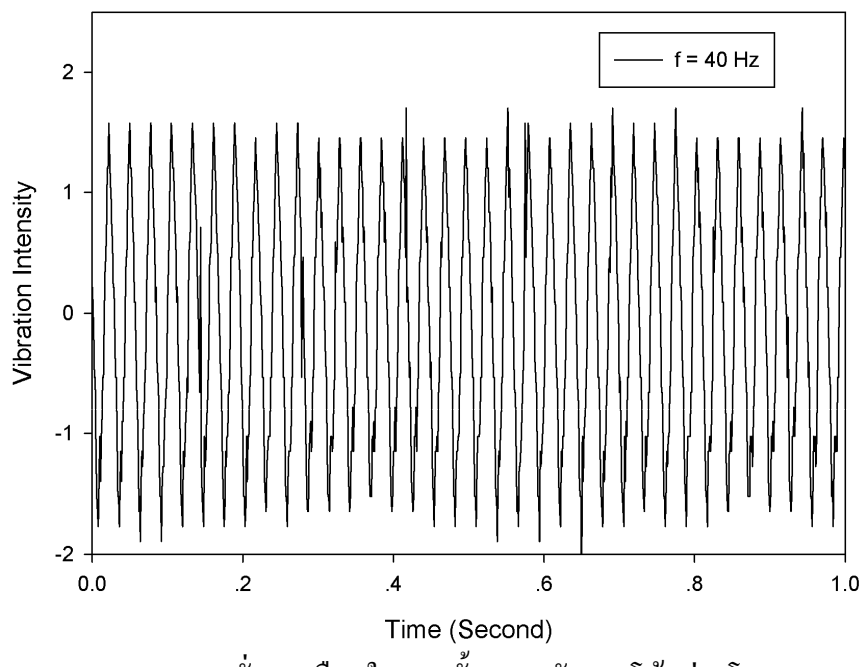
(ก) เซนเซอร์วัดความเร่ง



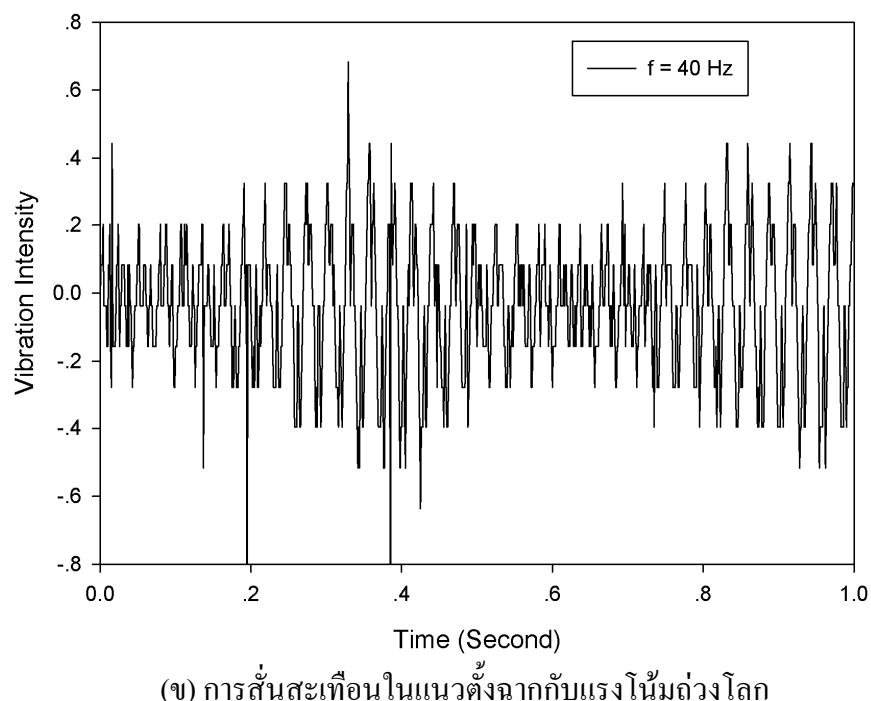
(ข) ตำแหน่งติดตั้งเซนเซอร์วัดความเร่ง

รูปที่ 4.11 การติดตั้งเซนเซอร์วัดความเร่งบริเวณ vibration base

รูปที่ 4.12 (ก) และ (ข) แสดงค่าความเร็มของการสั่นสะเทือนในแนวนานาและตั้งฉากกับแรงโน้มถ่วงโลกในกรณีความถี่เท่ากับ 40 Hz จากผลการทดลองแสดงให้เห็นว่าอุปกรณ์ที่สร้างขึ้นมีค่าความเร็มของการสั่นสะเทือนในแนวตั้งฉากกับแรงโน้มถ่วงโลกน้อยมากเมื่อเทียบกับแนวนานาและแรงโน้มถ่วงโลก ดังนั้นจึงสามารถตัดผลของการสั่นในแนวตั้งจากกับแรงโน้มถ่วงโลกหรือมีการสั่นในแนวนานา กับแรงโน้มถ่วงโลกเท่านั้น



(ก) การสั่นสะเทือนในแนวตั้งขนานกับแรงโน้มถ่วงโลก



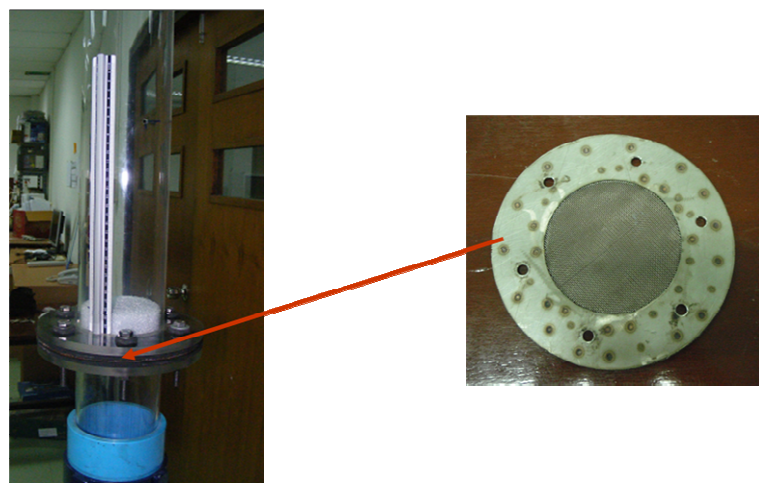
(ก) การสั่นสะเทือนในแนวตั้งจากกับแรงโน้มถ่วงโลก

รูปที่ 4.12 ผลการทดสอบชุดสั่นสะเทือน

#### 4.2.6 ฟลูอิດไไดซ์เบดคอลัมน์ (Fluidized Bed Column)

ฟลูอิດไไดซ์เบดคอลัมน์แสดงในรูป 4.13 เป็นท่ออะคริลิก (Acrylic) ใส ทรงกระบอกมีขนาดเส้นผ่าศูนย์กลางท่อ 0.10 เมตร สูง 1 เมตร โดยมีแผ่นกระจายอากาศติดบริเวณด้านล่างของท่อ และสเกลไม้บรรทัดติดบริเวณด้านข้างของท่ออะคริลิก

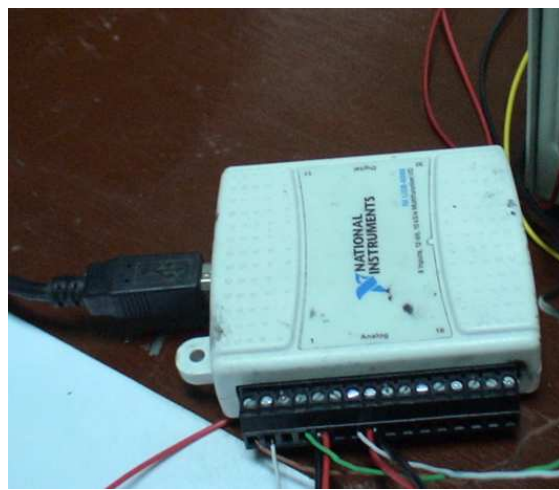
แผ่นกระจายที่ใช้สำหรับรองรับเม็ดอนุภาคแก้วภายในเบดคอลัมน์เป็นแผ่นตะแกรงสเตนเลสสำเร็จรูปที่มีลักษณะเป็นรูกลม ขนาดของรูบนแผ่นกระจายมีขนาดเส้นผ่านศูนย์กลาง 1 มม.



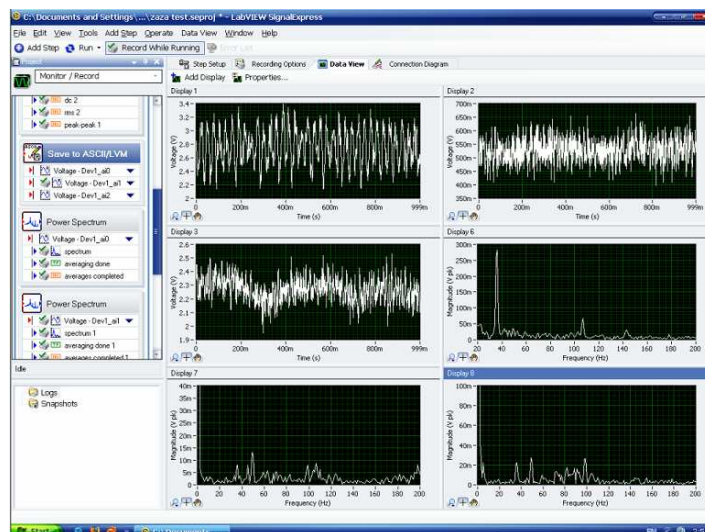
รูปที่ 4.13 ฟลูอิດไไดซ์เบดคอลัมน์ (Fluidized Bed Column)

#### 4.2.7 การบันทึกผลการทดลอง (Data Acquisitions System)

ผลการทดลองซึ่งประกอบด้วย ค่าความดันภายในเบด ค่าการสั่นสะเทือนของฟลูอิດไไดซ์เบด ถูกบันทึกผ่านคอมพิวเตอร์โดยใช้ USB DAQ 6008 National Instrument (8 analog inputs (12-bit, 10 kS/s; 2 analog outputs (12-bit, 150 S/s); 12 digital I/O; 32-bit counter) ดังรูปที่ 4.14 ร่วมกับโปรแกรม LabView: Signal Express 3.0 (รูปที่ 4.15)



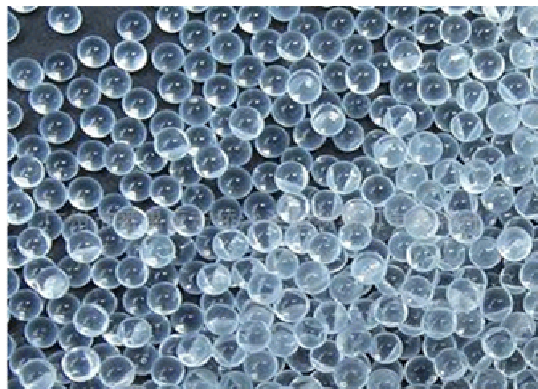
รูปที่ 4.14 USB DAQ 6008: National Instrument



รูปที่ 4.15 โปรแกรม Lab View: Signal Express 3.0

### 4.3 วัสดุสำหรับการทดลอง

วัสดุที่ใช้ทดลองคือ อนุภาคแก้ว (Glass Beads) ทรงกลมขนาดเส้นผ่าศูนย์กลาง 2 มม. ความหนาแน่น  $2570 \text{ kg/m}^3$  จำนวน 1 kg. และขนาดเส้นผ่าศูนย์กลาง 3 มม. ความหนาแน่น  $2600 \text{ kg/m}^3$  จำนวน 1 kg. ดังแสดงในรูปที่ 4.16



รูปที่ 4.16 เม็ดอนุภาคแก้ว (Glass beads)

#### 4.4 วิธีการทดลอง

ขั้นตอนการทดลองฟลูอิดไดเซบดแบบสั่นสะเทือนประกอบไปด้วย

1. บรรจุเม็ดอนุภาคแก้วขนาดเส้นผ่านศูนย์กลางประมาณ 2 มม. ความหนาแน่น 2570  $\text{kg/m}^3$  มวล 1 kg. ลงในหอทดลอง
2. เปิดสวิตช์ให้ Blower ทำงาน ปรับอัตราการ ไหหลังก้าชด้วยวาร์ล์ บันทึกค่าความดันลดคร่อมออริฟิซและความสูงของเบด
3. เปิดสวิตช์ให้มอเตอร์เรียบ (vibro-motor) ทำงาน ปรับความถี่ของการสั่นสะเทือนด้วย อินเวอร์เตอร์ที่ 35 Hz บันทึกค่าความเร่งของการสั่นสะเทือนและความดันลดคร่อมเบด
4. ปรับเพิ่มอัตราการ ไหหลังก้าชจนกระทั้งเกิดฟลูอิดไดเซชัน แล้วให้เพิ่มความเร็ว ก้าช อีกประมาณ 5 ค่า โดยบันทึกค่าความดันลดคร่อมออริฟิซและความสูงของเบดทุกรั้ง ที่ปรับเพิ่มอัตราการ ไห
5. ทำการทดลองข้อ 3 และ 4 โดยปรับเพิ่มความถี่เป็น 40 Hz และ 45 Hz
6. ทำการทดลองทั้งหมดโดยปรับเพิ่มระยะเยื่องศูนย์ของมอเตอร์เรียบ
7. ทำการทดลองอีกครั้งโดยเปลี่ยนเม็ดอนุภาคเป็นขนาดเส้นผ่านศูนย์กลางประมาณ 3 mm. ความหนาแน่น 2600  $\text{kg/m}^3$

ตัวแปรที่สำคัญจากการทดลองของงานวิจัยนี้ คือ ค่าความเร็วต่ำสุดของการเกิดฟลูอิดไดเซชัน ความดันลดคร่อมเบด และค่าสัดส่วนช่องว่างขณะเกิดฟลูอิดไดเซชัน โดยนำค่าที่ได้จากการทดลองมาวิเคราะห์ผลของการสั่นสะเทือนที่มีต่อการเกิดฟลูอิดไดเซชัน และนำผลการทดลองมาเปรียบเทียบผลจากการคำนวณด้วยสมการทางคณิตศาสตร์ (สมการที่ 3.23 ในบทที่ 3) สำหรับหาค่าความเร็วต่ำสุดของการเกิดฟลูอิดไดเซชัน

## บทที่ 5

### ผลการวิจัยและการวิจารณ์ผล

งานวิจัยนี้มีวัตถุประสงค์เพื่อศึกษาอิทธิพลของการสั่นสะเทือนที่มีต่อกระบวนการเกิดฟลูอิดไดเซชันสำหรับฟลูอิดไดเซชันแบบสั่นสะเทือน โดยตัวแปรของ การสั่นสะเทือนที่ทำการศึกษาได้แก่ ความถี่ของการสั่นสะเทือน และแอมพลิจูดของการสั่นสะเทือนที่มีผลต่อค่าความเร็วต่ำสุดของการเกิดฟลูอิดไดเซชัน สัดส่วนซึ่งว่างภายในฟลูอิดไดเซชัน

#### 5.1 การทดลองฟลูอิดไดเซชันแบบสั่นสะเทือน

การทดลองระบบฟลูอิดไดเซชันแบบสั่นมีวัตถุประสงค์เพื่อศึกษาอิทธิพลของตัวแปรต่างๆ ที่มีผลต่อการเกิดฟลูอิดไดเซชัน โดยกำหนดให้การสั่นสะเทือนเป็นแบบการสั่นสะเทือนเชิงกลในแนวนาน กับแรงโน้มถ่วงของโลก อนุภาคแก้วที่ใช้ในการทดลอง มีขนาดเส้นผ่าศูนย์กลาง 2 mm. และ 3 mm. โดยทำการบันทึกค่าความเร็วอากาศ ความดันลดคร่อมเบด และค่าความร่างของ การสั่นสะเทือน ค่าแอมพลิจูดของการสั่นสะเทือนถูกปรับด้วยการปรับระยะเบื้องศูนย์ของ มอเตอร์เขีย่ ค่าความถี่ของการสั่นสะเทือนที่ใช้ในการทดลอง คือ 35 Hz 40 Hz และ 45 Hz

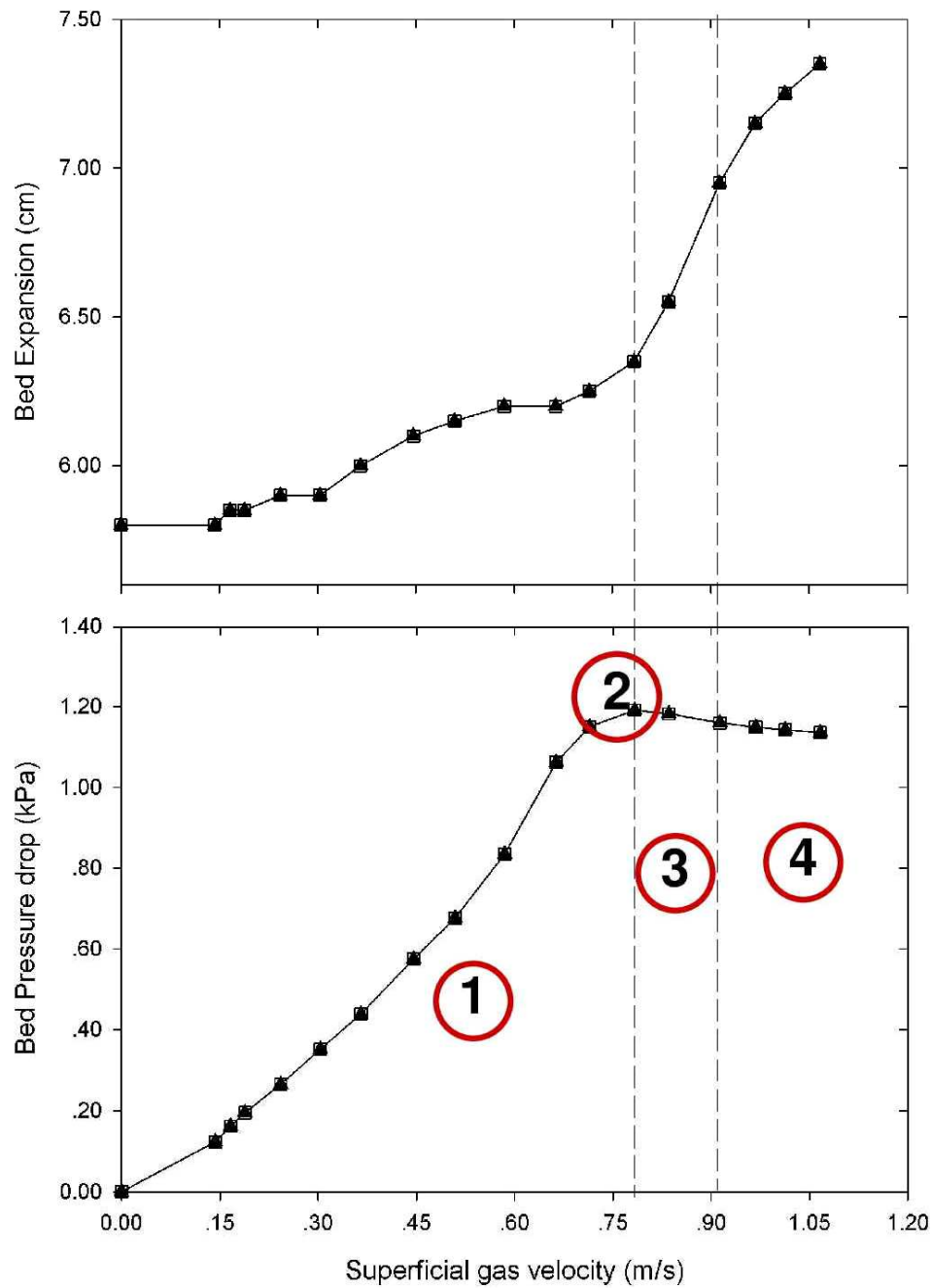
จากผลการทดลองเพื่อศึกษาปรากฏการณ์ของการเกิดฟลูอิดไดเซชันแบบสั่นสะเทือนสามารถวิเคราะห์ตัวแปรที่มีผลต่อสภาวะการเกิดฟลูอิดไดเซชันแบบสั่นสะเทือนได้ดังนี้

1. ผลของการสั่นสะเทือนประกอบด้วย ความถี่ และแอมพลิจูดของการสั่นสะเทือนที่มีต่อความเร็วต่ำสุดของการเกิดฟลูอิดไดเซชัน
2. ผลของการสั่นสะเทือนประกอบด้วย ความถี่ และแอมพลิจูดของการสั่นสะเทือนที่มีต่อสัดส่วนซึ่งว่างภายในเบด

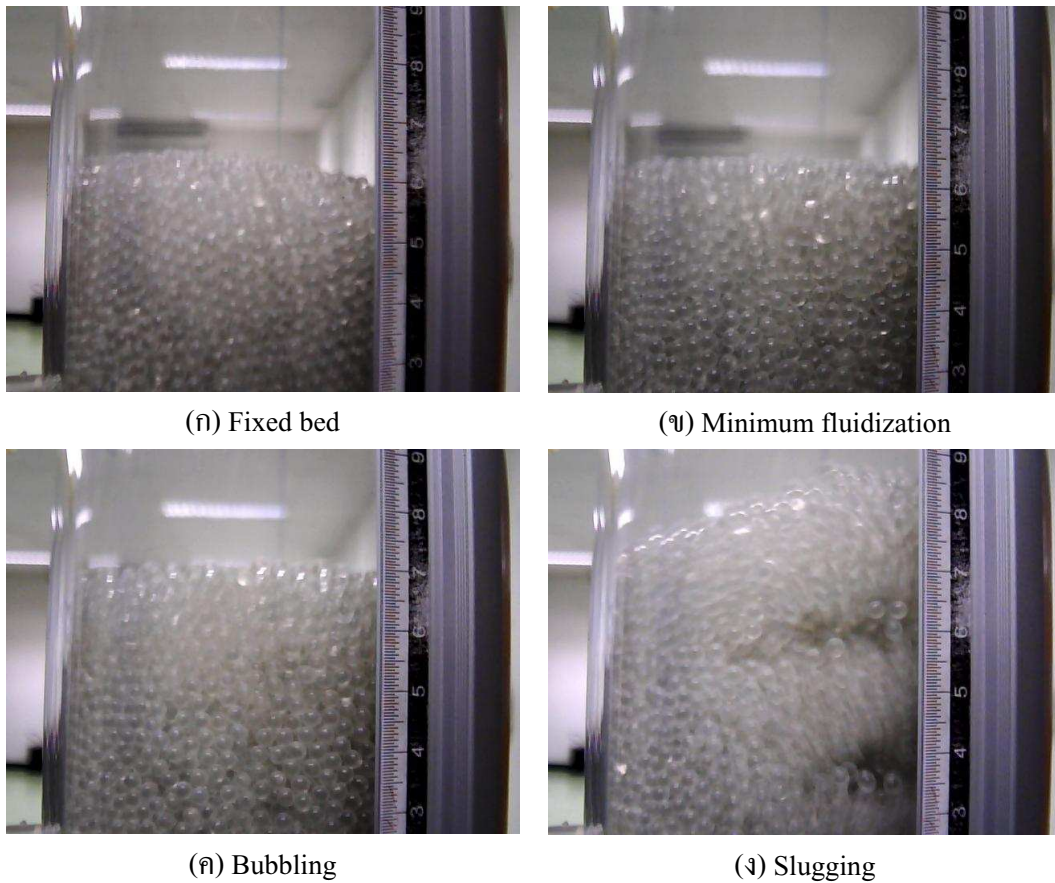
3. ผลกระทบของอนุภาคที่มีต่อการเกิดฟลูอิดไคลเซชันสำหรับฟลูอิดไคลซ์เบดแบบสั่น
4. การเปรียบเทียบผลการทดลองฟลูอิดไคลซ์เบดแบบสั่นสะเทือนและผลจากการคำนวณด้วยสมการทางคณิตศาสตร์ที่ได้พัฒนาขึ้นของงานวิจัยนี้

### **5.1.1 ลักษณะของฟลูอิดไคลซ์เบดแบบสั่น**

ลักษณะของการเกิดฟลูอิดไคลเซชันแบบสั่นสะเทือนสามารถอธิบายโดยภารกุารณ์เกิดฟลูอิดไคลเซชันแบบสั่นสะเทือนซึ่งได้จากการทดลองดังรูปที่ 5.1 สามารถแบ่งลักษณะหรือภารกุารณ์ของฟลูอิดไคลเซชันสำหรับฟลูอิดไคลซ์เบดแบบสั่นสะเทือน ออกเป็น 4 ลักษณะดังนี้ คือ ช่วงแรกเมื่อทำการเพิ่มความเร็ว ก้าช ความดันลดคร่อมเบดจะมีค่าเพิ่มสูงขึ้นตามความเร็ว และผลจากการสั่นสะเทือนของเบดทำให้ออนุภาคเก้ากวายในเบดมีการเคลื่อนที่ตลอดเวลา และขับขิดติดกัน ทำให้เบดมีลักษณะอัดแน่นขึ้นซึ่งทำให้ช่องว่างภายในเบดลดลง และการเปลี่ยนแปลงความสูงของเบด เมื่อเพิ่มความเร็ว ก้าช ในช่วงแรกจนน้ำพบร่วมกับการเปลี่ยนแปลงความสูงเบดของไน์ม่าก นัก ดังรูปที่ 5.2 (ก) ช่วงที่สอง เมื่อปรับเพิ่มความเร็ว ก้าช จนถึงระดับหนึ่งสัมเกต ได้ว่าเบดภายในไก์การสั่นสะเทือนจะมีลักษณะคล้ายกับของเหลวกำลังเดือด อันุภาคเก้ากวามีการเคลื่อนที่ แยกห่างออกจากกัน ค่าความดันลดคร่อมเบดเริ่มคงที่ ซึ่งจุดนี้จะเป็นจุดที่เริ่มเกิดฟลูอิดไคลเซชัน (Minimum fluidization velocity) ของฟลูอิดไคลซ์เบดแบบสั่นสะเทือน ดังรูปที่ 5.2(ข) และช่วงที่สาม เมื่อมีการเพิ่มความเร็ว ก้าช ขึ้นเล็กน้อยลักษณะของเบดจะมีการเกิดฟอง ก้าช เล็กๆ กระจายอยู่บริเวณด้านล่างของเบด และจะเกิดเป็นฟอง ก้าช ขนาดใหญ่ เมื่อลอยสู่ด้านบนของเบดหรือผิวน้ำของเบด จุดนี้จะเรียกว่า Bubbling bed ดังรูปที่ 5.2 (ค) และช่วงที่สี่ เมื่อทำการเพิ่มความเร็ว ก้าช อีกพบว่า ลักษณะภายในเบดจะมีฟอง ก้าช ขนาดใหญ่ เกิดขึ้น และความดันลดคร่อมเบดเริ่มลดลง เบดลักษณะนี้เรียกว่า Slugging ดังรูปที่ 5.2 (ง) และเมื่อเพิ่มความเร็ว ก้าช ต่อไปเรื่อยๆ พนว่าเบดจะมีลักษณะปั่นป่วนเกิดซ่องว่างขนาดใหญ่ กายในเบด อันุภาคเก้ากวามีการกระจายตัวน้อยลงและความดันลดคร่อมเบดเริ่มลดลงเรื่อยๆ



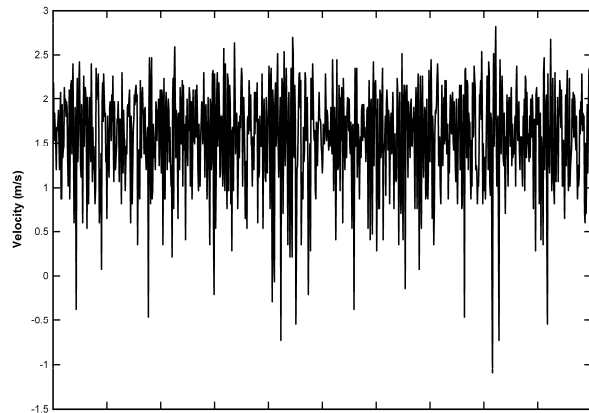
รูปที่ 5.1 ลักษณะการเกิดฟлюอิด ไดเซ็นสำหรับฟлюอิด ไดซ์เบดแบบสั่นสะเทือน



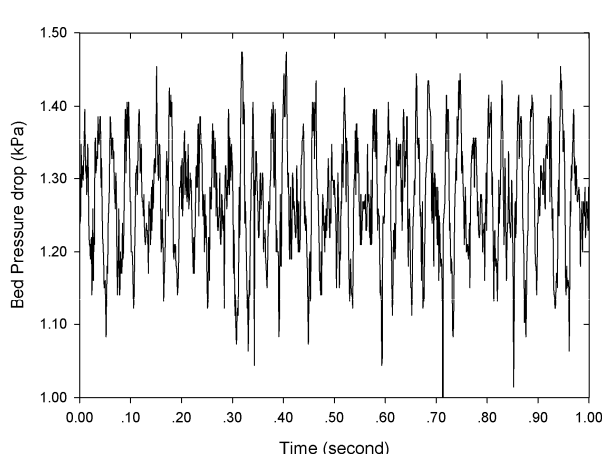
รูปที่ 5.2 ปรากฏการณ์ของฟลูอิด ไดซ์เบดแบบสั่นสะเทือน

### 5.1.2 การหาค่าความเร็วต่ำสุดของการเกิดฟลูอิดไดเซชัน ( $u_{mf}$ )

ค่าความเร็วต่ำสุดของการเกิดฟลูอิด ไดเซชัน คือค่าความเร็วของของไหหลังที่ทำให้อนุภาคแก้วภายในเบดเริ่มขยับตัวหรือจัดเรียงตัว ในขณะเดียวกันค่าความดันลดคร่อมเบดเริ่มคงที่จากการทดลองฟลูอิด ไดซ์เบดแบบสั่นสะเทือนสามารถหาค่าความเร็วต่ำสุดของการเกิดฟลูอิด ไดเซชันได้จากการฟื้นฟูความสัมพันธ์ระหว่างค่าความเร็วของของไหหลังกับค่าความดันลดคร่อมเบด โดยค่าความเร็วของของไหหลังและความดันลดคร่อมเบดจะถูกบันทึกเทียบกับเวลา ดังรูปที่ 5.3 (ก) และ (ข) โดยรูปที่ 5.3 (ก) แสดงค่าความเร็วของก้าวป้อนซึ่งวัดค่าด้วยเซนเซอร์ และกราฟในรูปที่ 5.3 (ข) แสดงค่าความดันลดคร่อมเบด



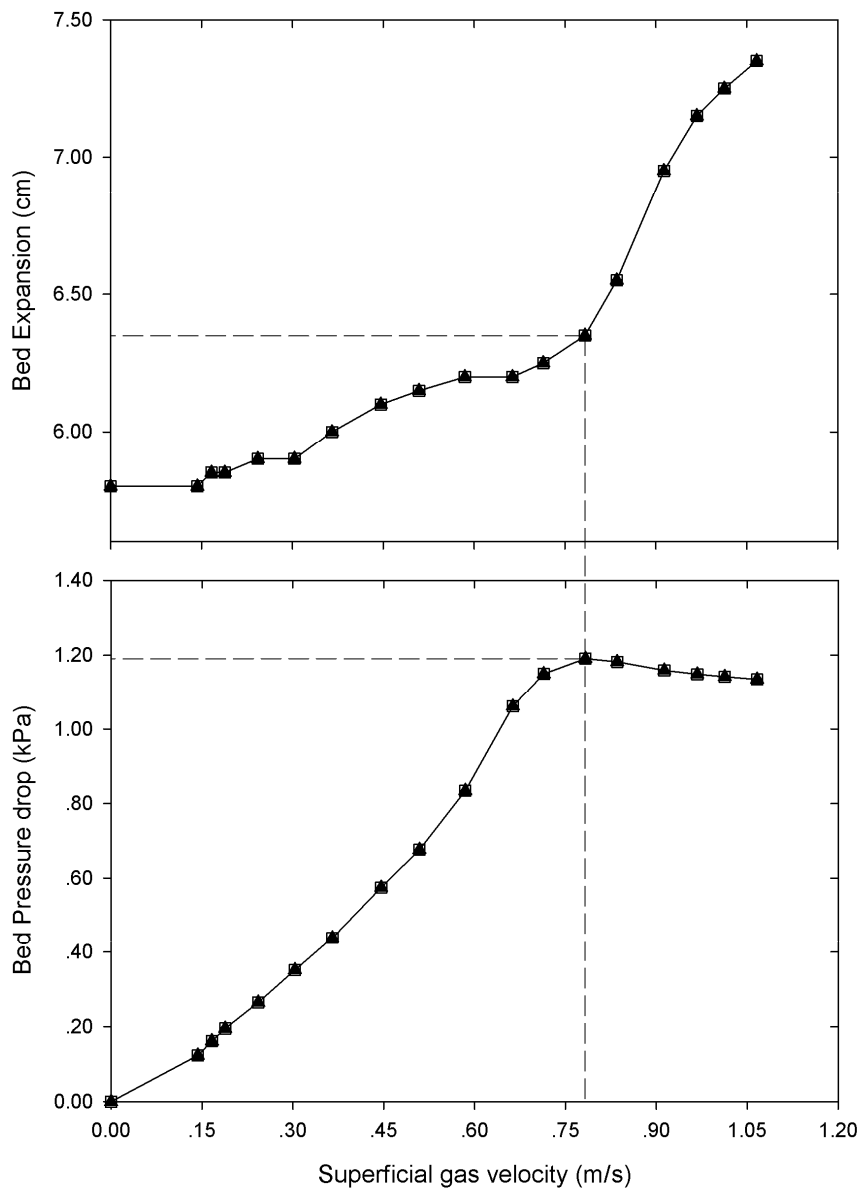
(η)



(ψ)

รูปที่ 5.3 (η) ความเร็วแก๊สปื้น และ (ψ) ความดันลดคร่อมเบด  
(กรณีอนุภาคขนาดเส้นผ่าศูนย์กลาง 2 มม. ที่ความถี่ 35 Hz)

จากรูปที่ 5.3 (η) และ (ψ) เฉลี่ยค่าความเร็วของแก๊สปื้นและค่าความดันลดคร่อมเบดในช่วงเวลาที่บันทึกเพื่อหาค่าความเร็วแก๊สปื้นเฉลี่ยและค่าความดันลดคร่อมเบดเฉลี่ยในช่วงเวลานั้น นำค่าที่ได้จากการเฉลี่ยมาเขียนกราฟแสดงความสัมพันธ์ระหว่างความเร็วแก๊สปื้นและความดันลดคร่อมเบด ดังแสดงในรูปที่ 5.4



รูปที่ 5.4 ความเร็วแก๊สป้อนกับความดันลดคร่อมเบด  
(กรณีของอนุภาคขนาดเส้นผ่านศูนย์กลาง 3 มม.)

รูปที่ 5.4 แสดงความสัมพันธ์ระหว่างความเร็วแก๊สป้อนกับความดันลดคร่อมเบด และความเร็วแก๊สป้อนและความสูงของเบด การหาจุดเริ่มเกิดฟลูอิด ไดเซ็นสำหรับฟลูอิด ไดซ์เบด แบบดั้นสะเทือนในงานวิจัยนี้จะพิจารณาผลของความดันลดคร่อมเบดเป็นหลัก และเลือกจุดที่ค่าความดันมีค่าสูงสุดเป็นจุดที่เริ่มเกิดฟลูอิด ไดเซ็น เมื่อลากเส้นตรงจากจุดที่เริ่มเกิดฟลูอิด ไดเซ็น

ตั้งจากกับแกนของความเร็ว ก้าชป้อน (เส้นประที่แสดงในรูป 5.4) และตัดกับกราฟความสูงเบด จะทำให้ได้ตำแหน่งของค่าความเร็วต่ำสุดและค่าความสูงเบดของการเกิดฟลูอิดได้เช่นสำหรับฟลูอิดไดซ์เบดแบบสั่นสะเทือน

## 5.2 การวิเคราะห์ผลของการสั่นสะเทือนที่มีต่อกระบวนการฟลูอิดไดเซชัน

ฟลูอิดไดซ์เบดแบบสั่นสะเทือนจะมีคุณลักษณะเปลี่ยนแปลงไปตามปัจจัยต่างๆ เช่น ขนาดของอนุภาค ความเร็ว ก้าช ความถี่ของการสั่นสะเทือน และแอนพลิจูด โดยการวิเคราะห์ของงานวิจัยนี้ประกอบด้วยหัวข้อต่อไปนี้

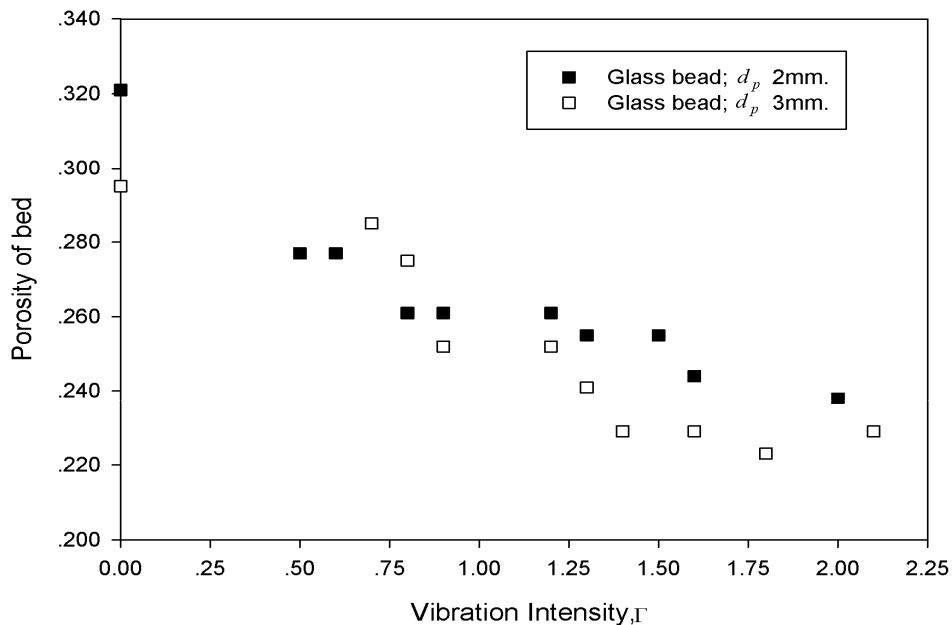
### 5.2.1 อิทธิพลของการสั่นสะเทือนที่มีต่อสัดส่วนช่องว่างภายในเบด ( $\varepsilon_{mf}$ )

สำหรับอนุภาคภายในเบดไม่ว่าจะเป็นอนุภาคชนิดใดก็ตาม ย่อมมีช่องว่างของของไหลดอยู่ภายในเบดเสมอ โดยที่น้อยกว่ากับขนาดและชนิดของอนุภาค สัดส่วนช่องว่างสามารถเปลี่ยนแปลงได้ตลอดเวลาและขึ้นกับความเร็ว ก้าชป้อน ความเข้มของการสั่นสะเทือน ความหนาแน่นของอนุภาคแก้ว สำหรับงานวิจัยนี้ ไหอนุภาคแก้วขนาดเส้นผ่านศูนย์กลาง 2 มม. ความหนาแน่น  $2570 \text{ kg/m}^3$  และอนุภาคแก้วขนาดเส้นผ่านศูนย์กลาง 3 มม. ความหนาแน่น  $2600 \text{ kg/m}^3$

จากการทดลองพบว่าสัดส่วนช่องว่างภายในเบดที่มีค่าลดลงเมื่อมีการสั่นสะเทือนของเบดทั้งในกรณีที่อนุภาคมีขนาดเส้นผ่านศูนย์กลาง 2 มม. และ 3 มม. ดังแสดงในรูปที่ 5.5 จากกราฟแสดงให้เห็นว่าเมื่อค่าความเข้มของการสั่นสะเทือนมีค่าเพิ่มขึ้นสัดส่วนช่องว่างจะมีค่าลดลงเนื่องจากเบดรับแรงสั่นสะเทือนทำให้เม็ดอนุภาคอัดตัวกันแน่นขึ้น ส่งผลให้ความสูงของเบดลดลงซึ่งสอดคล้องกับผลงานวิจัยของ Tatemoto และคณะ [16] และ Mawatari และคณะ [19] ที่สรุปว่า การสั่นสะเทือนสามารถทำให้สัดส่วนช่องว่างภายในเบดมีค่าลดลงเมื่อเปรียบเทียบกับการทดลองฟลูอิดไดเซชันในกรณีที่ไม่มีการสั่นสะเทือนของเบด

เมื่อเปรียบเทียบผลของขนาดอนุภาคที่มีต่อค่าสัดส่วนช่องว่างขณะเกิดฟลูอิดไดเซชันดังแสดงในรูปที่ 5.5 พบว่า เมื่อขนาดของอนุภาคแก้วเพิ่มขึ้น ค่าสัดส่วนช่องว่างขณะเกิดฟลูอิดไดเซชันมีค่าลดลง เนื่องจากความหนาแน่นของอนุภาคแก้วขนาดเส้นผ่านศูนย์กลาง 3 มม. มีค่ามากกว่าของอนุภาคแก้วขนาดเส้นผ่านศูนย์กลาง 2 มม. ดังสมการที่ 2.1 (ในบทที่ 2) แสดงให้เห็นว่า

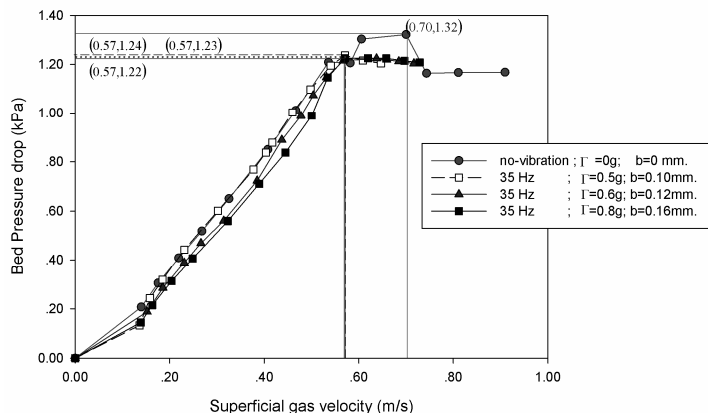
ความหนาแน่นอนุภาคมีผลต่อค่าสัดส่วนช่องว่างภายในเบด เมื่อการทดลองกำหนดให้มวลของอนุภาคแก้วมีค่าเท่ากับ 1 kg.



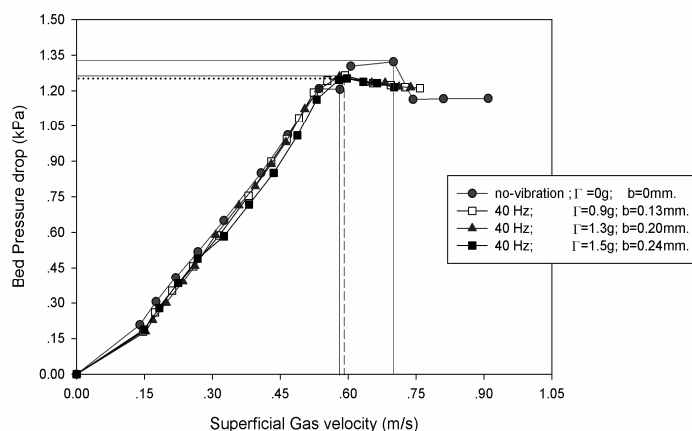
รูปที่ 5.5 ผลความเข้มของการสั่นสะเทือน ( $\Gamma$ ) ต่อค่าสัดส่วนช่องว่างภายในเบด ( $\varepsilon_{mf}$ )  
ขณะเกิดฟลูอิด ไดเซ็น

### 5.2.2 อิทธิพลของการสั่นสะเทือนที่มีต่อความดันลดคร่อมเบด ( $\Delta P_{mf}$ )

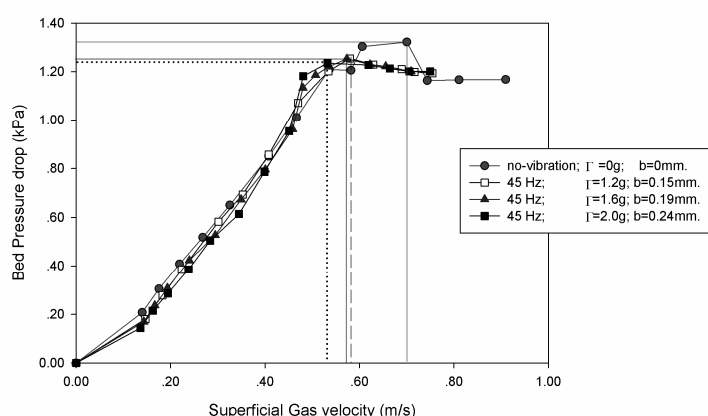
จากรูปที่ 5.6 และ 5.7 แสดงความสัมพันธ์ระหว่างค่าความเร็วอากาศและความดันลดคร่อมเบดที่ความถี่ของการสั่นสะเทือน 35 Hz 40 Hz 45Hz และกรณีที่ไม่มีการสั่นสะเทือนของเบด เมื่อเปรียบเทียบความดันลดคร่อมเบดที่ความถี่ของการสั่นสะเทือนเดียวกัน พบว่าเมื่อค่าความเข้มการสั่นสะเทือนหรือแอนพลิจูดการสั่นสะเทือนเพิ่มขึ้น ความดันลดคร่อมเบดขณะเกิดฟลูอิดไดเซ็นมีค่าลดลง และมีค่าน้อยกว่ากรณีที่ไม่มีการสั่นเบด เนื่องจากการสั่นสะเทือนมีส่วนช่วยให้อนุภาคแก้วภายในเบดเคลื่อนที่แยกจากกันตลอดเวลา จัดเรียงตัวเป็นระเบียน และอากาศสามารถผ่านเบดได้ง่ายกว่ากรณีที่ไม่มีการสั่นสะเทือนของเบด จึงทำให้ค่าความดันลดขณะเกิดฟลูอิดไดเซ็นลดลง



(n)

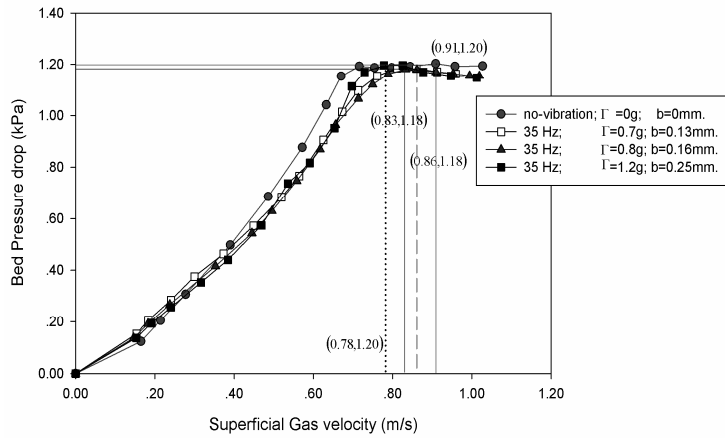


(u)

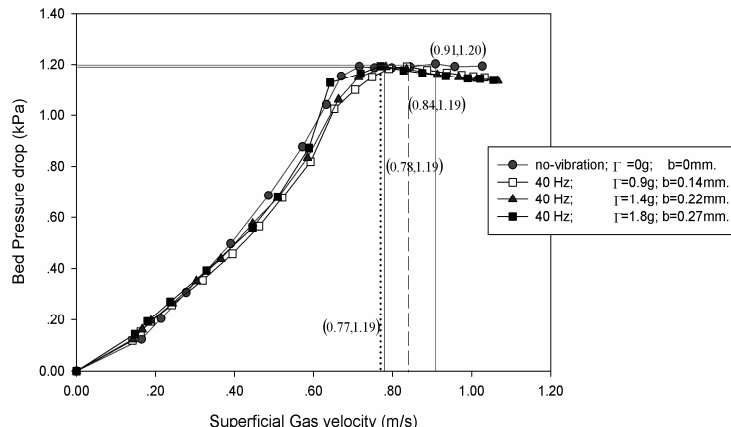


(k)

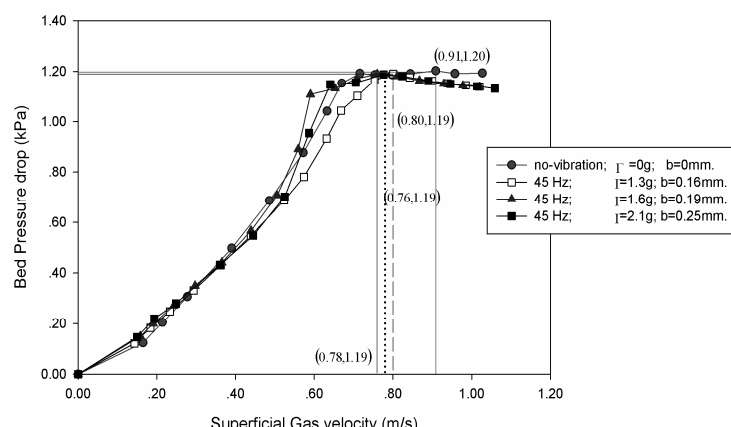
รูปที่ 5.6 ความสัมพันธ์ระหว่างความเร็วแก๊สและความดันลดคร่อมเบด กรณีการสั่นสะเทือนของเบดที่ (n) 35 Hz (u) 40 Hz (k) 45Hz สำหรับอนุภาคแก้วขนาดเส้นผ่าศูนย์กลาง 2 มม.



(n)



(u)

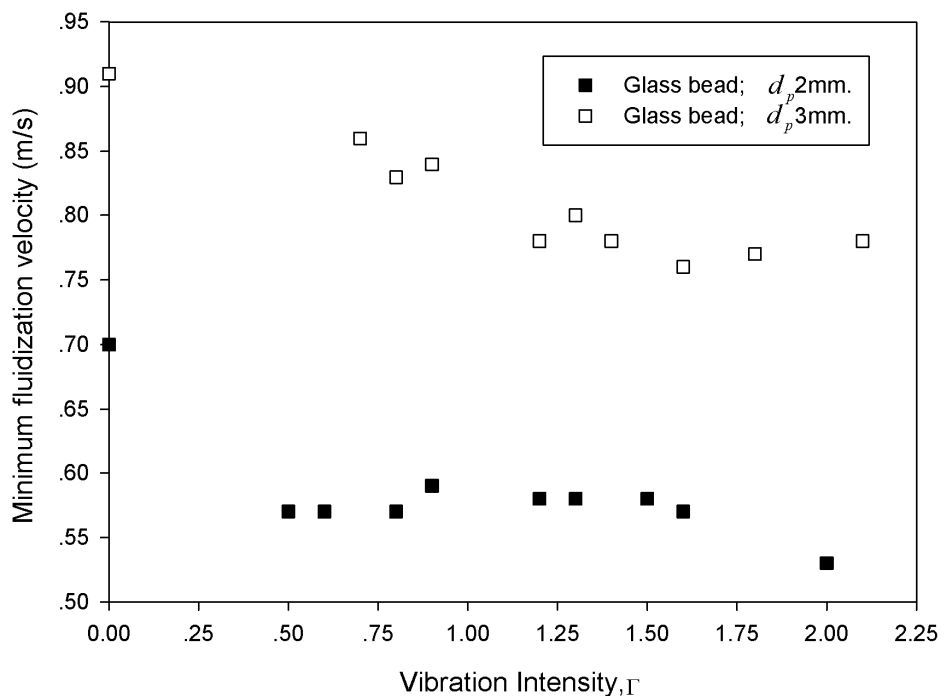


รูปที่ 5.7 ความสัมพันธ์ระหว่างความเร็วแก๊สและความคันลดคร้อมเบด กรณีการสั่นสะเทือนของ เบดที่ (ก) 35 Hz (ข) 40 Hz (ค) 45 Hz สำหรับอนุภาคขนาดเส้นผ่าศูนย์กลาง 3 มม.

### 5.2.3 อิทธิพลของการสั่นสะเทือนที่มีต่อค่าความเร็วต่ำสุดของการเกิดฟลูอิดไดเชชัน ( $u_{mf}$ )

ผลความเข้มของการสั่นสะเทือนต่อค่าความเร็วต่ำสุดของการเกิดฟลูอิดไดเชชันแสดงในรูปที่ 5.8 พบว่าความเร็วต่ำสุดของการเกิดฟลูอิดไดเชชันมีค่าน้อยกว่าฟลูอิดไดเบดซ์แบบไม่มีการสั่นสะเทือน และมีค่าลดลงเมื่อค่าความเข้มของการสั่นสะเทือนมีค่าเพิ่มขึ้น เนื่องจากฟลูอิดไดเชชันเกิดเมื่อน้ำหนักของอนุภาคมีค่าเท่ากับแรงพยุงจากของไหหล (แรงเสียดทานรวมกับแรงต้านไหหล) เมื่อมีการสั่นสะเทือนทำให้อนุภาคเกลี้ยงไหในเบดอัดแน่นขึ้นส่งผลให้ของแข็งลอยໄດ้ง่ายขึ้นหรือแรงพยุงจากของไหลดลง ความเร็วต่ำสุดของการเกิดฟลูอิดไดเชชันจึงลดลงและเกิดฟลูอิดไดเชชันได้เร็วขึ้นเมื่อความเข้มของการสั่นสะเทือนมีค่าเพิ่มขึ้น

ผลที่ได้นี้สอดคล้องกับงานวิจัยศึกษาและทดลองด้วยอนุภาคขนาดเล็กมาก (Geldart group A และ C) ที่ผ่านมา [16] [19] คือ เมื่อความเข้มของการสั่นสะเทือนมีค่ามากกว่า 1 ค่าความเร็วต่ำสุดจะมีค่าไม่แตกต่างกันมากนัก การเคลื่อนที่ของอนุภาคจะขึ้นอยู่กับการสั่นสะเทือนเป็นสำคัญ



รูปที่ 5.8 ผลความเข้มของการสั่นสะเทือนต่อค่าความเร็วต่ำสุดของการเกิดฟลูอิดไดเชชัน

### 5.3 การเปรียบเทียบผลการคำนวณด้วยสมการทางคณิตศาสตร์และผลการทดลอง

สำหรับในหัวข้อนี้เป็นการเปรียบเทียบผลการคำนวณทางคณิตศาสตร์โดยใช้สมการที่ได้พัฒนาขึ้นซึ่งกล่าวไว้ในบทที่ 3 กับผลการทดลองเพื่อพิสูจน์ความถูกต้องของสมการ

ค่าความเร็วต่ำสุดของการเกิดฟลูอิด ได้เชิงแบบสั่นๆ ได้จากสมการที่ 3.23 ซึ่งประกอบด้วยเทอมของตัวแปรสามเทอมคือ เทอมแรกเป็นเทอมของ Exponential ซึ่งไม่นำมาพิจารณา เทอมที่สองเป็นเทอม Complex ของผลเฉลย ซึ่งอาจเขียนในรูปของ Sin หรือ Cos และเทอมที่สามเป็นเทอมของค่าคงที่ที่ไม่ขึ้นกับเวลา

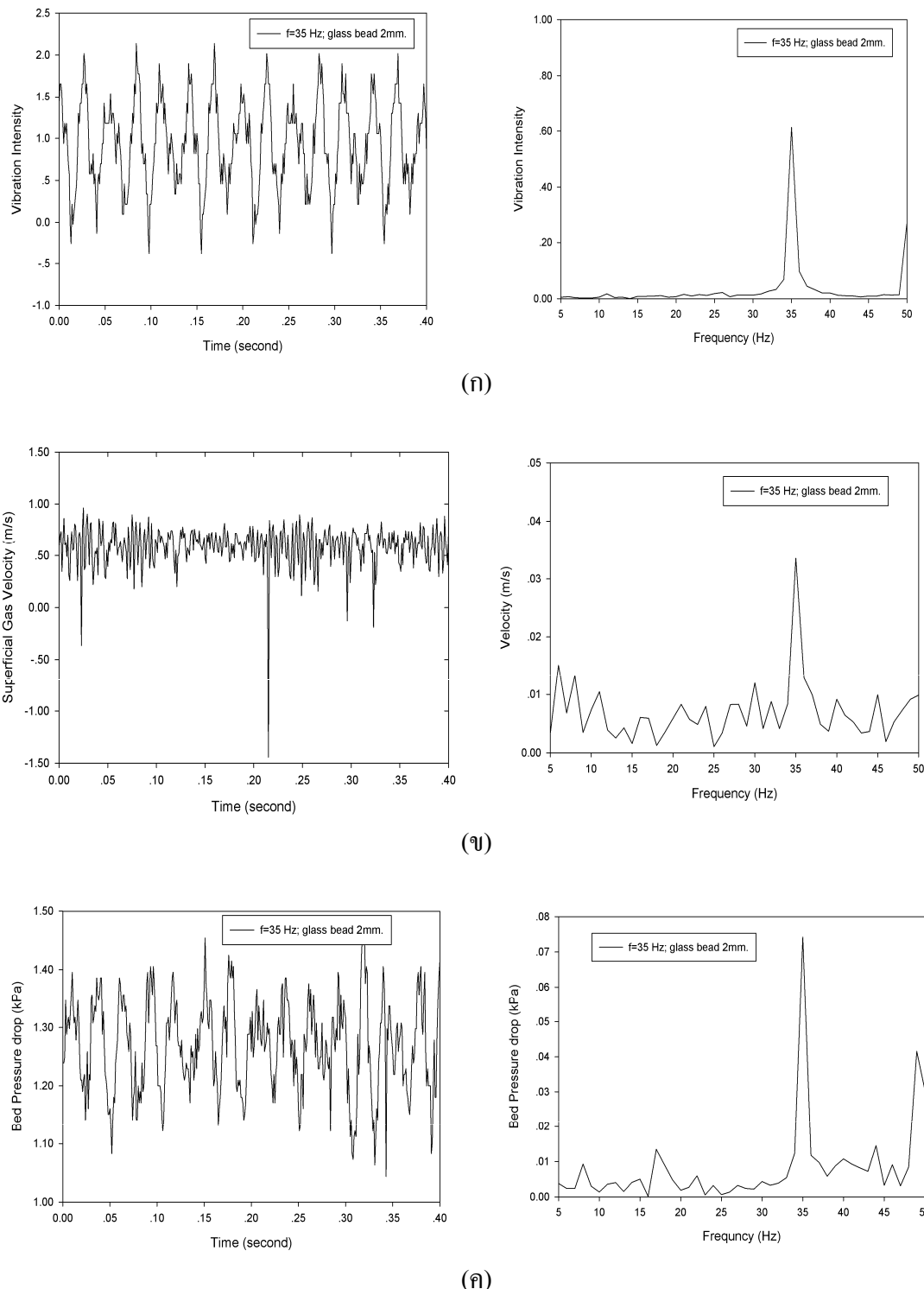
พิจารณาเทอมที่สองของสมการ 3.23 จะเห็นว่าความเร็วของของไอลเป็นฟังก์ชันกับเวลาและมีความถี่เดียวกับความถี่ของการสั่นสะเทือน ดังนั้นในขั้นตอนนี้เป็นการพิสูจน์ว่าความถี่ของความเร็วของอากาศปื้อนและความดันลดคร่อมเบดมีค่าเท่ากับความถี่ของการสั่นสะเทือน โดยการวิเคราะห์ Fast Fourier Transforms (FFT) ผลการทดลอง ตั้งแสดงในรูปที่ 5.9 ในกรณีที่การสั่นสะเทือนเท่ากับ 35 Hz

จากรูปที่ 5.9 ผลของการวิเคราะห์ Fast Fourier Transforms (FFT) แสดงว่าแม่พิจุดสูงสุดของความเร็วอากาศปื้อนและความดันลดคร่อมเบดเกิดขึ้นที่ความถี่เท่ากับ 35 Hz ซึ่งเป็นความถี่ของการสั่นสะเทือน นั่นคือความเร็วอากาศปื้อนและความดันลดคร่อมเบดมีความถี่เดียวกับการสั่นสะเทือนซึ่งเป็นไปตามสมการ 3.23

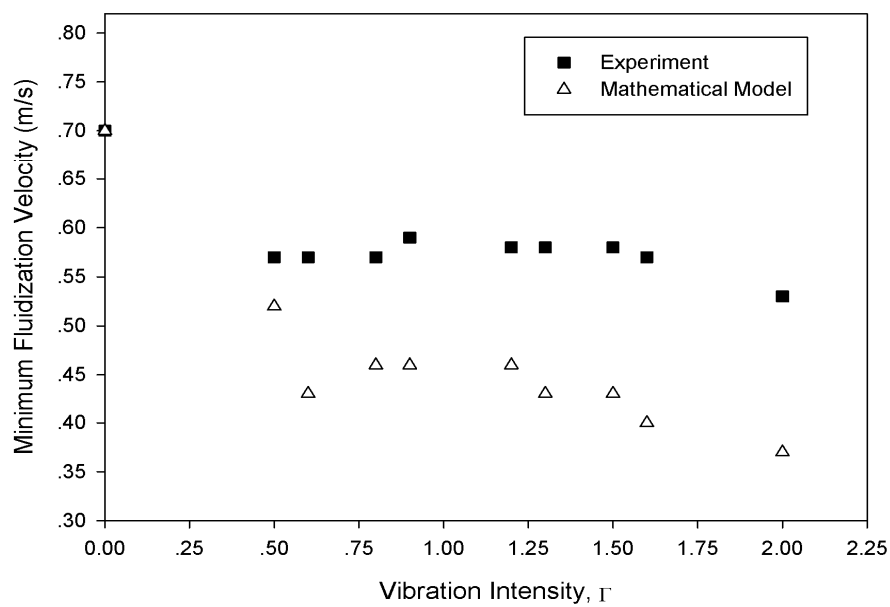
สำหรับเทอมที่สามของผลเฉลยสมการสำหรับการทำนายค่าความเร็วต่ำสุดของการเกิดฟลูอิด ได้เชิงแบบเป็นค่าคงที่ ประกอบด้วยตัวแปรที่สำคัญคือ ค่าสัดส่วนช่องว่างภายในเบด และค่าของสัมประสิทธิ์ของแรงปฏิกิริยาระหว่างของไอลและอนุภาคของแจ้ง (Fluid-particles interaction coefficient,  $\beta$ ) เนื่องจากผลการทดลองฟลูอิด ได้เชิงแบบสั่นสะเทือนของงานวิจัยนี้มีค่าสัดส่วนช่องว่างภายในเบดอยู่ในช่วง 0.23-0.34 และค่า  $Re_p$  อยู่ในช่วง 65-171 ดังนั้นจึงเลือกสมการ 2.21 (สมการ Ergun) สำหรับค่า  $\beta$  ของเทอมที่สามของสมการ 3.23 และความเร็วแก๊ซปื้อน  $u$  มีค่าเท่ากับ  $\varepsilon u_f$  จะได้

$$u^2(t) \left[ \frac{(1-\varepsilon)1.75\rho_f}{d_p \varepsilon^3} \right] + u(t) \left[ \frac{150(1-\varepsilon)^2 \mu_f}{d_p^2 \varepsilon^3} \right] + (1-\varepsilon) (\langle \rho_f \rangle - \langle \rho_p \rangle) g = 0 \quad 5.1$$

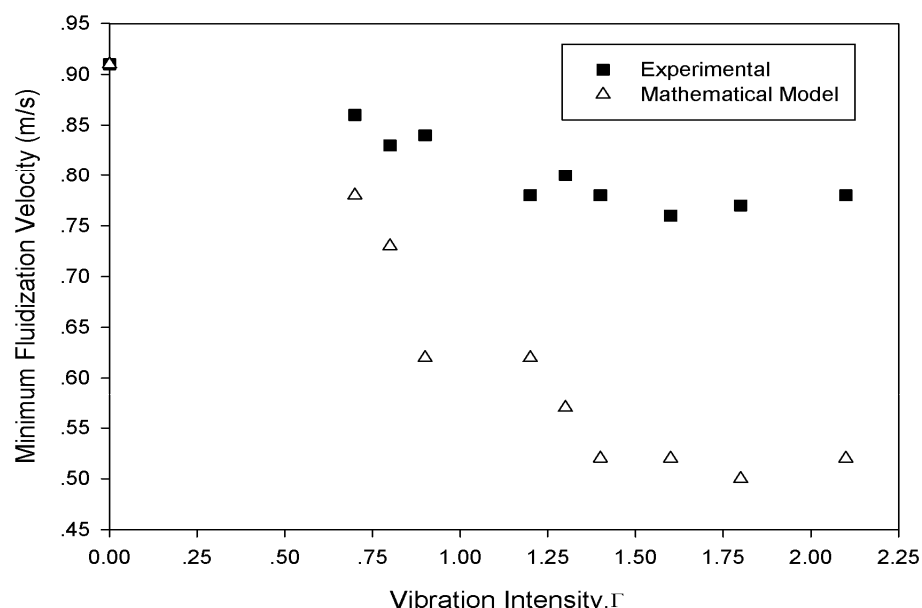
ผลการคำนวณด้วยสมการนี้เปรียบเทียบกับผลการทดลอง แสดงในรูปที่ 5.10 และ 5.11



รูปที่ 5.9 การวิเคราะห์ Fast Fourier Transforms ของอนุภาคแก้วขนาดเส้นผ่านศูนย์กลาง 2 มม.  
ณ ความถี่การสั่นสะเทือน 35 Hz



รูปที่ 5.10 เปรียบเทียบค่าความเร็วต่ำสุดของการเกิดฟลูอิດไคลเซชันระหว่างการทดลองกับสมการทางคณิตศาสตร์ที่พัฒนาขึ้นของงานวิจัยนี้สำหรับอนุภาคขนาดเส้นผ่านศูนย์กลาง 2 มม.



รูปที่ 5.11 เปรียบเทียบค่าความเร็วต่ำสุดของการเกิดฟลูอิດไคลเซชันระหว่างการทดลองกับสมการทางคณิตศาสตร์ที่พัฒนาขึ้นของงานวิจัยนี้สำหรับอนุภาคขนาดเส้นผ่านศูนย์กลาง 3 มม.

จากกราฟในรูปที่ 5.10 และ 5.11 แสดงการเปรียบเทียบผลจากการทดลองฟลูอิดไดเซนเบดแบบสั่นสะเทือนกับการคำนวณด้วยสมการ 5.1 พนว่าผลของการคำนวณด้วยสมการ คณิตศาสตร์มีลักษณะการลดลงของค่าความเร็วต่ำสุดของการเกิดฟลูอิดไดเซนเซน มีลักษณะเหมือนกัน และจากกราฟทั้งสองสังเกตได้ว่าเมื่อค่าความเข้มของการสั่นสะเทือนเพิ่มขึ้นค่าความเร็วของการเกิดฟลูอิดไดเซนจะห่างจากการทดลองและการคำนวณด้วยสมการจะแยกห่างออกจากกันซึ่งลักษณะดังกล่าวจะเหมือนกับการทดลองของ Tatemoto และคณะ [16] ซึ่งเป็นการเปรียบเทียบระหว่างผลการทดลองกับการคำนวณด้วยสมการ Ergun และแสดงในรูปที่ 2.4 (บทที่ 2 ของรายงานวิจัย) และค่าความเร็วต่ำสุดของการเกิดฟลูอิดไดเซนสำหรับกรณีที่ไม่มีการสั่นสะเทือนจากการคำนวณด้วยสมการที่พัฒนาขึ้นและการทดลองจะมีค่าเท่ากัน

เนื่องจาก  $\beta$  ของสมการที่พัฒนาขึ้นถูกแทนค่าด้วยสมการ Ergun จึงทำให้ได้สมการ 5.1 ซึ่งเหมือนกับสมการที่ Tatemoto และคณะ [16] ใช้เปรียบเทียบกับผลการทดลองสำหรับอนุภาคกลุ่ม A กับ C ดังแสดงในรูปที่ 2.3 ซึ่งแสดงให้เห็นว่าสมการนี้ใช้ทำนายค่าความเร็วต่ำสุดของการเกิดฟลูอิดไดเซนได้ดีเมื่ออนุภาคมีขนาดเล็กมาก (น้อยกว่า 0.001 mm) แต่ที่อนุภาคขนาดเด่นผ่าศูนย์กลาง 0.001 mm ความเร็วต่ำสุดของการเกิดฟลูอิดไดเซนที่คำนวณด้วยสมการมีค่าน้อยกว่าผลจากการทดลอง และจะเพิ่มขึ้นเมื่อความเข้มของการสั่นสะเทือนเพิ่มขึ้น ซึ่งสอดคล้องกับผลที่ได้จากการวิจัยนี้ ดังนั้นสมการ 2.21 (สมการ Ergun) ที่ใช้แทนค่า  $\beta$  ใช้ได้ไม่ดีสำหรับอนุภาคที่มีขนาดมากกว่า 0.001 mm แม้ว่าสัดส่วนของร่างกายกว่า 0.8

## บทที่ 6

### สรุปผลการวิจัยและข้อเสนอแนะ

#### 6.1 สรุปผลการวิจัย

จากการศึกษาพฤติกรรมการเคลื่อนที่ของอนุภาคภายในฟลูอิด ได้ชี้เบดแบบไม่มีการสั่นสะเทือนของเบดและฟลูอิด ได้ชี้เบดแบบสั่นสะเทือน และปัจจัยที่มีผลต่อการเกิดกระบวนการฟลูอิด ได้เช่นสำหรับฟลูอิด ได้ชี้เบดแบบสั่น ได้แก่ ความถี่ของการสั่นสะเทือน ความเข้มการสั่นสะเทือน แอมพลิจูด และคุณสมบัติทางกายภาพของอนุภาคที่ใช้ในการทดลอง รวมทั้งการพิสูจน์สมการทางคณิตศาสตร์สำหรับทำนายค่าความเร็วต่ำสุดของการเกิดฟลูอิด ได้เช่นของฟลูอิด ได้ชี้เบดแบบสั่นสะเทือน สามารถสรุปผลการทดลองและการวิเคราะห์ผลการคำนวณด้วยสมการคณิตศาสตร์ของงานวิจัยได้ดังนี้

1. การทดลองเปรียบเทียบระหว่างฟลูอิด ได้ชี้เบดแบบไม่มีการสั่นสะเทือนของเบด และระบบฟลูอิด ได้ชี้เบดแบบสั่นสะเทือน พบร่วมกันว่า ฟลูอิด ได้ชี้เบดแบบสั่นสะเทือนสามารถเกิดปรากฏการณ์ฟลูอิด ได้เช่นเร็วกว่า (ค่าความเร็วเก้าซึมีค่าน้อยกว่า) ฟลูอิด ได้ชี้เบดแบบไม่มีการสั่นสะเทือน เนื่องจากการสั่นสะเทือนทำให้อนุภาคจัดเรียงตัว ซิดติดกันเป็นระเบียบ และมีการเคลื่อนที่ตลอดเวลา

2. การศึกษาอิทธิพลของความเข้มการสั่นสะเทือนที่มีต่อค่าความเร็วต่ำสุดของการเกิดฟลูอิด ได้เช่น และความดันลดคร่อมเบดของระบบฟลูอิด ได้เช่น พบร่วมกันว่า เมื่อความเข้มของการสั่นสะเทือนมีค่าเพิ่มขึ้น ค่าความเร็วต่ำสุดของการเกิดฟลูอิด ได้เช่น และค่าความดันลดคร่อมเบดมีค่าลดลง เนื่องจากแรงจากการสั่นสะเทือนสามารถลดแรงพยุงจากของไอล และการสั่นสะเทือนจะทำให้เบดเกิดการเคลื่อนที่ขึ้น-ลง ตลอดเวลาจึงทำให้อากาศผ่านเบด ได้ช้ากว่ากรณีที่ไม่มีการสั่นสะเทือน จากการทดลองของงานวิจัยนี้ พบร่วมกันว่า อนุภาคเก็บขนาดเส้นผ่าศูนย์กลาง 2

มม. ที่ค่าความเข้มการสั่นสะเทือน 2.0g ความถี่การสั่นสะเทือน 45 Hz มีค่าความเร็วต่ำสุดของการเกิดฟลูอิดไดเชชัน 0.53 m/s และพบว่าอนุภาคแก้วขนาดเส้นผ่านศูนย์กลาง 3 มม. ที่ค่าความเข้มการสั่นสะเทือน 2.1g ความถี่การสั่นสะเทือน 45 Hz มีค่าความเร็วต่ำสุดของการเกิดฟลูอิดไดเชชัน 0.78 m/s

3. การศึกษาอิทธิพลของการสั่นสะเทือนที่มีต่อสัดส่วนซึ่งว่างภายในเบด พบร่วมกับความเข้มของการสั่นสะเทือนและค่าแอมเพลจูดของการสั่นสะเทือนมีค่าเพิ่มขึ้น ค่าสัดส่วนซึ่งว่างจะมีค่าลดลง เนื่องจากผลของการสั่นสะเทือนทำให้อนุภาคภายในเบดอัดแน่นขึ้น (ความสูงเบดลดลง) อนุภาคแก้วภายในเบดจะมีการเคลื่อนที่ตลอดเวลา จากการทดลองอนุภาคขนาดเส้นผ่านศูนย์กลาง 2 มม. ที่ค่าความเข้มการสั่นสะเทือน 2.0g ความถี่การสั่นสะเทือน 45 Hz มีค่าสัดส่วนซึ่งว่างภายในเบดที่ 0.238 และอนุภาคแก้วขนาดเส้นผ่านศูนย์กลาง 3 มม. ที่ค่าความเข้มการสั่นสะเทือน 2.1g ความถี่การสั่นสะเทือน 45 Hz มีค่าสัดส่วนซึ่งว่างภายในเบดที่ 0.229

4. ความเร็วอากาศและความดันลดคร่อมเบดมีความถี่เดียวกับความถี่ของการสั่นสะเทือน ซึ่งสอดคล้องกับผลเฉลยสมการสำหรับการทำนายค่าความเร็วต่ำสุดของการเกิดฟลูอิดไดเชชัน

5. การเปรียบเทียบค่าความเร็วต่ำสุดของการเกิดฟลูอิดไดเชชันแบบสั่นสะเทือนระหว่างผลจากการทดลองและผลจากการใช้แบบจำลองทางคณิตศาสตร์ พบร่วมกับความเร็วต่ำสุดของการเกิดฟลูอิดไดเชชันที่คำนวณด้วยแบบจำลองทางคณิตศาสตร์มีแนวโน้มลดลงเมื่อความเข้มของการสั่นสะเทือนมีค่าเพิ่มขึ้นเหมือนกับการทำทดลอง แต่ตัวแปรที่ใช้ในการคำนวณคือ ค่าสัดส่วนซึ่งว่างยังต้องได้มาจากการทดลอง และเมื่อพิจารณาเฉพาะเหตุของค่าคงที่ของผลเฉลยสมการสำหรับการทำนายค่าความเร็วต่ำสุดของการเกิดฟลูอิดไดเชชัน ถ้าแทนค่า  $\beta$  ด้วยสมการ 2.21 จะได้สมการของ Ergun ซึ่งใช้สำหรับทำนายค่าความเร็วของ การเกิดฟลูอิดไดเชชันแบบไม่มีการสั่นเบดที่ใช้กันทั่วไป

## 6.2 ข้อเสนอแนะ

1. ควรศึกษาเพิ่มเติมปรากฏการณ์ของฟลูอิดไดเชชันที่ความเร็วมากกว่าปีกษาป้อนสูงกว่าความเร็วต่ำสุดของการเกิดฟลูอิดไดเชชัน
2. ควรทำการทดลองที่ความถี่ของการสั่นสะเทือนมากกว่า 45 Hz เพื่อศึกษาพฤติกรรมของฟลูอิดไดเชชันที่ความถี่ของการสั่นสะเทือนสูงๆ

3. ควรศึกษาผลของการสั่นสะเทือนที่มีต่อค่า  $\beta$  หรือสัมประสิทธิ์ของแรงปฏิกิริยาระหว่างของไหลและอนุภาคของแข็ง (Fluid-Particles Interaction Coefficient) สำหรับการนำมาใช้แทนค่าในการคำนวณด้วยสมการทางคณิตศาสตร์

4. จากการวิจัยนี้สามารถนำไปประยุกต์การใช้งานในด้านต่างๆเพื่อให้เกิดความเหมาะสมและเนื่องไข่ที่ต้องการได้ เช่น การประยุกต์ใช้ในระบบอบแห้งผลิตภัณฑ์ต่างๆที่มีการเกากรักษาความชื้นแน่น ความชื้นสูง การประยุกต์ใช้ในอุตสาหกรรม เช่น การนำฟลูอิดไดซ์เบดไปใช้ในกระบวนการแช่แข็งอาหาร หรือนำไปใช้ในการถ่ายเทความร้อนและการถ่ายเทมวล เป็นต้น

## ເອກສາຣອ້າງອີງ

- [1] Kunii, D. and Levenspiel, O. 1999. Fluidization Engineering. 2<sup>nd</sup> ed. McGraw-Hill. New York.
- [2] Ergun, S. 1952. Fluid flow through packed columns, Chemical Engineering Progress. 48: 89-94.
- [3] Anderson, T.B. and Jackson, R. 1967. A fluid mechanical description of fluidized bed, Industrial and Engineering Chemistry Fundamental. 6: 527-539.
- [4] Ishii, M. 1975. Thermo-fluid Dynamic Theory of Two-phase Flow. Eyrolles. Paris.
- [5] Pritchett, J.W., Blake, T.R. and Garg, S.K., 1978. A numerical model of gas fluidized beds, AIChE symposium series. 74: 134–148.
- [6] Wen, C.Y. and Y.H. Yu. 1966. A generalized method for predicting the minimum fluidization velocity, American Institute of Chemical Engineers Journal. 12: 610-612.
- [7] Geldart, D. 1973. Types of gas fluidization, Powder Technology. 7: 285-292.
- [8] Gupta, D. and Mujumdar, A.S. 1980. Aerodynamic and Thermal Characteristics of Vibrated Fluid Beds-A review. In Proceeding of second International Symposium at McGill University. 1: 141-150.
- [9] Gupta, D. Leung, P. and Mujumdar, A.S. 1980. Drying of Granular Material in A Vibrated Fluidized Bed. In Proceeding of second International Symposium at McGill University (Dry'80). Vol. II. (Mujumdar, A.S., ed.). p. 201-207. Hemisphere. Washington.
- [10] Ringer, D. and Mujumdar, A.S. 1982. Flow and Immersed Surface Heat Transfer in Vibro-Fluidized Bed. In Drying'82. (Mujumdar, A.S., ed.). p. 67-73. Hemisphere. New York.
- [11] Erdesz, K., Mujumdar, A.S. and Ringer, D.U. 1986. Hydrodynamic Similarity of Conventional and Vibrated Fluidized Beds. In Proceeding of Fifth International Symposium on Drying at Massachusetts Institute of Technology. Vol. I. (Mujumdar, A.S., ed.). p. 169-176. Hemisphere. Washington.
- [12] Kuipers, N.J.M. Stamhuis, E.J. and Beenaker, A.A.C.M. 1996. Fluidization on potato starch in a stirred vibrating fluidized bed, Chemical Engineering Science. 15: 2727-2732.

- [13] Noda, K. Mawatari, Y. and Uchida, S. 1998. Flow patterns of particles in a vibrated fluidized bed under atmospheric or reduce pressure, Powder Technology. 99: 11-14.
- [14] Mawatari, Y. Koide, T. Tatemoto, Y. Takeshita, T. and Noda, K. 2001. Comparison of three vibrational modes (twist, vertical and horizontal) for fluidization of fine particles, Advanced Powder Technology. 12: 157-168.
- [15] Zhou, T. Kage, H. Funaoka, S. Ogura, H. and Matsuno, Y. 2001. Fluidization behavior of glass beads under different vibration modules, Advanced Powder Technology. 12: 559-575.
- [16] Tatemoto, Y., Mawatari, Y. and Noda, K. 2004. Prediction of minimum fluidization velocity for vibrated fluidized bed, Powder Technology. 131: 66-70.
- [17] Xu, C. and Zhu, J. 2005. Experimental and theoretical study on the agglomeration arising from fluidization of cohesive particles-effects of mechanical vibration, Chemical Engineering Science. 60: 6529-6541.
- [18] Xu, C. and Zhu, J. 2006. Parametric of fine particle fluidization under mechanical vibration, Powder Technology. 60: 135-144.
- [19] Mawatari, Y. Koide, T. Tatemoto, Y. Uchida, S. and Noda, K. 2002. Effect of particle diameter on fluidization under vibration, Powder Technology. 123: 69-74.
- [20] Jin, H. Zhang, J. and Zhang, B. 2007. The effect of vibration on bed voidage behaviors in fluidized beds with large particles, Brazilian Journal of Chemical Engineering. 24: 389-397.
- [21] Barletta, D., Donsi, G., Ferrari, G., Poletto, M., Russo, P. 2008. The effect of mechanical vibration on gas fluidization of fine aeratable powder, Chemical Engineering Research and Design. 86: 359-369.
- [22] Valverde, J.M. Quintanilla, M.A.S, Castellanos. A, Lepek. Pfeffer, R. and Dave, R.N. 2008. Nanofluidization as affected by vibration and electrostatic fields, Chemical Engineering Science. 63: 5559-5569.
- [23] Zhou, T. Yang, J. and Song, L. 2009. Agglomerating vibro-fluidization behavior of nanoparticle, Advanced Powder Technology. 20: 158-163.

- [24] Lin, J.S. Chen, M.N. and Chao, B.T. 1985. A novel radioactive particles tracking facility for measurement of solid motion in gas fluidized beds, American Institute of Chemical Engineers Journal. 31: 465-577.
- [25] Cundall, P.A. and Strack, O.D. 1979. A discrete numerical model for granular assemblies, Geotechnique. 29: 47-65.
- [26] Tatemoto, Y., Mawatari, Y. and Noda, K. 2005. Numerical simulation of particle motion in vibrated fluidized bed, Powder Technology. 59: 437-447.
- [27] Tatemoto, Y., Mawatari, Y. and Noda, K. 2005. Numerical simulation of cohesive particle motion in vibrated fluidized bed, Powder Technology. 60: 5010-5021.
- [28] Limtrakul, S. Rotjanavijit, W. and Vatanatham, T. 2007. Lagrangian modeling and simulation of effect of vibration on cohesive particle movement in a fluidized bed, Chemical Engineering Science. 62: 232-245.
- [29] Huilin, L. Xiang, L. Shuyan, W. Goudong, L. Juhui, C. and Yikun, L. 2010. Numerical simulation of particle motion in vibrated fluidized beds, Powder Technology. 197: 25-35.
- [30] สุวัฒน์ ตรุษศนวนท์. 2542. แนวทางที่เหมาะสมที่สุดสำหรับการอุ่นแห้งข้าวเปลือกโดยเทคนิคฟลูอิดไดซ์เบดแบบสั่น. วิทยานิพนธ์วิศวกรรมศาสตรมหาบัณฑิต. มหาวิทยาลัยเทคโนโลยีพระจอมเกล้าชานนาทนบุรี.
- [31] ชัยชาญ แสงจันทร์. 2545. การจำลองแบบฟลูอิดไดซ์เบดแบบสั่นในสามมิติโดยวิธีการวิเคราะห์อนุภาคแบบไม่ต่อเนื่อง. วิทยานิพนธ์วิศวกรรมศาสตรมหาบัณฑิต. มหาวิทยาลัยเทคโนโลยีพระจอมเกล้าชานนาทนบุรี.
- [32] วรรณวรางค์ โรจนวิจิตร. 2545. การสร้างแบบจำลองการเคลื่อนที่ของอนุภาคภายในเครื่องฟลูอิดไดซ์เบดแบบสั่น. วิทยานิพนธ์วิศวกรรมศาสตรมหาบัณฑิต. มหาวิทยาลัยเกษตรศาสตร์.
- [33] สุวิณี สุนทรสมัย. 2545. การจำลองการถ่ายเทโนเมนตัมและความร้อนในเครื่องฟลูอิดไดซ์เบดแบบสั่น. วิทยานิพนธ์วิศวกรรมศาสตรมหาบัณฑิต. มหาวิทยาลัยเทคโนโลยีพระจอมเกล้าชานนาทนบุรี.
- [34] ศุภฤกษ์ วงศ์ศิริวรรณ. 2546. การจำลองแบบการอุ่นแห้งในฟลูอิดไดซ์เบดแบบสั่นในสามมิติโดยการวิเคราะห์อนุภาคแบบไม่ต่อเนื่อง. วิทยานิพนธ์วิศวกรรมศาสตรมหาบัณฑิต. มหาวิทยาลัยเทคโนโลยีพระจอมเกล้าชานนาทนบุรี.

- [35] Deen, N.G., Van Sint Annaland, M. Vander Hoef, M.A. and Kuipers, J.A.M. 2007. Review of discrete particle modeling of fluidized bed, *Chemical Engineering Science*. 62: 28–44.
- [36] Whitaker, S. 1969. Advance in Theory of Fluid Motion in Porous Media, *Industrial and Engineering Chemistry*. 61: 14-28.
- [37] Drew, D.A., Segel, L.A., 1971. Averaged equations for two-phase flows, *Studies in Applied Mathematics*. 50: 205-231.
- [38] Bear, J. 1972. *Dynamics of Fluids in Porous Media*. American Elsevier. New York.
- [39] Slattery, J.C. 1967. General Balance Equation for a Phase Interface, *Industrial and Engineering Chemistry Fundamental*. 6: 108-115.
- [40] Zhang, D.Z. and Prosperetti, A. 1994. Averaged equations for inviscid disperse two-phase flow, *Journal of Fluid Mechanics*. 267: 185-219.
- [41] Kreyszig, E. 1998. *Advanced Engineering Mathematical*. 8<sup>th</sup> Edition. Abridged International Student Edition. p. 104-105. John Wiley & Sons.

ภาคผนวก ก  
ข้อมูลการทดสอบ

### การทดลองฟลูอิดไดเซชันแบบสั่นสะเทือน

1. กรณีของอนุภาคขนาดเส้นผ่านศูนย์กลาง 2 มม. การสั่นสะเทือนที่ 35 Hz ระยะการปรับนอตอาร์เยื่องศูนย์ที่  $e = 50\%$  และผลลัพธ์ของการสั่นสะเทือน 0.10 มม. ความเข้มการสั่นสะเทือน 0.5g

ความเร็วอากาศป้อน $u_f$ (m/s)	ความดันลดคร่อมเบด $\Delta P$ (kPa)	ความสูงเบด $L$ (m)	สัดส่วนซ่องว่าง $\varepsilon$
0.00	0.00	0.061	0.188
0.14	0.13	0.061	0.188
0.16	0.24	0.061	0.188
0.18	0.32	0.061	0.188
0.23	0.44	0.0615	0.194
0.30	0.60	0.062	0.201
0.38	0.77	0.063	0.214
0.40	0.84	0.0635	0.220
0.42	0.88	0.064	0.226
0.46	1.00	0.065	0.238
0.50	1.10	0.066	0.249
0.54	1.19	0.0675	0.266
0.57	1.24	0.0685	0.277
0.61	1.22	0.0715	0.307
0.65	1.20	0.074	0.331

2. กรณีของอนุภาคขนาดเส้นผ่านศูนย์กลาง 2 มม. การสั่นสะเทือนที่ 40 Hz ระยะการปรับนอเตอร์เยื่องศูนย์ที่  $e = 50\%$  และผลลัพธ์ของการสั่นสะเทือน 0.13 มม. ความเข้มการสั่นสะเทือน 0.9g

ความเร็วอากาศป้อน $u_f$ (m/s)	ความดันลดคร่อมเบด $\Delta P$ (kPa)	ความสูงเบด $L$ (m)	สัดส่วนช่องว่าง $\varepsilon$
0.00	0.00	0.0595	0.167
0.15	0.18	0.0595	0.167
0.17	0.26	0.060	0.174
0.21	0.35	0.061	0.188
0.26	0.46	0.062	0.201
0.32	0.59	0.0625	0.207
0.38	0.75	0.063	0.214
0.43	0.90	0.0645	0.232
0.46	0.99	0.0645	0.232
0.49	1.08	0.0645	0.232
0.52	1.19	0.0655	0.244
0.55	1.24	0.066	0.249
0.59	1.26	0.067	0.261
0.65	1.23	0.068	0.271
0.69	1.22	0.07	0.292
0.73	1.22	0.0735	0.326
0.76	1.21	0.0745	0.335

3. กรณีของอนุภาคขนาดเส้นผ่านศูนย์กลาง 2 มม. การสั่นสะเทือนที่ 45 Hz ระยะการปรับนอเตอร์เยื่องศูนย์ที่  $e = 50\%$  และผลลัพธ์ของการสั่นสะเทือน 0.15 มม. ความเข้มการสั่นสะเทือน 1.2g

ความเร็วอากาศป้อน $u_f$ (m/s)	ความดันลดคร่อมเบด $\Delta P$ (kPa)	ความสูงเบด $L$ (m)	สัดส่วนช่องว่าง $\varepsilon$
0.00	0.00	0.0590	0.160
0.15	0.18	0.0595	0.167
0.18	0.28	0.0595	0.167
0.22	0.39	0.0605	0.181
0.30	0.58	0.0615	0.194
0.35	0.69	0.0620	0.201
0.41	0.86	0.0625	0.207
0.47	1.07	0.0625	0.207
0.53	1.20	0.0635	0.220
0.58	1.25	0.0670	0.261
0.63	1.23	0.0665	0.255
0.69	1.21	0.0675	0.266
0.72	1.20	0.071	0.302
0.75	1.19	0.0735	0.326

4. กรณีของอนุภาคขนาดเส้นผ่านศูนย์กลาง 2 มม. การสั่นสะเทือนที่ 35 Hz ระยะการปรับนอเตอร์เยื่องศูนย์ที่  $e = 70\%$  และผลลัพธ์ของการสั่นสะเทือน 0.16 มม. ความเข้มการสั่นสะเทือน 0.8g

ความเร็วอากาศป้อน $u_f$ (m/s)	ความดันลดคร่อมเบด $\Delta P$ (kPa)	ความสูงเบด $L$ (m)	สัดส่วนช่องว่าง $\varepsilon$
0.00	0.00	0.0605	0.181
0.15	0.19	0.0605	0.181
0.19	0.29	0.0610	0.188
0.23	0.39	0.0615	0.194
0.27	0.47	0.0620	0.201
0.31	0.56	0.0625	0.207
0.38	0.72	0.0640	0.226
0.44	0.89	0.0650	0.238
0.48	0.99	0.0655	0.244
0.50	1.07	0.0665	0.255
0.53	1.15	0.0670	0.261
0.57	1.22	0.0670	0.261
0.64	1.22	0.0710	0.302
0.66	1.22	0.0720	0.312
0.68	1.21	0.0730	0.321
0.72	1.20	0.0740	0.331

5. กรณีของอนุภาคขนาดเส้นผ่านศูนย์กลาง 2 มม. การสั่นสะเทือนที่ 40 Hz ระยะการปรับนอเตอร์เยื่องศูนย์ที่  $e = 70\%$  และผลลัพธ์ของการสั่นสะเทือน 0.20 มม. ความเข้มการสั่นสะเทือน 1.3g

ความเร็วอากาศป้อน $u_f$ (m/s)	ความดันลดคร่อมเบด $\Delta P$ (kPa)	ความสูงเบด $L$ (m)	สัดส่วนช่องว่าง $\varepsilon$
0.00	0.00	0.06	0.174
0.15	0.18	0.06	0.174
0.17	0.23	0.0605	0.181
0.20	0.30	0.061	0.188
0.24	0.39	0.0615	0.194
0.26	0.46	0.062	0.201
0.31	0.59	0.0635	0.220
0.36	0.71	0.0645	0.232
0.39	0.79	0.065	0.238
0.43	0.89	0.065	0.238
0.46	0.98	0.066	0.249
0.50	1.12	0.0665	0.255
0.53	1.21	0.0665	0.255
0.58	1.26	0.0665	0.255
0.65	1.23	0.0705	0.297
0.68	1.23	0.071	0.302
0.71	1.22	0.0735	0.326
0.74	1.22	0.0745	0.335

6. กรณีของอนุภาคขนาดเส้นผ่านศูนย์กลาง 2 มม. การสั่นสะเทือนที่ 45 Hz ระยะการปรับนอเตอร์เรื่องศูนย์ที่  $e = 70\%$  และผลลัพธ์ของการสั่นสะเทือน 0.19 มม. ความเข้มการสั่นสะเทือน 1.9g

ความเร็วอากาศป้อน $u_f$ (m/s)	ความดันลดคร่อมเบด $\Delta P$ (kPa)	ความสูงเบด $L$ (m)	สัดส่วนช่องว่าง $\varepsilon$
0.00	0.00	0.0605	0.181
0.14	0.17	0.061	0.188
0.17	0.24	0.061	0.188
0.19	0.31	0.0615	0.194
0.24	0.42	0.062	0.201
0.29	0.53	0.0635	0.220
0.35	0.67	0.063	0.214
0.40	0.80	0.064	0.226
0.46	0.96	0.064	0.226
0.48	1.13	0.0635	0.220
0.51	1.19	0.0635	0.220
0.53	1.22	0.0635	0.220
0.57	1.25	0.0655	0.244
0.62	1.23	0.0665	0.255
0.66	1.22	0.0675	0.266
0.71	1.20	0.0725	0.317
0.75	1.20	0.0745	0.335

7. กรณีของอนุภาคขนาดเส้นผ่านศูนย์กลาง 2 มม. การสั่นสะเทือนที่ 35 Hz ระยะการปรับนอเตอร์เยื่องศูนย์ที่  $e = 90\%$  และผลิตภัณฑ์ของการสั่นสะเทือน 0.12 มม. ความเข้มการสั่นสะเทือน 0.6g

ความเร็วอากาศป้อน $u_f$ (m/s)	ความดันลดคร่อมเบด $\Delta P$ (kPa)	ความสูงเบด $L$ (m)	สัดส่วนช่องว่าง $\varepsilon$
0.00	0.00	0.0610	0.201
0.14	0.15	0.0610	0.201
0.16	0.22	0.0615	0.220
0.20	0.31	0.0620	0.232
0.25	0.41	0.0625	0.232
0.32	0.56	0.0635	0.226
0.39	0.71	0.0645	0.238
0.44	0.84	0.0655	0.232
0.50	0.99	0.0665	0.232
0.53	1.15	0.0670	0.238
0.57	1.23	0.0665	0.255
0.62	1.23	0.0670	0.261
0.66	1.22	0.0715	0.277
0.70	1.21	0.0735	0.287
0.73	1.21	0.0745	0.317

8. กรณีของอนุภาคขนาดเส้นผ่านศูนย์กลาง 2 มม. การสั่นสะเทือนที่ 40 Hz ระยะการปรับนอเตอร์เยื่องศูนย์ที่  $e = 90\%$  และผลิตุณของ การสั่นสะเทือน 0.24 มม. ความเข้มการสั่นสะเทือน  $1.5g$

ความเร็วอากาศป้อน $u_f$ (m/s)	ความดันลดคร่อมเบด $\Delta P$ (kPa)	ความสูงเบด $L$ (m)	สัดส่วนช่องว่าง $\varepsilon$
0.00	0.00	0.06	0.174
0.15	0.19	0.06	0.174
0.18	0.28	0.061	0.188
0.22	0.38	0.0615	0.194
0.27	0.49	0.064	0.226
0.33	0.58	0.065	0.238
0.38	0.72	0.065	0.238
0.44	0.85	0.065	0.238
0.49	1.01	0.066	0.249
0.53	1.16	0.0665	0.255
0.58	1.25	0.0665	0.255
0.60	1.25	0.069	0.282
0.63	1.24	0.0715	0.307
0.66	1.23	0.0725	0.317
0.70	1.22	0.0735	0.326

9. กรณีของอนุภาคขนาดเส้นผ่านศูนย์กลาง 2 มม. การสั่นสะเทือนที่ 45 Hz ระยะการปรับนอเตอร์เยื่องศูนย์ที่  $e = 90\%$  และผลลัพธ์ของการสั่นสะเทือน 0.24 มม. ความเข้มการสั่นสะเทือน 2.0g

ความเร็วอากาศป้อน $u_f$ (m/s)	ความดันลดคร่อมเบด $\Delta P$ (kPa)	ความสูงเบด $L$ (m)	สัดส่วนซ่องว่าง $\varepsilon$
0.00	0.10	0.062	0.201
0.14	0.14	0.062	0.201
0.16	0.22	0.0635	0.220
0.19	0.29	0.0645	0.232
0.24	0.39	0.0645	0.232
0.28	0.51	0.064	0.226
0.34	0.61	0.065	0.238
0.40	0.79	0.0645	0.232
0.45	0.95	0.0645	0.232
0.48	1.18	0.065	0.238
0.53	1.24	0.065	0.238
0.62	1.23	0.0685	0.277
0.66	1.21	0.0695	0.287
0.71	1.20	0.0725	0.317
0.75	1.20	0.0735	0.326

10. กรณีของอนุภาคขนาดเส้นผ่านศูนย์กลาง 3 มม. การสั่นสะเทือนที่ 35 Hz ระยะการปรับมอเตอร์เยื่องศูนย์ที่  $e = 50\%$  และพลิจุดของการสั่นสะเทือน 0.13 มม. ความเข้มการสั่นสะเทือน  $0.7g$

ความเร็วอากาศป้อน $u_f$ (m/s)	ความดันลดคร่อมเบด $\Delta P$ (kPa)	ความสูงเบด $L$ (m)	สัดส่วนช่องว่าง $\varepsilon$
0.00	0.00	0.0585	0.163
0.15	0.15	0.058	0.156
0.18	0.21	0.058	0.156
0.24	0.28	0.059	0.170
0.30	0.38	0.059	0.170
0.37	0.46	0.0595	0.177
0.45	0.57	0.06	0.184
0.52	0.68	0.0605	0.191
0.56	0.77	0.061	0.197
0.63	0.91	0.0615	0.204
0.67	1.01	0.0625	0.216
0.71	1.10	0.0635	0.229
0.76	1.15	0.065	0.247
0.81	1.18	0.067	0.269
0.86	1.18	0.0685	0.285
0.91	1.17	0.0715	0.315
0.96	1.16	0.0735	0.334

11. กรณีของอนุภาคขนาดเส้นผ่านศูนย์กลาง 3 มม. การสั่นสะเทือนที่ 40 Hz ระยะการปรับมอเตอร์เยื่องศูนย์ที่  $e = 50\%$  และพลิจุดของการสั่นสะเทือน 0.14 มม. ความเข้มการสั่นสะเทือน 0.9g

ความเร็วอากาศปื้อน $u_f$ (m/s)	ความดันลดคร่อมเบด $\Delta P$ (kPa)	ความสูงเบด $L$ (m)	สัดส่วนช่องว่าง $\varepsilon$
0.00	0.00	0.058	0.156
0.14	0.12	0.058	0.156
0.16	0.15	0.0585	0.163
0.19	0.19	0.0585	0.163
0.24	0.26	0.0585	0.163
0.32	0.36	0.059	0.170
0.39	0.46	0.0595	0.177
0.46	0.56	0.0595	0.177
0.52	0.68	0.061	0.197
0.59	0.82	0.0615	0.204
0.65	1.02	0.0615	0.204
0.71	1.10	0.0625	0.216
0.75	1.15	0.063	0.223
0.79	1.18	0.0645	0.241
0.84	1.19	0.0655	0.252
0.89	1.18	0.067	0.269
0.94	1.17	0.0675	0.275
0.97	1.16	0.0715	0.315
1.00	1.15	0.072	0.320
1.03	1.15	0.074	0.338

12. กรณีของอนุภาคขนาดเส้นผ่านศูนย์กลาง 3 มม. การสั่นสะเทือนที่ 45 Hz ระยะการปรับมอเตอร์เยื่องศูนย์ที่  $e = 50\%$  และพลิจุดของการสั่นสะเทือน 0.16 มม. ความเข้มการสั่นสะเทือน 1.3g

ความเร็วอากาศป้อน $u_f$ (m/s)	ความดันลดคร่อมเบด $\Delta P$ (kPa)	ความสูงเบด $L$ (m)	สัดส่วนช่องว่าง $\varepsilon$
0.00	0.00	0.058	0.156
0.14	0.12	0.0575	0.148
0.18	0.18	0.0585	0.163
0.23	0.25	0.058	0.156
0.29	0.33	0.0595	0.177
0.36	0.43	0.0595	0.177
0.44	0.55	0.06	0.184
0.52	0.69	0.0605	0.191
0.57	0.78	0.061	0.197
0.63	0.93	0.061	0.197
0.67	1.04	0.061	0.197
0.71	1.10	0.0615	0.204
0.75	1.16	0.0625	0.216
0.80	1.19	0.0645	0.241
0.84	1.18	0.065	0.247
0.90	1.16	0.0665	0.264
0.94	1.15	0.0675	0.275
0.98	1.15	0.072	0.320
1.02	1.14	0.074	0.338

13. กรณีของอนุภาคขนาดเส้นผ่านศูนย์กลาง 3 มม. การสั่นสะเทือนที่ 35 Hz ระยะการปรับมอเตอร์เยื่องศูนย์ที่  $e = 70\%$  และพลิจุดของการสั่นสะเทือน 0.16 มม. ความเข้มการสั่นสะเทือน 0.8g

ความเร็วอากาศป้อน $u_f$ (m/s)	ความดันลดคร่อมเบด $\Delta P$ (kPa)	ความสูงเบด $L$ (m)	สัดส่วนช่องว่าง $\varepsilon$
0.00	0.00	0.057	0.141
0.15	0.14	0.058	0.156
0.18	0.19	0.0585	0.163
0.24	0.27	0.0585	0.163
0.35	0.42	0.059	0.170
0.44	0.54	0.0595	0.177
0.50	0.63	0.0605	0.191
0.56	0.75	0.061	0.197
0.62	0.87	0.062	0.210
0.66	0.96	0.063	0.223
0.71	1.07	0.0645	0.241
0.75	1.12	0.0655	0.252
0.79	1.16	0.067	0.269
0.83	1.18	0.0675	0.275
0.86	1.18	0.0685	0.285
0.91	1.17	0.0715	0.315
0.95	1.16	0.0735	0.334
0.99	1.16	0.074	0.338
1.02	1.15	0.0745	0.343

14. กรณีของอนุภาคขนาดเส้นผ่านศูนย์กลาง 3 มม. การสั่นสะเทือนที่ 40 Hz ระยะการปรับมอเตอร์เยื่องศูนย์ที่  $e = 70\%$  และพลิจุดของการสั่นสะเทือน 0.22 มม. ความเข้มการสั่นสะเทือน 1.4g

ความเร็วอากาศป้อน $u_f$ (m/s)	ความดันลดคร่อมเบด $\Delta P$ (kPa)	ความสูงเบด $L$ (m)	สัดส่วนช่องว่าง $\varepsilon$
0.00	0.00	0.058	0.156
0.14	0.12	0.058	0.156
0.17	0.16	0.0585	0.163
0.19	0.20	0.0585	0.163
0.24	0.26	0.059	0.170
0.30	0.35	0.059	0.170
0.37	0.44	0.06	0.184
0.45	0.58	0.061	0.197
0.51	0.68	0.0615	0.204
0.58	0.83	0.062	0.210
0.66	1.06	0.062	0.210
0.71	1.15	0.0625	0.216
0.78	1.19	0.0635	0.229
0.84	1.18	0.0655	0.252
0.91	1.16	0.0695	0.295
0.97	1.15	0.0715	0.315
1.01	1.14	0.0725	0.325
1.07	1.14	0.0735	0.334

15. กรณีของอนุภาคขนาดเส้นผ่านศูนย์กลาง 3 มม. การสั่นสะเทือนที่ 45 Hz ระยะการปรับมอเตอร์เยื่องศูนย์ที่  $e = 70\%$  และพลิจุดของการสั่นสะเทือน 0.19 นม. ความเข้มการสั่นสะเทือน 1.6g

ความเร็วอากาศป้อน $u_f$ (m/s)	ความดันลดคร่อมเบด $\Delta P$ (kPa)	ความสูงเบด $L$ (m)	สัดส่วนช่องว่าง $\varepsilon$
0.00	0.00	0.057	0.141
0.16	0.15	0.057	0.141
0.19	0.20	0.0575	0.148
0.24	0.27	0.0585	0.163
0.30	0.35	0.058	0.156
0.37	0.44	0.0585	0.163
0.44	0.57	0.059	0.170
0.51	0.71	0.059	0.170
0.56	0.89	0.0595	0.177
0.59	1.11	0.0595	0.177
0.65	1.13	0.06	0.184
0.71	1.17	0.0615	0.204
0.76	1.19	0.0635	0.229
0.81	1.18	0.065	0.247
0.87	1.16	0.0685	0.285
0.93	1.15	0.071	0.310
0.98	1.14	0.0725	0.325
1.02	1.14	0.0735	0.334

16. กรณีของอนุภาคขนาดเส้นผ่านศูนย์กลาง 3 มม. การสั่นสะเทือนที่ 35 Hz ระยะการปรับมอเตอร์เยื่องศูนย์ที่  $e = 90\%$  และพลิจุดของการสั่นสะเทือน 0.25 มม. ความเข้มการสั่นสะเทือน 1.2g

ความเร็วอากาศป้อน $u_f$ (m/s)	ความดันลดคร่อมเบด $\Delta P$ (kPa)	ความสูงเบด $L$ (m)	สัดส่วนช่องว่าง $\varepsilon$
0.00	0.00	0.0575	0.148
0.15	0.14	0.0575	0.148
0.19	0.19	0.058	0.156
0.24	0.26	0.058	0.156
0.32	0.35	0.058	0.156
0.38	0.44	0.0585	0.163
0.47	0.57	0.059	0.170
0.54	0.74	0.0615	0.204
0.59	0.82	0.0615	0.204
0.65	0.95	0.062	0.210
0.70	1.11	0.062	0.210
0.73	1.17	0.0635	0.229
0.78	1.20	0.0655	0.252
0.83	1.20	0.0675	0.275
0.88	1.17	0.069	0.290
0.95	1.15	0.072	0.320
1.01	1.15	0.074	0.338

17. กรณีของอนุภาคขนาดเส้นผ่านศูนย์กลาง 3 มม. การสั่นสะเทือนที่ 40 Hz ระยะการปรับมอเตอร์เยื่องศูนย์ที่  $e = 90\%$  และพลิจุดของการสั่นสะเทือน 0.27 มม. ความเข้มการสั่นสะเทือน 1.8g

ความเร็วอากาศป้อน $u_f$ (m/s)	ความดันลดคร่อมเบด $\Delta P$ (kPa)	ความสูงเบด $L$ (m)	สัดส่วนช่องว่าง $\varepsilon$
0.00	0.00	0.057	0.141
0.15	0.14	0.0575	0.148
0.18	0.19	0.058	0.156
0.24	0.27	0.0585	0.163
0.33	0.39	0.059	0.170
0.45	0.56	0.06	0.184
0.51	0.68	0.0605	0.191
0.59	0.87	0.06	0.184
0.64	1.13	0.06	0.184
0.72	1.16	0.0615	0.204
0.77	1.19	0.063	0.223
0.83	1.18	0.066	0.258
0.88	1.17	0.068	0.280
0.93	1.15	0.069	0.290
0.99	1.15	0.0715	0.315
1.02	1.14	0.073	0.329
1.05	1.14	0.074	0.338

18. กรณีของอนุภาคขนาดเส้นผ่านศูนย์กลาง 3 มม. การสั่นสะเทือนที่ 45 Hz ระยะการปรับมอเตอร์เยื่องศูนย์ที่  $e = 90\%$  และพลิจุดของการสั่นสะเทือน 0.25 มม. ความเข้มการสั่นสะเทือน 2.1g

ความเร็วอากาศป้อน $u_f$ (m/s)	ความดันลดคร่อมเบด $\Delta P$ (kPa)	ความสูงเบด $L$ (m)	สัดส่วนช่องว่าง $\varepsilon$
0.00	0.00	0.058	0.156
0.15	0.15	0.058	0.156
0.19	0.22	0.059	0.170
0.25	0.28	0.059	0.170
0.36	0.43	0.059	0.170
0.44	0.55	0.0595	0.177
0.53	0.70	0.059	0.170
0.59	0.95	0.0595	0.177
0.64	1.15	0.0595	0.177
0.71	1.16	0.0615	0.204
0.78	1.19	0.0635	0.229
0.82	1.18	0.0645	0.241
0.89	1.16	0.0685	0.285
0.95	1.15	0.0715	0.315
1.01	1.14	0.073	0.329
1.06	1.13	0.074	0.338

## การทดลองฟลูอิดไดเซชันกรณีไม่มีการสั่นสะเทือน

### 1. กรณีของอนุภาคขนาดเส้นผ่านศูนย์กลาง 2 มม.

ความเร็วอากาศป้อน $u_f$ (m/s)	ความดันลดคร่อมเบด $\Delta P$ (kPa)	ความสูงเบด $L$ (m)	สัดส่วนซ่องว่าง $\varepsilon$
0.00	0.00	0.0665	0.255
0.14	0.21	0.0665	0.255
0.18	0.31	0.0665	0.255
0.22	0.41	0.0665	0.255
0.27	0.52	0.0665	0.255
0.33	0.65	0.0665	0.255
0.41	0.85	0.0665	0.255
0.47	1.01	0.0665	0.255
0.54	1.21	0.0665	0.255
0.58	1.21	0.069	0.282
0.61	1.30	0.07	0.292
0.70	1.32	0.073	0.321
0.74	1.16	0.076	0.348
0.81	1.17	0.077	0.357
0.91	1.17	0.0775	0.361

2. กรณีของอนุภาคขนาดเส้นผ่านศูนย์กลาง 3 มม.

ความเร็วอากาศป้อน $u_f$ (m/s)	ความดันลดคร่อมเบด $\Delta P$ (kPa)	ความสูงเบด $L$ (m)	สัดส่วนซ่องว่าง $\varepsilon$
0.00	0.00	0.0625	0.216
0.16	0.12	0.0625	0.216
0.21	0.20	0.0625	0.216
0.28	0.31	0.0625	0.216
0.39	0.50	0.0625	0.216
0.49	0.69	0.0625	0.216
0.57	0.88	0.0625	0.216
0.63	1.04	0.0625	0.216
0.67	1.15	0.0625	0.216
0.72	1.19	0.0635	0.229
0.75	1.19	0.065	0.247
0.80	1.19	0.068	0.280
0.84	1.19	0.0695	0.295
0.91	1.20	0.0715	0.315
0.96	1.19	0.072	0.320
1.03	1.19	0.0745	0.343

## ผลการคำนวณแบบจำลองทางคณิตศาสตร์

1. การคำนวณค่าความเร็วต่ำสุดของอนุภาคขนาด 2 มม. ความหนาแน่นอนุภาค  
 $2570 \text{ kg/m}^3$

ความเข้มของการสั่นสะเทือน	ความเร็วต่ำสุดของการเกิดฟลูอิด ไดเซชัน
0.0	0.70
0.5	0.52
0.6	0.43
0.8	0.46
0.9	0.46
1.2	0.46
1.3	0.43
1.5	0.43
1.6	0.40
2.0	0.37

2. การคำนวณค่าความเร็วต่ำสุดของอนุภาคขนาด 3 มม. ความหนาแน่นอนุภาค  
 $2600 \text{ kg/m}^3$

ความเข้มการสั่นสะเทือน	ความเร็วต่ำสุดของการเกิดฟลูอิດไคลเซชัน
0.0	0.91
0.7	0.78
0.8	0.73
0.9	0.62
1.2	0.57
1.3	0.52
1.4	0.52
1.6	0.52
1.8	0.50
2.1	0.52

ภาคผนวก ฯ

เช่นเชื้อร้ายความดัน MPXV 5004 DP

## Pressure

# Freescale Semiconductor

MPXV5004G  
Rev 12, 09/2009

## Integrated Silicon Pressure Sensor On-Chip Signal Conditioned, Temperature Compensated and Calibrated

The MPxx5004 series piezoresistive transducer is a state-of-the-art monolithic silicon pressure sensor designed for a wide range of applications, but particularly those employing a microcontroller or microprocessor with A/D inputs. This sensor combines a highly sensitive implanted strain gauge with advanced micromachining techniques, thin-film metallization, and bipolar processing to provide an accurate, high level analog output signal that is proportional to the applied pressure.

### Features

- 1.5% Maximum Error for 0 to 100 mm H<sub>2</sub>O over +10° to +60°C with Auto Zero
- 2.5% Maximum Error for 100 to 400 mm H<sub>2</sub>O over +10° to +60°C with Auto Zero
- 6.25% Maximum Error for 0 to 400 mm H<sub>2</sub>O over +10° to +60°C without Auto Zero
- Temperature Compensated over 10° to 60°C
- Available in Gauge Surface Mount (SMT) or Through-Hole (DIP) Configurations
- Durable Thermoplastic (PPS) Package

### MPXV5004 MPVZ5004 Series

0 to 3.92 kPa  
(0 to 400 mm H<sub>2</sub>O)  
1.0 to 4.9 V Output

### Application Examples

- Washing Machine Water Level
- Ideally Suited for Microprocessor or Microcontroller-Based Systems
- Appliance Liquid Level and Pressure Measurement
- Respiratory Equipment

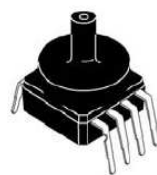
ORDERING INFORMATION								
Device Name	Case No.	# of Ports			Pressure Type			Device Marking
		None	Single	Dual	Gauge	Differential	Absolute	
<b>Small Outline Package (MPXV5004 Series)</b>								
MPXV5004DP	1351			•		•		MPXV5004DP
MPXV5004GC6T1	482A		•		•			MPXV5004G
MPXV5004GC6U	482A		•		•			MPXV5004G
MPXV5004GC7U	482C		•		•			MPXV5004G
MPXV5004GP	1369		•		•			MPXV5004GP
MPXV5004GPT1	1369		•		•			MPXV5004GP
MPXV5004GVP	1368		•		•			MPXV5004GVP
<b>Small Outline Package (Media Resistant Gel) (MPVZ5004 Series)</b>								
MPVZ5004G6T1	482	•			•			MPVZ5004G
MPVZ5004G6U	482	•			•			MPVZ5004G
MPVZ5004G7U	482B	•			•			MPVZ5004G
MPVZ5004GC6U	482A		•		•			MPVZ5004G
MPVZ5004GW6U	1735		•		•			MZ5004GW
MPVZ5004GW7U	1560		•		•			MZ5004GW

## Pressure

### SMALL OUTLINE PACKAGES THROUGH-HOLE



MPVZ5004G7U  
CASE 482B-03

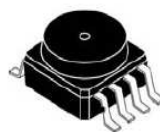


MPXV5004GC7U  
CASE 482C-03



MPVZ5004GW7U  
CASE 1560-02

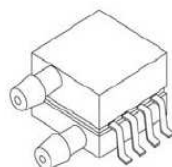
### SMALL OUTLINE PACKAGES SURFACE MOUNT



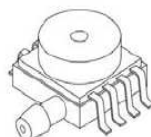
MPVZ5004G6U/6T1  
CASE 482-01



MPXV5004G6U/6T1, MPVZ5004GC6U  
CASE 482A-01



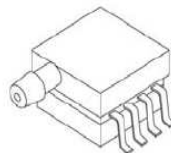
MPXV5004DP  
CASE 1351-01



MPXV5004GVP  
CASE 1368-01



MPVZ5004GW6U  
CASE 1735-01



MPXV5004GP/GPT1  
CASE 1369-01

## Pressure

### Operating Characteristics

**Table 1. Operating Characteristics ( $V_S = 5.0 \text{ V}_{\text{DC}}$ ,  $T_A = 25^\circ\text{C}$  unless otherwise noted,  $P1 > P2$ )**

Characteristic	Symbol	Min	Typ	Max	Units
Pressure Range	$P_{\text{OP}}$	0	—	3.92 400	kPa $\text{mm H}_2\text{O}$
Supply Voltage <sup>(1)</sup>	$V_S$	4.75	5.0	5.25	$\text{V}_{\text{DC}}$
Supply Current	$I_S$	—	—	10	$\text{mA}_{\text{DC}}$
Span @ 306 mm $\text{H}_2\text{O}$ (3 kPa) <sup>(2)</sup> Full Scale Span @ 400 mm $\text{H}_2\text{O}$ (3.92 kPa) <sup>(2)</sup>	$V_{\text{FSS}}$	— —	3.0 4.0	— —	V
Offset <sup>(3)</sup>	$V_{\text{OFF}}$	0.75	1.0	1.25	V
Sensitivity	$V/P$	—	1.0	—	$\text{V/kPa}$
Accuracy <sup>(4)(5)</sup>					
0 to 100 mm $\text{H}_2\text{O}$ (10 to 60°C)	—	—	—	$\pm 1.5$	% $V_{\text{FSS}}$ with auto zero
100 to 400 mm $\text{H}_2\text{O}$ (10 to 60°C)	—	—	—	$\pm 2.5$	% $V_{\text{FSS}}$ with auto zero
0 to 400 mm $\text{H}_2\text{O}$ (10 to 60°C)	—	—	—	$\pm 6.25$	% $V_{\text{FSS}}$ without auto zero

1. Device is ratiometric within this specified excitation range.
2. Span is defined as the algebraic difference between the output voltage at specified pressure and the output voltage at the minimum rated pressure.
3. Offset ( $V_{\text{off}}$ ) is defined as the output voltage at the minimum rated pressure.
4. Accuracy (error budget) consists of the following:
  - Linearity: Output deviation from a straight line relationship with pressure over the specified pressure range.
  - Temperature Hysteresis: Output deviation at any temperature within the operating temperature range, after the temperature is cycled to and from the minimum or maximum operating temperature points, with zero differential pressure applied.
  - Pressure Hysteresis: Output deviation at any pressure within the specified range, when this pressure is cycled to and from the minimum or maximum rated pressure, at 25°C.
  - Offset Stability: Output deviation, after 1000 temperature cycles, -30 to 100°C, and 1.5 million pressure cycles, with minimum rated pressure applied.
  - TcSpan: Output deviation over the temperature range of 10 to 60°C, relative to 25°C.
  - TcOffset: Output deviation with minimum rated pressure applied, over the temperature range of 10 to 60°C, relative to 25°C.
  - Variation from Nominal: The variation from nominal values, for Offset or Full Scale Span, as a percent of  $V_{\text{FSS}}$ , at 25°C.
5. Auto Zero at Factory Installation: Due to the sensitivity of the MPVZ5004G, external mechanical stresses and mounting position can affect the zero pressure output reading. Autozeroing is defined as storing the zero pressure output reading and subtracting this from the device's output during normal operations. Reference AN1636 for specific information. The specified accuracy assumes a maximum temperature change of  $\pm 5^\circ\text{C}$  between autozero and measurement.

## Pressure

### Maximum Ratings

Table 2. Maximum Ratings<sup>(1)</sup>

Rating	Symbol	Value	Unit
Maximum Pressure ( $P_1 > P_2$ )	$P_{MAX}$	16	kPa
Storage Temperature	$T_{STG}$	-30 to +100	°C
Operating Temperature	$T_A$	0 to +85	°C

1. Exposure beyond the specified limits may cause permanent damage or degradation to the device.

Figure 1 shows a block diagram of the internal circuitry integrated on a pressure sensor chip.

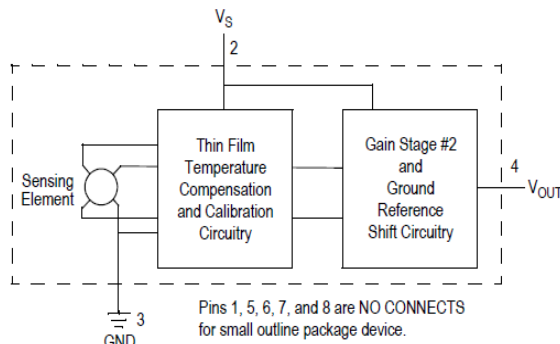


Figure 1. Integrated Pressure Sensor Schematic

### On-chip Temperature Compensation and Calibration

The performance over temperature is achieved by integrating the shear-stress strain gauge, temperature compensation, calibration and signal conditioning circuitry onto a single monolithic chip.

Figure 2 illustrates the gauge configuration in the basic chip carrier (Case 482). A fluorosilicone gel isolates the die surface and wire bonds from the environment, while allowing the pressure signal to be transmitted to the silicon diaphragm.

The MPx5004G series sensor operating characteristics are based on use of dry air as pressure media. Media, other than dry air, may have adverse effects on sensor performance and long-term reliability. Internal reliability and

qualification test for dry air, and other media, are available from the factory. Contact the factory for information regarding media tolerance in your application.

Figure 3 shows the recommended decoupling circuit for interfacing the output of the MPx5004G to the A/D input of the microprocessor or microcontroller. Proper decoupling of the power supply is recommended.

Typical, minimum and maximum output curves are shown for operation over a temperature range of 10°C to 60°C using the decoupling circuit shown in Figure 3. The output will saturate outside of the specified pressure range.

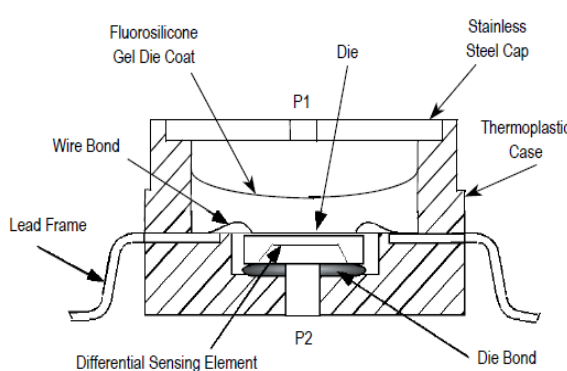
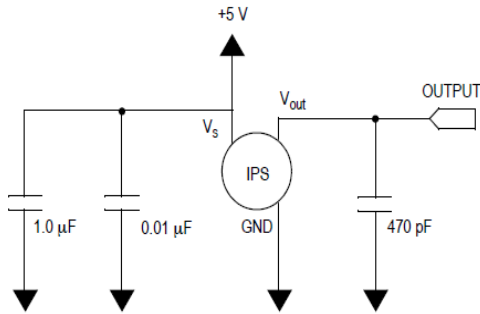
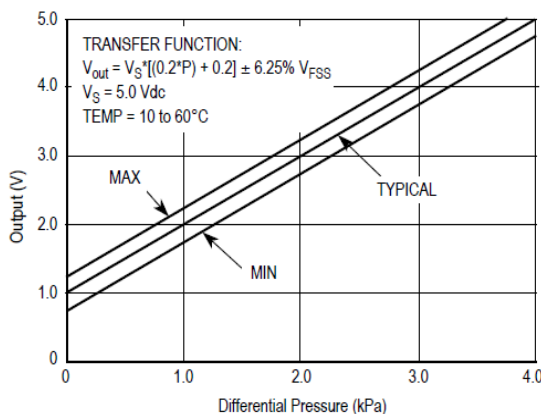


Figure 2. Cross-Sectional Diagram (Not to Scale)

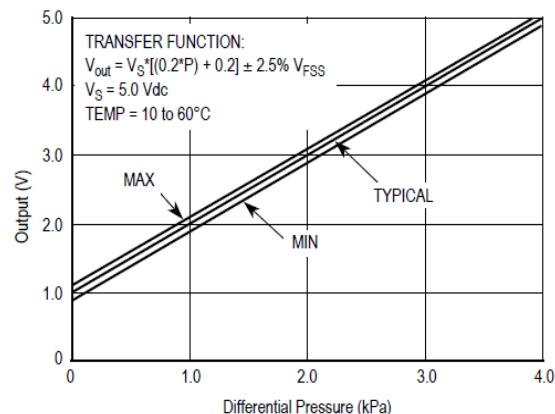
## Pressure



**Figure 3. Recommended Power Supply Decoupling and Output Filtering**  
(For additional output filtering, please refer to AN1646.)



**Figure 4. Output vs. Pressure Differential at  $\pm 6.25\% V_{FSS}$  (without auto zero, Table 1., note 5)**



**Figure 5. Output vs. Pressure Differential at  $\pm 2.5\% V_{FSS}$  (with auto zero, Table 1., note 5)**

### PRESSURE (P1)/VACUUM (P2) SIDE IDENTIFICATION TABLE

Freescale Semiconductor designates the two sides of the pressure sensor as the Pressure (P1) side and the Vacuum (P2) side. The Pressure (P1) side is the side containing silicone gel which isolates the die from the environment.

The Freescale Semiconductor pressure sensor is designed to operate with positive differential pressure applied,  $P1 > P2$ .

The Pressure (P1) side may be identified by using the table below.

Part Number	Case Type	Pressure (P1) Side Identifier
MPXV5004DP	1351	Side with Part Marking
MPXV5004GC6U/6T1, MPVZ5004GC6U	482A	Side with Port Attached
MPXV5004GC7U	482C	Side with Port Attached
MPXV5004GP/GPT1	1369	Side with Port Attached
MPXV5004GVP	1368	Stainless Steel Cap
MPVZ5004G6U/6T1	482	Stainless Steel Cap
MPVZ5004G7U	482B	Stainless Steel Cap
MPVZ5004GW6U	1735	Vertical Port Attached
MPVZ5004GW7U	1560	Vertical Port Attached

### ภาคผนวก ค

เซนเซอร์ความความเร่ง ADXL 210



## Low Cost $\pm 2 g/\pm 10 g$ Dual Axis iMEMS® Accelerometers with Digital Output

### ADXL202/ADXL210

#### FEATURES

- 2-Axis Acceleration Sensor on a Single IC Chip
- Measures Static Acceleration as Well as Dynamic Acceleration
- Duty Cycle Output with User Adjustable Period
- Low Power <0.6 mA
- Faster Response than Electrolytic, Mercury or Thermal Tilt Sensors
- Bandwidth Adjustment with a Single Capacitor Per Axis
- 5 mg Resolution at 60 Hz Bandwidth
- +3 V to +5.25 V Single Supply Operation
- 1000 g Shock Survival

#### APPLICATIONS

- 2-Axis Tilt Sensing
- Computer Peripherals
- Inertial Navigation
- Seismic Monitoring
- Vehicle Security Systems
- Battery Powered Motion Sensing

#### GENERAL DESCRIPTION

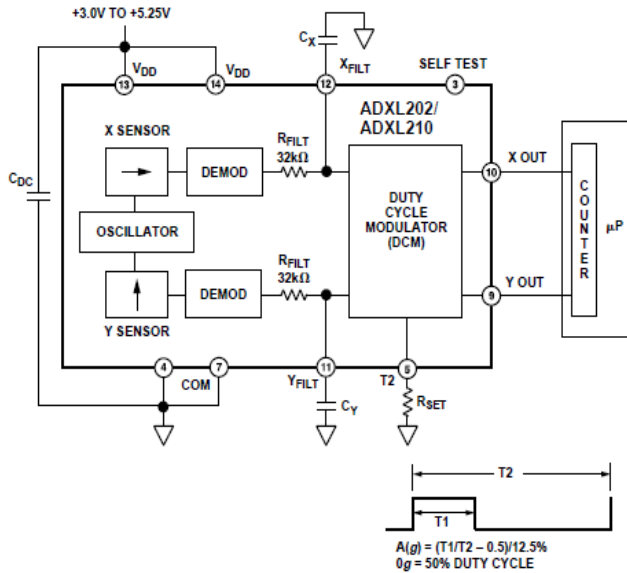
The ADXL202/ADXL210 are low cost, low power, complete 2-axis accelerometers with a measurement range of either  $\pm 2 g/\pm 10 g$ . The ADXL202/ADXL210 can measure both dynamic acceleration (e.g., vibration) and static acceleration (e.g., gravity).

The outputs are digital signals whose duty cycles (ratio of pulse-width to period) are proportional to the acceleration in each of the 2 sensitive axes. These outputs may be measured directly with a microprocessor counter, requiring no A/D converter or glue logic. The output period is adjustable from 0.5 ms to 10 ms via a single resistor ( $R_{SET}$ ). If a voltage output is desired, a voltage output proportional to acceleration is available from the  $X_{FILT}$  and  $Y_{FILT}$  pins, or may be reconstructed by filtering the duty cycle outputs.

The bandwidth of the ADXL202/ADXL210 may be set from 0.01 Hz to 5 kHz via capacitors  $C_X$  and  $C_Y$ . The typical noise floor is  $500 \mu g/\sqrt{Hz}$  allowing signals below 5 mg to be resolved for bandwidths below 60 Hz.

The ADXL202/ADXL210 is available in a hermetic 14-lead Surface Mount CERPAK, specified over the 0°C to +70°C commercial or -40°C to +85°C industrial temperature range.

#### FUNCTIONAL BLOCK DIAGRAM



iMEMS is a registered trademark of Analog Devices, Inc.

#### REV. B

Information furnished by Analog Devices is believed to be accurate and reliable. However, no responsibility is assumed by Analog Devices for its use, nor for any infringements of patents or other rights of third parties which may result from its use. No license is granted by implication or otherwise under any patent or patent rights of Analog Devices.

One Technology Way, P.O. Box 9106, Norwood, MA 02062-9106, U.S.A.  
Tel: 781/329-4700      World Wide Web Site: <http://www.analog.com>  
Fax: 781/326-8703      © Analog Devices, Inc., 1999

## ADXL202/ADXL210—SPECIFICATIONS (T<sub>A</sub> = T<sub>MIN</sub> to T<sub>MAX</sub>, T<sub>A</sub> = +25°C for J Grade only, V<sub>DD</sub> = +5 V, R<sub>SET</sub> = 125 kΩ, Acceleration = 0 g, unless otherwise noted)

Parameter	Conditions	ADXL202/JQC/AQC			ADXL210/JQC/AQC			Units
		Min	Typ	Max	Min	Typ	Max	
SENSOR INPUT	Each Axis							
Measurement Range <sup>1</sup>		±1.5	±2		±8	±10		g
Nonlinearity	Best Fit Straight Line		0.2			0.2		% of FS
Alignment Error <sup>2</sup>			±1			±1		Degrees
Alignment Error	X Sensor to Y Sensor		±0.01			±0.01		Degrees
Transverse Sensitivity <sup>3</sup>			±2			±2		%
SENSITIVITY	Each Axis							
Duty Cycle per g	T <sub>1</sub> /T <sub>2</sub> @ +25°C	10	12.5	15	3.2	4.0	4.8	%/g
Sensitivity, Analog Output	At Pins X <sub>FILT</sub> , Y <sub>FILT</sub>		312			100		mV/g
Temperature Drift <sup>4</sup>	Δ from +25°C		±0.5			±0.5		% Rdg
ZERO g BIAS LEVEL	Each Axis							
0 g Duty Cycle	T <sub>1</sub> /T <sub>2</sub>	25	50	75	42	50	58	%
Initial Offset			±2			±2		g
0 g Duty Cycle vs. Supply			1.0	4.0		1.0	4.0	%/V
0 g Offset vs. Temperature <sup>4</sup>	Δ from +25°C		2.0			2.0		mg/°C
NOISE PERFORMANCE								
Noise Density <sup>5</sup>	@ +25°C		500	1000		500	1000	μg/√Hz
FREQUENCY RESPONSE								
3 dB Bandwidth	Duty Cycle Output		500			500		Hz
3 dB Bandwidth	At Pins X <sub>FILT</sub> , Y <sub>FILT</sub>		5			5		kHz
Sensor Resonant Frequency			10			14		kHz
FILTER								
R <sub>FILT</sub> Tolerance	32 kΩ Nominal		±15			±15		%
Minimum Capacitance	At X <sub>FILT</sub> , Y <sub>FILT</sub>	1000			1000			pF
SELF TEST								
Duty Cycle Change	Self-Test “0” to “1”		10			10		%
DUTY CYCLE OUTPUT STAGE								
F <sub>SET</sub>	R <sub>SET</sub> = 125 kΩ		125 MΩ/R <sub>SET</sub>			125 MΩ/R <sub>SET</sub>		
F <sub>SET</sub> Tolerance	I = 25 μA	0.7	1.3		0.7	1.3		kHz
Output High Voltage		V <sub>S</sub> – 200 mV			V <sub>S</sub> – 200 mV			mV
Output Low Voltage	I = 25 μA		200			200		mV
T <sub>2</sub> Drift vs. Temperature		35			35			ppm/°C
Rise/Fall Time		200			200			ns
POWER SUPPLY								
Operating Voltage Range		3.0	5.25		2.7	5.25		V
Specified Performance		4.75	5.25		4.75	5.25		V
Quiescent Supply Current		0.6	1.0		0.6	1.0		mA
Turn-On Time <sup>6</sup>	To 99%		160 C <sub>FILT</sub> + 0.3		160 C <sub>FILT</sub> + 0.3			ms
TEMPERATURE RANGE								
Operating Range	JQC	0	+70		0	+70		°C
Specified Performance	AQC	-40	+85		-40	+85		°C

## NOTES

<sup>1</sup>For all combinations of offset and sensitivity variation.<sup>2</sup>Alignment error is specified as the angle between the true and indicated axis of sensitivity.<sup>3</sup>Transverse sensitivity is the algebraic sum of the alignment and the inherent sensitivity errors.<sup>4</sup>Specification refers to the maximum change in parameter from its initial at +25 °C to its worst case value at T<sub>MIN</sub> to T<sub>MAX</sub>.<sup>5</sup>Noise density (μg/√Hz) is the average noise at any frequency in the bandwidth of the part.<sup>6</sup>C<sub>FILT</sub> in μF. Addition of filter capacitor will increase turn on time. Please see the Application section on power cycling.

All min and max specifications are guaranteed. Typical specifications are not tested or guaranteed.

Specifications subject to change without notice.

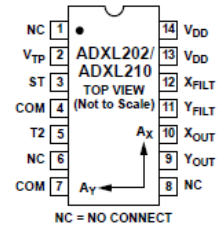
## ADXL202/ADXL210

### ABSOLUTE MAXIMUM RATINGS\*

Acceleration (Any Axis, Unpowered for 0.5 ms) . . . . .	1000 g
Acceleration (Any Axis, Powered for 0.5 ms) . . . . .	500 g
+V <sub>S</sub> . . . . .	-0.3 V to +7.0 V
Output Short Circuit Duration (Any Pin to Common) . . . . .	Indefinite
Operating Temperature . . . . .	-55°C to +125°C
Storage Temperature . . . . .	-65°C to +150°C
*Stresses above those listed under Absolute Maximum Ratings may cause permanent damage to the device. This is a stress rating only; the functional operation of the device at these or any other conditions above those indicated in the operational sections of this specification is not implied. Exposure to absolute maximum rating conditions for extended periods may affect device reliability.	

Drops onto hard surfaces can cause shocks of greater than 1000 g and exceed the absolute maximum rating of the device. Care should be exercised in handling to avoid damage.

### PIN CONFIGURATION



NC = NO CONNECT

Figure 1 shows the response of the ADXL202 to the Earth's gravitational field. The output values shown are nominal. They are presented to show the user what type of response to expect from each of the output pins due to changes in orientation with respect to the Earth. The ADXL210 reacts similarly with output changes appropriate to its scale.

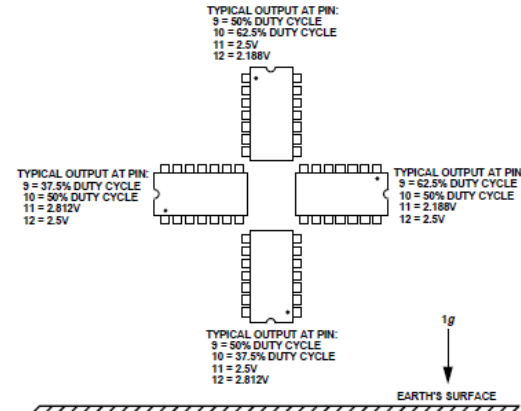


Figure 1. ADXL202/ADXL210 Nominal Response Due to Gravity

### PIN FUNCTION DESCRIPTIONS

Pin	Name	Description
1	NC	No Connect
2	V <sub>TP</sub>	Test Point, Do Not Connect
3	ST	Self Test
4	COM	Common
5	T2	Connect R <sub>SET</sub> to Set T2 Period
6	NC	No Connect
7	COM	Common
8	NC	No Connect
9	Y <sub>OUT</sub>	Y Axis Duty Cycle Output
10	X <sub>OUT</sub>	X Axis Duty Cycle Output
11	Y <sub>FILT</sub>	Connect Capacitor for Y Filter
12	X <sub>FILT</sub>	Connect Capacitor for X Filter
13	V <sub>DD</sub>	+3 V to +5.25 V, Connect to 14
14	V <sub>DD</sub>	+3 V to +5.25 V, Connect to 13

### PACKAGE CHARACTERISTICS

Package	θ <sub>JA</sub>	θ <sub>JC</sub>	Device Weight
14-Lead CERPAK	110°C/W	30°C/W	5 Grams

### ORDERING GUIDE

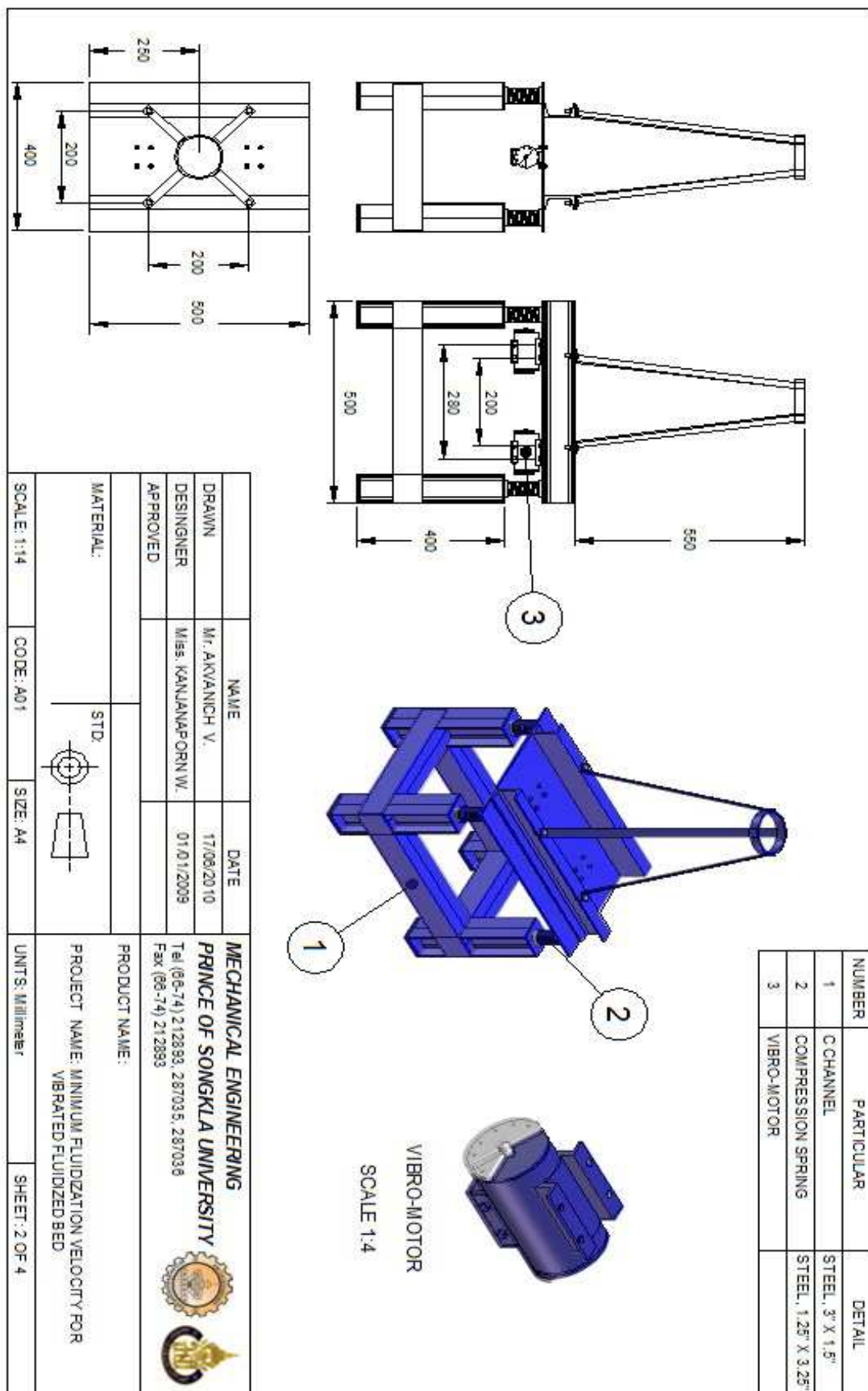
Model	g Range	Temperature Range	Package Description	Package Option
ADXL202JQC	±2	0°C to +70°C	14-Lead CERPAK	QC-14
ADXL202AQC	±2	-40°C to +85°C	14-Lead CERPAK	QC-14
ADXL210JQC	±10	0°C to +70°C	14-Lead CERPAK	QC-14
ADXL210AQC	±10	-40°C to +85°C	14-Lead CERPAK	QC-14

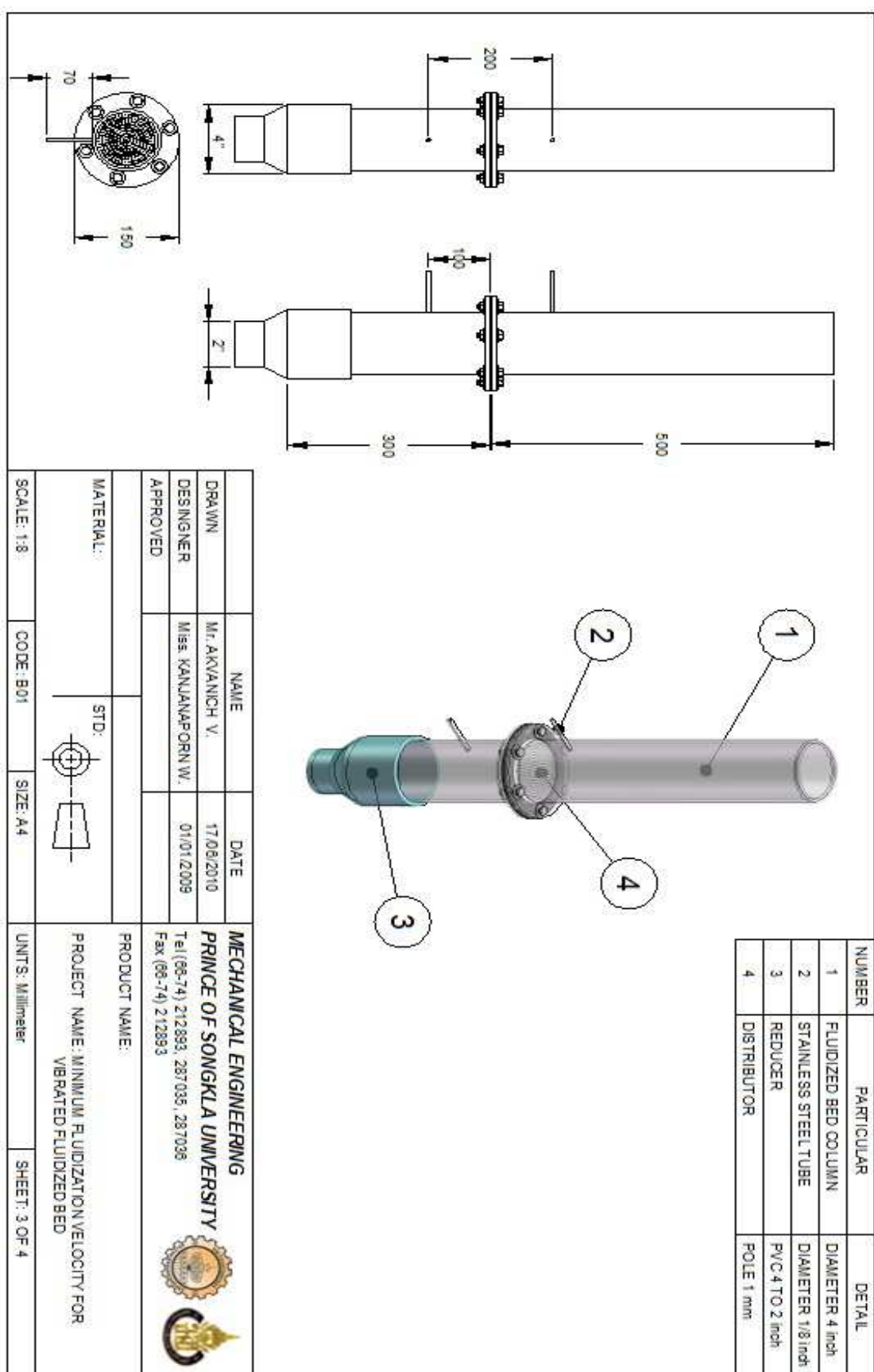
### CAUTION

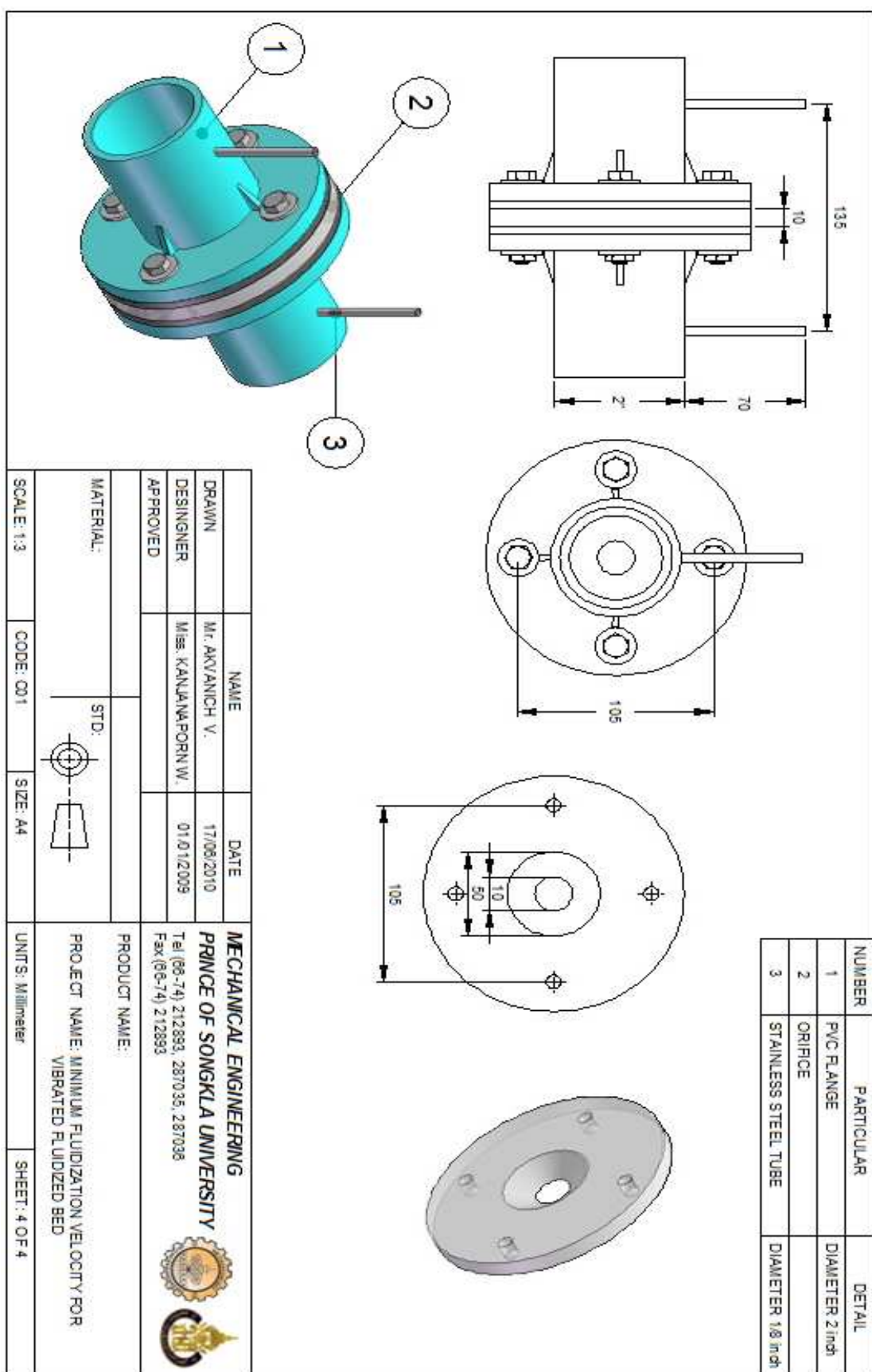
ESD (electrostatic discharge) sensitive device. Electrostatic charges as high as 4000 V readily accumulate on the human body and test equipment and can discharge without detection. Although the ADXL202/ADXL210 features proprietary ESD protection circuitry, permanent damage may occur on devices subjected to high energy electrostatic discharges. Therefore, proper ESD precautions are recommended to avoid performance degradation or loss of functionality.



ภาคผนวก ง  
แบบของฟรุตติไดซ์เบดแบบสั้นสะเทือน







NUMBER	PARTICULAR	DETAIL
1	VIBRATED FLUIDIZED BED	SEE CODE A01
2	FLUIDIZED BED COLUMN	SEE CODE B01
3	PVC TUBE	DIAMETER 2 inch
4	FLEXIBLE TUBE	DIAMETER 2 inch
5	ORIFICE	SEE CODE C01
6	GATE VALVE	
7	BLOWER	

DRAWN BY:	NAME: M. ARVANICH V.	DATE: 17/06/2010	<b>MECHANICAL ENGINEERING</b> <b>PRINCE OF SONGKLA UNIVERSITY</b> Tel: (08-74) 212893, 287035, 287036 Fax: (08-74) 212893
DESIGNER:	MISS. KANANA PORN W.	01/01/2009	
APPROVED:			
MATERIAL:	STD: 	PROJECT NAME: MINIMUM FLUIDIZATION VELOCITY FOR	
SCALE: 1:14	CODE: A4	SIZE: Millimeter	SHEET: 1 OF 4

ภาคผนวก จ

ผลงานตีพิมพ์เผยแพร่วิทยานิพนธ์

## การประชุมวิชาการทางวิศวกรรมศาสตร์มหาวิทยาลัยสงขลานครินทร์ ครั้งที่ 8

22-23 เมษายน 2553

## ผลของการสั่นสะเทือนเชิงกลต่อความเร็วต่ำสุดของการเกิดฟลูอิดไดเซชัน

### The effect of mechanical vibration on minimum fluidization velocity

วันวิสาห์ กาญจนภารณ์<sup>\*</sup> กิตตินันท์ มลิวรรณ<sup>2</sup> พฤทธิกร สมใจมีมรด<sup>3</sup><sup>1,2,3</sup>ภาควิชาวิศวกรรมเครื่องกล คณะวิศวกรรมศาสตร์ มหาวิทยาลัยสงขลานครินทร์ อ.หาดใหญ่ จ.สงขลา 90112

E-mail: wkanjanaporn@hotmail.com\*

Wanwisa Kanjanaporn<sup>1\*</sup> Kittinan Maliwan<sup>2</sup> Pruittikorn Smithmaitrie<sup>3</sup><sup>1,2,3</sup>Department of Mechanical Engineering, Faculty of Engineering, Prince of Songkla University, Hat Yai, Songkhla 90112

E-mail: wkanjanapom@hotmail.com \*

#### บทคัดย่อ

จุดมุ่งหมายของงานวิจัยนี้เป็นการศึกษาผลของการสั่นสะเทือนเชิงกลที่มีต่อความเร็วต่ำสุดของการเกิดฟลูอิดไดเซชัน ด้วยการที่กีழานี้ ความถี่ของการสั่นสะเทือน และความเข้มของการสั่นสะเทือน โดยทดลองฟลูอิดไดเซชันเบดแบบสั่นสะเทือนและพิจารณาการสั่นสะเทือนเชิงกลแบบอาศัยโนนิก้า แนวตั้งขนาดกับแรงโน้มถ่วงของโลก โดยใช้อุปกรณ์แก้วกุญแจขนาดเส้นผ่าศูนย์กลาง 2mm. ความหนาแน่นอนุภาค  $2570 \text{ kg/m}^3$  และ 3mm. ความหนาแน่อนุภาค  $2600 \text{ kg/m}^3$  ตามลำดับ สั่นสะเทือนที่ความถี่ 35, 40 และ 45 Hz จากการทดลองพบว่าการสั่นสะเทือนทำให้ลดลงช่องว่างภายในเบดมีค่าลดลง และเป็นผลให้ความเร็วต่ำสุดของการเกิดฟลูอิดไดเซชันมีค่าลดลงเมื่อเพิ่มความเข้มการสั่นสะเทือน

**คำหลัก** ความเร็วต่ำสุดของการเกิดฟลูอิดไดเซชัน ฟลูอิดไดเซชันแบบสั่นสะเทือน ตัวส่วนช่องว่าง ความเข้มของการสั่นสะเทือน

#### Abstract

The aim of this research was to study the effect of mechanical vibration on minimum fluidization velocity. The parameters studied were vibration frequency and vibration intensity. The experiments were carried out with the vibration in harmonic mode in the vertical direction parallel with the earth gravity. The particles used in the experiments were glass beads (Geldart's group B) with of 2mm diameter,  $2570 \text{ kg/m}^3$  density and 3mm diameter,  $2600 \text{ kg/m}^3$  density respectively. The vibrating frequency of 35, 40, 45 Hz were tested. It was found that the effect of vibration caused void fraction to decrease and minimum fluidization velocity decreased due to the increase in vibration intensity.

**Keywords:** Minimum fluidization velocity, Vibrated fluidized bed, Void fraction, Vibration intensity

#### 1. บทนำ

ฟลูอิดไดเซชันถูกนำมาประยุกต์ใช้ในอุตสาหกรรมต่างๆ ใช้ในกระบวนการเปลี่ยนแปลงทางกายภาพ และการเปลี่ยนแปลงทางเคมี เช่น อุตสาหกรรมอาหาร การแปรรูป ปิโตรเคมี การอบแห้ง และการคัดขนาดของอนุภาคที่เป็นผง ฟลูอิดไดเซชันสามารถช่วยให้อุบัติการผลิตภัณฑ์อย่างรวดเร็วและ省スペース สามารถทำงานได้ต่อเนื่อง และสูญเสียพลังงานน้อย อย่างไรก็ตามสำหรับอนุภาคที่มีขนาดเส้นผ่าศูนย์กลาง 30 ไมโครเมตร หรือขนาดที่เล็กมาก มีคุณสมบัติในการแบ่งกลุ่มอนุภาคของ Geldart [1] โดยทั่วไปแล้ว อนุภาคในกลุ่ม A และกลุ่ม C จะเกิดฟลูอิดไดเซชันได้ยาก ดังนั้น จึงมีการเสนอเทคโนโลยีเพื่อกำจัดอนุภาคที่เกิดขึ้น และเพิ่มประสิทธิภาพของการเกิดฟลูอิดไดเซชัน ด้วยการนำวิธีการสั่นสะเทือนเชิงกลมาใช้ร่วมกับระบบฟลูอิดไดเซชัน หรือเรียกว่า ฟลูอิดไดเซชันแบบสั่นสะเทือน

การสั่นสะเทือนเชิงสามารถช่วยปรับปรุงและเพิ่มประสิทธิภาพของในอนุภาคกลุ่ม A และกลุ่ม C ที่มีขนาดเล็ก และติดกันเป็นก้อน ให้เกิดฟลูอิดไดเซชันได้ดีขึ้น ซึ่งการสั่นสะเทือนจะช่วยลดแรงยึดเกาะระหว่างอนุภาค เพิ่มการสัมผัสนานะท่วง อาการและอนุภาคมากขึ้น

ปัจจุบันพบว่าการศึกษาและงานวิจัยเกี่ยวกับฟลูอิดไดเซชันแบบสั่นสะเทือนได้รับความสนใจเพิ่มมากขึ้น โดยเฉพาะการศึกษาในอนุภาคกลุ่ม C หรืออนุภาคผงปังที่มีความชื้นสูง จากการศึกษางานวิจัยที่ผ่านมาเกี่ยวกับผลของการสั่นสะเทือนที่มีต่อการเกิดฟลูอิดไดเซชันในอนุภาคขนาดเล็ก (กลุ่ม A และ C) Gupta และ Mujumdar [2] พบว่าความดันลดครึ่งเป็นครึ่งและความเร็วต่ำสุดลดลงเนื่องจากการสั่นสะเทือน และการสั่นสะเทือนทำให้เกิดฟลูอิดไดเซชันได้ดีขึ้น Kuiper และคณะ [3] ศึกษาและนำ

เกณฑ์พื้นที่เดียวกันแบบสัมมาแก้ปัญหาการจับตัวเป็นกลุ่มก้อนของอนุภาค ทดลองเพื่อเปลี่ยนแปลงพุทธิกรรมของแป้งมันฝรั่งซึ่งเป็นอนุภาคในกลุ่ม C ให้เป็นไปตามอนุภาคกลุ่ม A โดยการกวนบริเวณหัวเบดและการสั่นเบด พนวณการกวนที่หัวเบดเพียงอย่างเดียวไม่สามารถลดพื้นที่เดียวกันได้ แต่การนีของการสั่นเบดมีผลให้ออนุภาคของแป้งมันฝรั่งแตกตัวและเกิดพื้นที่เดียวกันแบบสั่นสะเทือนที่มีต่อการเกิดพื้นที่เดียวกันในอนุภาคกลุ่ม C ซึ่งที่กานาและยืนยันโดย Noda และคณะ [4] ผลการทดลองพบว่าอนุภาคไม่สามารถเกิดพื้นที่เดียวกันได้หากไม่มีการสั่นสะเทือนและความเร็วต่ำสุดของการเกิดพื้นที่เดียวกันได้เช่นจะลดลงเมื่อความเข้มการสั่นสะเทือนเพิ่มขึ้น ต่อมา Mawatari และคณะ [5,6] ทำการทดลองที่กานาผลของขนาดของอนุภาคที่มีต่อพื้นที่เดียวกันแบบสั่น พนวณาความเร็วต่ำสุดของการเกิดพื้นที่เดียวกันได้เช่นสำหรับอนุภาคในกลุ่ม A จะมีค่าคงที่นอกจากนี้ยังใช้สมการ Ergun [7] ที่กำหนดความเร็วต่ำสุดของการเกิดพื้นที่เดียวกันโดยเปรียบเทียบผลจากการคำนวณกับการทดลอง พนวณาสมการ Ergun สามารถใช้ที่กานาความเร็วต่ำสุดของการเกิดพื้นที่เดียวกันได้สำหรับอนุภาคกลุ่ม A แต่ค่าสัดส่วนของว่างของของไอล์บูนีเกิดพื้นที่เดียวกันยังคงได้จากการทดลอง Xu และ Zhn [8,9] ได้ที่กานาและทดลองขนาดการเบาะกุ้งกันของอนุภาคลดลงเมื่อความเข้มการสั่นสะเทือนเพิ่มขึ้นแต่จะเพิ่มขึ้นเพียงเล็กน้อยเมื่อความเข้มมีค่ามากกว่าค่าิกกุตุ นอกจากนี้ยังได้ที่กานาตัวแปรที่มีผลต่อพื้นที่เดียวกันของอนุภาคขนาดเล็กกว่าได้การสั่นสะเทือนเชิงกล และพนวณาผลการสั่นสะเทือนขึ้นอยู่กับคุณสมบัติของอนุภาค (กลุ่มอนุภาค การกระเจิงของขนาดและรูปร่าง) และที่พากของการสั่นสะเทือน ที่การสั่นสะเทือนในที่พากขนาดใหญ่แรงโน้มถ่วงของโลกจะมีผลต่อการเกิดพื้นที่เดียวกันมากที่สุด และจะน้อยที่สุดเมื่อที่พากของการสั่นสะเทือนตั้งฉากกับแรงโน้มถ่วงของโลก และ Diego และคณะ[10] ได้ทำการที่กานาและทดลองผลของการสั่นสะเทือนเชิงกลที่มีต่อภาระฟื้นตัวได้เช่นสำหรับอนุภาคผงแป้ง

จากการบททวนงานวิจัยที่ผ่านมาเกี่ยวกับพื้นที่เดียวกันแบบสั่นสะเทือนพบว่างานวิจัยส่วนใหญ่จะเน้นการที่กานาสำหรับอนุภาคที่มีขนาดเล็กมาก ซึ่งจัดอยู่ในกลุ่ม A และ C

ดังนั้นงานวิจัยนี้มีวัตถุประสงค์เพื่อที่กานาตัวแปรของการสั่นสะเทือน ได้แก่ ความเข้มของการสั่นสะเทือน และค่าความเข้มการสั่นสะเทือน (Vibration Intensity) ที่มีผลต่อสัดส่วนของว่างภายในเบด ความดันลอดคร่องเบด ความเร็วต่ำสุดที่ทำให้เกิดพื้นที่เดียวกัน โดยทำการทดลองด้วยอนุภาคแก้วกลุ่ม B และพิจารณาบนการสั่นสะเทือนในการนีที่เบดถูกสั่นด้วยการสั่นสะเทือนเชิงกลแบบอาโนมิก (Harmonic) ในแนวตั้งขนาดใหญ่โน้มถ่วงของโลก

## 2. ทฤษฎี

พื้นที่เดียวกันแบบสั่นสะเทือนจะมีลักษณะเปลี่ยนแปลงตามปัจจัยต่าง เช่น ขนาดของอนุภาค ความหนาแน่นของอนุภาค ความเร็วอากาศ แอมพลิจูด และความถี่ของการสั่นสะเทือน โดยจะ

มีผลต่อคุณลักษณะของพื้นที่เดียวกัน

### 2.1 ความเร็วต่ำสุดของการเกิดพื้นที่เดียวกัน

ความเร็วของไอล์บูนีที่ทำให้อนุภาคภายในเบดเริ่มขยับตัวหรือเริ่มจัดเรียงตัว ในขณะที่ความดันลอดคร่องเบดมีค่าสูงสุดและเริ่มคงที่ เรียกว่า ความเร็วต่ำสุดของการเกิดพื้นที่เดียวกัน (Minimum fluidization velocity) ซึ่งสามารถคำนวณหาค่าความดันลอดคร่องเบดจากสมการ (1) และค่าวนหาค่าความเร็วต่ำสุดของการเกิดพื้นที่เดียวกัน จากสมการของ Ergun

- ค่าความดันลอดคร่องเบด

$$\frac{\Delta p_{mf}}{L_{mf}} = \left(1 - \varepsilon_{mf}\right) (\rho_p - \rho_f) g \quad (1)$$

โดยที่  $\Delta p_{mf}$  คือความดันลอดคร่องเบดต่ำสุดของเกิดพื้นที่เดียวกัน  $L_{mf}$  คือความสูงเบดขณะเกิดพื้นที่เดียวกัน  $\varepsilon_{mf}$  คือสัดส่วนช่องว่างภายในเบดขณะเกิดพื้นที่เดียวกัน  $\rho_p$  คือความหนาแน่นของอนุภาคหรือเม็ดแก้ว  $\rho_f$  คือความหนาแน่นของอากาศ และ  $g$  คือความเร่งเนื้อจากแรงโน้มถ่วงโลก

- ความเร็วต่ำสุดในการเกิดพื้นที่เดียวกัน ( $u_{mf}$ )

$$\frac{\Delta p}{L_{mf}} = 150 \frac{(1 - \varepsilon_{mf})^2 \mu_f u_{mf}}{\varepsilon_{mf}^3 d_p^2} + 1.75 \frac{(1 - \varepsilon_{mf}) \rho_f u_{mf}^2}{\varepsilon_{mf}^3 d_p} \quad (2)$$

โดยที่  $u_{mf}$  คือความเร็วอากาศที่ต่ำสุดขณะเกิดพื้นที่เดียวกัน  $d_p$  คือเส้นผ่านศูนย์กลางของอนุภาค

- สัดส่วนช่องว่างภายในเบดขณะเกิดพื้นที่เดียวกัน

$$\varepsilon_{mf} = 1 - \left(1 - \varepsilon_0\right) \frac{L_0}{L_{mf}} \quad (3)$$

โดยที่  $\varepsilon_0$  คือสัดส่วนช่องว่างของอากาศในเบดนี  $L_0$  คือความสูงของเบดนี

### 2.2 ความเข้มการสั่นสะเทือน

ความเข้มการสั่นสะเทือน (Vibration Intensity) คือตัวแปรที่รับหน่วยที่อัตราส่วนความเร่งในการสั่นสะเทือนกับความเร่งเนื้อจากแรงโน้มถ่วงของโลก สามารถคำนวณหาได้ดังนี้

$$\Gamma = \frac{A(2\pi)^2}{g} \quad (4)$$

โดยที่  $\Gamma$  คือความเข้มการสั่นสะเทือน  $A$  คือแอมพลิจูดของการสั่น  $f$  คือความถี่ของการสั่นสะเทือน

ความเข้มการสั่นสะเทือนสามารถใช้จำแนกชนิดของพื้นที่เดียวกันแบบสั่นสะเทือนได้ดังนี้

1. Vibrated state เกิดขึ้นเมื่อความเข้มการสั่นสะเทือนมีค่า น้อยกว่า 1 การเคลื่อนที่ของอนุภาคภายในเบดจะมีลักษณะคล้ายกับพื้นที่เดียวกันแบบธรรมชาติ การสั่นสะเทือนจะช่วยให้มีเสถียรภาพ และเกิดพื้นที่เดียวกันได้สมบูรณ์มากขึ้น การเคลื่อนที่ของอนุภาคจะขึ้นกับความเร็วอากาศเพียงอย่างเดียว
2. Vibrofluidized bed เกิดขึ้นเมื่อความเข้มการสั่นสะเทือน มีค่าเท่ากับ 1 โดยที่ความเร็วอากาศและการสั่นสะเทือนมีอิทธิพล

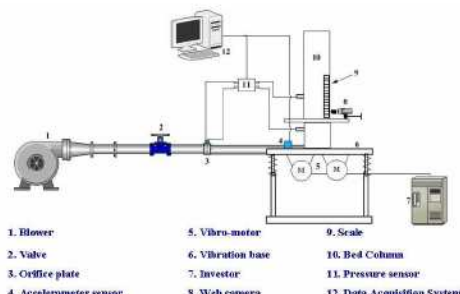
ต่อการเกิดฟลูอิดได้เช่นเท่าๆกัน (ขึ้นกับว่าปัจจัยตัวใดมีผลต่อการเคลื่อนที่มากกว่ากัน)

3. Vibrated fluidized layer เกิดขึ้นเมื่อความเข้มการสั่นสะเทือนมีค่ามากกว่า 1 การเคลื่อนที่ของอนุภาคภายในเบดจะขึ้นกับแรงสั่นสะเทือนเป็นหลัก อาการที่ผ่านเบดเป็นเพียงตัวกลางในการแลกเปลี่ยนความร้อน การถ่ายเทห่วงมวลเท่านั้น และแรงนี้ของจากการสั่นสะเทือนจะทำให้เกิดความดันลดครึ่อมเบด

โดยผลของการสั่นสะเทือนจะลดลงเมื่อความสูงเบดมีค่าเพิ่มขึ้น และเมื่อความเข้มการสั่นสะเทือน ( $\Gamma$ ) มีค่ามากกว่า 4 แล้ว การกระจายตัวของอาการภายในเบดอย่างสม่ำเสมอจะมีแนวโน้มลดลง มีผลทำให้ประสิทธิภาพการถ่ายเทห่วงมวลและมวลมีค่าลดลง

### 3. อุปกรณ์และวิธีการทดลอง

อุปกรณ์สำหรับทดลองฟลูอิดได้ช์เบดแบบสั่นสะเทือนแสดงในรูปที่ 1 ซึ่งประกอบด้วยเครื่องเป่าลม วาล์วสำหรับปรับความเร็วลม เช่นเซอร์วัตความดัน (MPXV5004DP 3.92 kPa (0-400 mm H<sub>2</sub>O) 1-4.9 volt output: Free Scale) เช่นเซอร์วัตความเร็ว (ADXL 210±10g: Analog Device) มอเตอร์เซนเซอร์ (OMB ขนาด 0.75 แรงม้า 50 Hz) ชุดควบคุมความเร็วมอเตอร์ (60 Hz) ห้องทดลองอะคูสติกทรงกระบอก (ขนาดเส้นผ่าศูนย์กลาง 0.1 เมตร สูง 1 เมตร) สเกลวัดไม้บรรทัดและกล้องดิจิตอลสำหรับตัดความสูงเบด และบันทึกภาพการเปลี่ยนแปลงของเบดขนาดที่ทำการทดลอง และใช้ USB DAQ 6008 National Instrument และโปรแกรม LabView SinalExpress 3.0 สำหรับการเก็บและบันทึกข้อมูลจากการทดลอง



รูปที่ 1 ชุดอุปกรณ์สำหรับทดลองระบบฟลูอิดได้ช์เบด

วัสดุใช้สำหรับทดลองประกอบด้วยอนุภาคแก้ว B คือ อนุภาคแก้ว (Glass beads) จำนวน 1 kg ทรงกลมขนาดเส้นผ่าศูนย์กลาง 2 mm. ความหนาแน่น 2570 kg/m<sup>3</sup> และ 3 mm. ความหนาแน่น 2600 kg/m<sup>3</sup>

### 3.1 วิธีการทดลอง

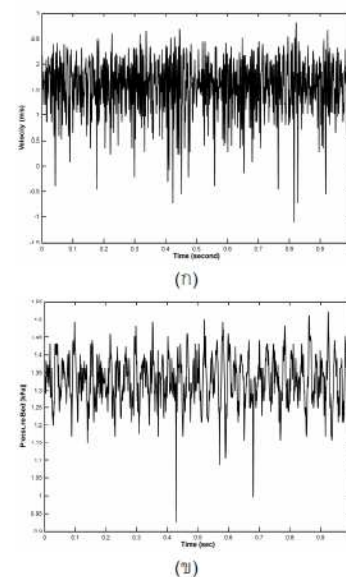
การทดลองฟลูอิดได้ช์เบดแบบสั่นสะเทือน เริ่มจากการเปิดเครื่องเป่าลม (Blower) ปรับอัตราการไหลของอากาศด้วยวาล์ว วัดค่าความเร็วอากาศโดยการใช้เซนเซอร์วัดความดันต่อเข้ากับแผ่นออริพิส นำผลที่ได้มาคำนวณหาค่าความเร็วอากาศด้วยสมการที่ได้จากการปรับเทียบระหว่างอุปกรณ์วัดความเร็วและเซนเซอร์วัดความดัน ส่วนค่าความดันลดครึ่อมเบดค่านวนได้จากการปรับเทียบระหว่างค่าแรงดันไฟฟ้าและความดันอากาศ ซึ่งเป็นสมการปรับเทียบของเซนเซอร์วัดความดัน (MPXV5004DP 3.92 kPa: Free Scale) วัดค่าความสูงของเบดด้วยสเกลไม้บรรทัดซึ่งติดตั้งบริเวณฟลูอิดได้ช์เบดคลอสเม้น และบันทึกการเปลี่ยนแปลงความสูงของเบดโดยการใช้กล้องดิจิตอล

สำหรับระบบของการสั่นสะเทือนนั้น กำหนดให้การสั่นสะเทือนมีความถี่อยู่ในช่วง 35-40 และ 45 Hz โดยสามารถปรับและควบคุมความถี่ของมอเตอร์ขึ้นต่ำกว่าอินเวอร์เตอร์

### 4. ผลการทดลอง และวิเคราะห์

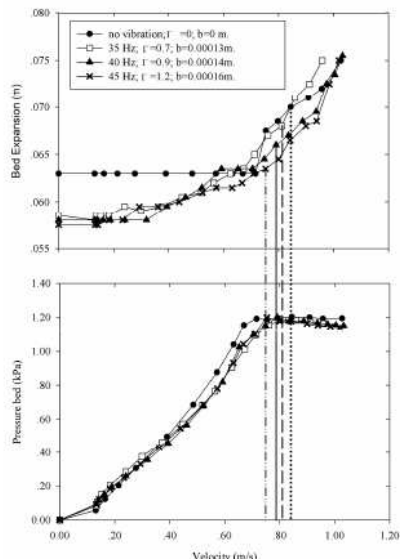
#### 4.1 ความเร็วต่ำสุดของการเกิดฟลูอิดได้ช์เบด

ผลของค่าความเร็วและค่าความดันลดครึ่อมเบด ของการทดลองฟลูอิดได้ช์เบดแบบสั่นสะเทือนจากการทดลองนี้ เป็นการเก็บค่าความเร็วและความดันที่ยกเว้นเวลา ดังแสดงในรูปที่ 2 (ก) และ 2 (ข) ตามลำดับ (กราฟเรื่องเวลา 3 มม. ความถี่ของการสั่นสะเทือน 35 Hz) ซึ่งน่าค่าที่ได้จากการทดลองมาเฉลี่ยในแต่ละช่วงของความเร็วอากาศ



รูปที่ 2 (ก) ความเร็วอากาศ และ (ข) ความดันลดครึ่อมเบด (อนุภาคขนาด  $d_p$  3 มม.)

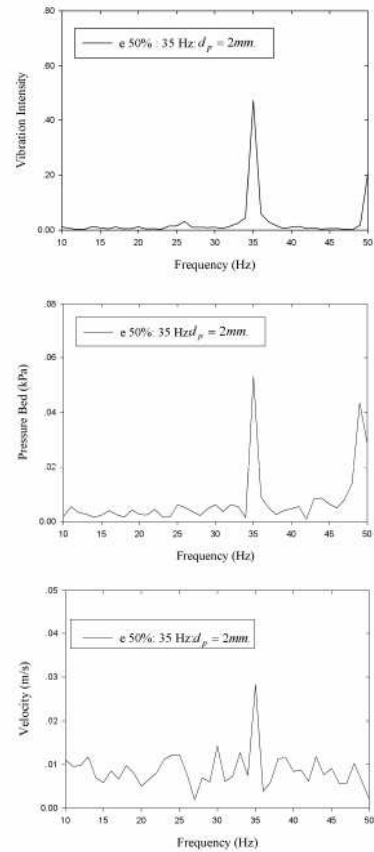
จากราฟในรูปที่ 3 แสดงความสัมพันธ์ระหว่างความเร็วอากาศและความดันลดครึ่งเบต การขยายตัวของฟลูอิดไดซ์เบต (ความสูงเบต) และความเร็วอากาศ(กรณีอนุภาคขนาดเส้นผ่าศูนย์กลาง 3 มม.) ทดลองในช่วงความถี่การสั่นสะเทือน 35 Hz 40 Hz และ 45 Hz ซึ่งจากการทดลองพบว่าความดันลดครึ่งเบตมีค่าเพิ่มขึ้นเมื่อความเร็วอากาศเพิ่มขึ้นในช่วงแรก และความดันลดครึ่งเบตเริ่มคงที่เมื่อปรับความเร็วอากาศเพิ่มขึ้น (อนุภาคภายในเบตเริ่มเข้าและตัดเรียงตัว) ซึ่งความเร็วอากาศจุดนี้เรียกว่าความเร็วต่ำสุดของการกัดฟลูอิดไดซ์เบต แม้เมื่อปรับยกเทียนผลการทดลองระหว่างฟลูอิดไดซ์เบตแบบบาร์มดาและฟลูอิดไดซ์เบตแบบสั่นสะเทือน พบว่าค่าความเร็วต่ำสุดของการกัดฟลูอิดไดซ์เบตที่ซึ่งความถี่ของการสั่นสะเทือน 45 Hz และความความเม้มการสั่นสะเทือนที่ 1.2 เท่าของแรงโน้มถ่วงโลภุจามีค่าความเร็วอากาศต่ำสุดที่ 0.75 m/s และความสูงเบต 0.0635 เมตร จะเกิดฟลูอิดไดซ์เบตได้เร็ว และกรณีทดลองด้วยอนุภาคขนาด 2 มม. ผลการทดลองมีลักษณะเช่นเดียวกับอนุภาคขนาด 3 มม. ซึ่งผลการทดลองนี้สอดคล้องกับงานวิจัยที่ผ่านมาของ Mawatari และคณะ [5] Tatemoto และคณะ [6] พบว่าเมื่อค่าความถี่และค่าความชั้มการสั่นสะเทือนมีค่าเพิ่มขึ้น ค่าความเร็วอากาศของการกัดฟลูอิดไดซ์เบตจะมีค่าลดลง (ศึกษาด้วยอนุภาคขนาดเล็กกลุ่ม A และ C)



รูปที่ 3 ผลของความถี่ของการสั่นสะเทือนที่มีต่อความเร็วอากาศ และค่าความดันลดครึ่งเบต (อนุภาคขนาด  $d_p$  3 มม.)

และจากการทดลองฟลูอิดไดซ์เบตแบบสั่นสะเทือนเพื่อศึกษาอิทธิพลของการสั่นสะเทือนที่มีต่อความเร็วอากาศ และความดันลดครึ่งเบต พบว่าความถี่ของการสั่นสะเทือนที่ให้กับระบบฟลูอิดไดซ์เบตมีจะค่าเดียวกันกับค่าความถี่ของการสั่นสะเทือน

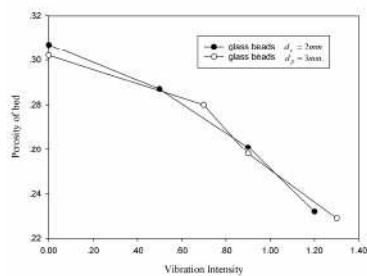
ค่าความถี่ของความดันลดครึ่งเบต ซึ่งแสดงในรูปที่ 4 เป็นการวิเคราะห์การสั่นสะเทือนของฟลูอิดไดซ์เบตที่ความถี่ 35 Hz ของอนุภาคขนาด 2 มม.



รูปที่ 4 การวิเคราะห์ความถี่ของการสั่นสะเทือน (อนุภาคขนาด  $d_p$  2 มม.)

#### 4.2 สัดส่วนช่องว่างภายในเบต

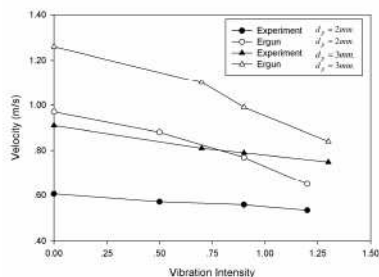
สัดส่วนช่องว่างภายในเบตได้จากความสัมพันธ์ระหว่างความเร็วและความสูงเบต และน้ำผลความสูงของเบตมาคำนวณด้วยสมการที่ (3) แสดงดังกราฟรูปที่ 5 ซึ่งเป็นความสัมพันธ์ระหว่างค่าความชั้มการสั่นสะเทือนกับสัดส่วนช่องว่างภายในเบตของอนุภาคขนาดเส้นผ่าศูนย์กลาง 2 มม. และ 3 มม. ขณะกัดฟลูอิดไดซ์เบต โดยจากการทดลองพบว่าเมื่อความชั้มการสั่นสะเทือนมีค่าเพิ่มขึ้น อนุภาคภายในเบตจะรับแรงสั่นสะเทือนมากขึ้นทำให้อัดตัวกันแน่น จึงทำให้สัดส่วนช่องว่างภายในเบตลดลง และน้อยกว่าเมื่อค่าการนีที่ไม่มีการสั่นสะเทือน และความสอดคล้องกับงานวิจัยที่ผ่านมาซึ่งศึกษาโดย Mawatari และคณะ [6]



รูปที่ 5 ผลความเข้มของการสั่นสะเทือนต่อค่าสัดส่วนของว่างภายในเบด

#### 4.3 เปรียบเทียบผลการทดลองและการคำนวณ

การเปรียบเทียบผลการทดลองความเร็วต่ำสุดของการเกิดฟลูอิดได้เชชัน สามารถหาได้จากค่านวนด้วยสมการที่ (3) และ (4)



รูปที่ 6 ความเข้มของการสั่นสะเทือนต่อค่าความเร็วต่ำสุดในการเกิดฟลูอิดได้เชชัน

จากการในรูปที่ 6 และการเปรียบเทียบที่ยกค่าความเร็วต่ำสุดของการเกิดฟลูอิดได้เชชันระหว่างการทดลองและการคำนวนความเร็วจากทฤษฎีมสมการข้างต้น สำหรับกรณีที่ไม่มีการสั่นเบด ค่าความเร็วต่ำสุดของการเกิดฟลูอิดได้เชชันจากผลการทดลองมีค่าใกล้เคียงกับผลจากการคำนวนด้วยสมการ สำหรับอนุภาค 2 mm. ผลการคำนวนค่าความเร็วจากทฤษฎีค่าเท่ากับ 0.91 m/s และจากผลการทดลองมีค่าความเร็วจากทฤษฎีคือ 0.61 m/s และในกรณีท่อนุภาคมีขนาด 3 mm. ค่าที่ได้จากการคำนวนคือ 0.97 m/s และค่าจากการทดลองคือ 1.21 m/s สำหรับกรณีที่มีการสั่นเบดผลจากการคำนวนมีความแตกต่างกับการทดลองมากเนื่องจากอิทธิพลของการสั่นสะเทือนที่มีต่อสภาวะการเกิดฟลูอิดได้เชชันภายใต้ฟลูอิดได้เบด แต่ลักษณะการลดลงของค่าความเร็วจากการฟจะมีแนวโน้มเหมือนกัน

### 5. สรุป

จากการทดลองที่ขยายผลของตัวแปรการสั่นสะเทือนของฟลูอิดได้เบดแบบสั่นสะเทือนของอนุภาคขนาดกลุ่ม B แสดงให้เห็น

ว่าการสั่นสะเทือนสามารถช่วยให้เกิดฟลูอิดได้เชชันได้เร็วขึ้นเมื่อเปรียบเทียบกับกรณีที่ไม่มีการสั่นสะเทือนของฟลูอิดได้เบด และนอกจากนี้การสั่นสะเทือนของฟลูอิดได้เชชันมีผลทำให้ค่าความเร็วสามารถการเกิดฟลูอิดได้เชชันมีค่าลดลง เมื่อค่าความเข้มการสั่นสะเทือนและความถี่ของการสั่นสะเทือนมีค่าเพิ่มขึ้น

#### เอกสารอ้างอิง

- [1] Geldart, D. 1973. Type of gas fluidization. Powder Technology, 7: 285-292.
- [2] Gupta, R. and Mujumdar, A.S. 1980. Aerodynamic of a vibrated fluid bed. The Canadian Journal of Chemical Engineering, 58: 332.
- [3] Kuiper, N.J.M., Stadhuis, E.J., Beenackers. 1996. Fluidization of potato starch in a stirred vibrating fluidized bed. Chemical Engineering Science, 51: 2727-2732.
- [4] Noda, K., Mawatari, Y., Uchida S. 1998. Flow patterns of fine particles in a vibrated fluidized bed under atmospheric or reduced pressure. Powder Technology, 99: 11-14.
- [5] Mawatari, Y., Koide, T., Tatemoto, Y., Uchida, S., Noda, K. 2002. Effect of particle diameter on fluidization under vibration. Powder Technology, 123: 69-72.
- [6] Mawatari, Y., Tatemoto, Y., Noda, K. 2003. Prediction of minimum fluidization velocity for vibrated fluidized bed. Powder Technology, 131: 66-70.
- [7] Ergun, S. 1952. Fluid flow through packed bed columns. Chemical Engineering Progress, 48: 89-94.
- [8] Xu, C., Zhu, J. 2005. Experimental and theoretical study on the agglomeration arising from fluidization of cohesive particles-effects of mechanical vibration. Chemical Engineering Science, 60: 6529-6541.
- [9] Xu, C., Zhu, J. 2006. Parametric of fine particle fluidization under mechanical vibration. Powder Technology, 161: 135-144.
- [10] Barletta, D., Donsi, G., Ferrari, G., Poletto, M., Russo, P. 2008, 86: 359-369.

## ประวัติผู้เขียน

ชื่อ สกุล	นางสาววันวิสาข์ กาญจนากรณ์	
รหัสประจำตัวนักศึกษา	4812121	
<b>วุฒิการศึกษา</b>		
วุฒิ	ชื่อสถาบัน	ปีที่สำเร็จการศึกษา
วิศวกรรมศาสตรบัณฑิต (วิศวกรรมเครื่องกล)	มหาวิทยาลัยสงขลานครินทร์	2548

### การตีพิมพ์เผยแพร่ผลงาน

วันวิสาข์ กาญจนากรณ์, กิตตินันท์ มลิวรรณ และ พฤทธิกร สมิต ไมตรี “ผลของการสั่นสะเทือนเชิงกลต่อความเร็วต่ำสุดของการเกิดฟลูอิดไดเซชัน” การประชุมวิชาการทางวิศวกรรมศาสตร์มหาวิทยาลัยสงขลานครินทร์ ครั้งที่ 8 มหาวิทยาลัยสงขลานครินทร์ 22-23 เมษายน หน้า 769-773.